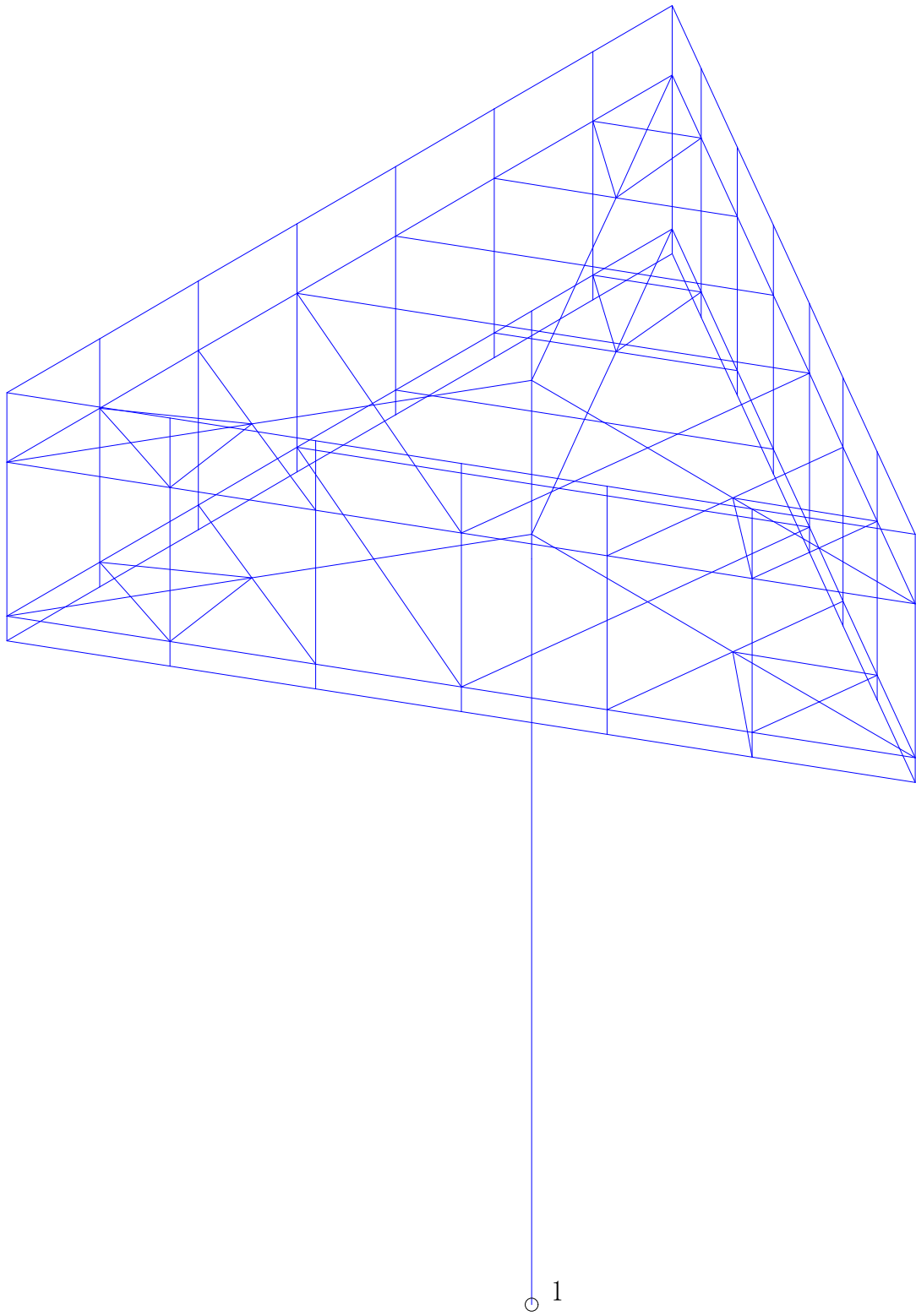
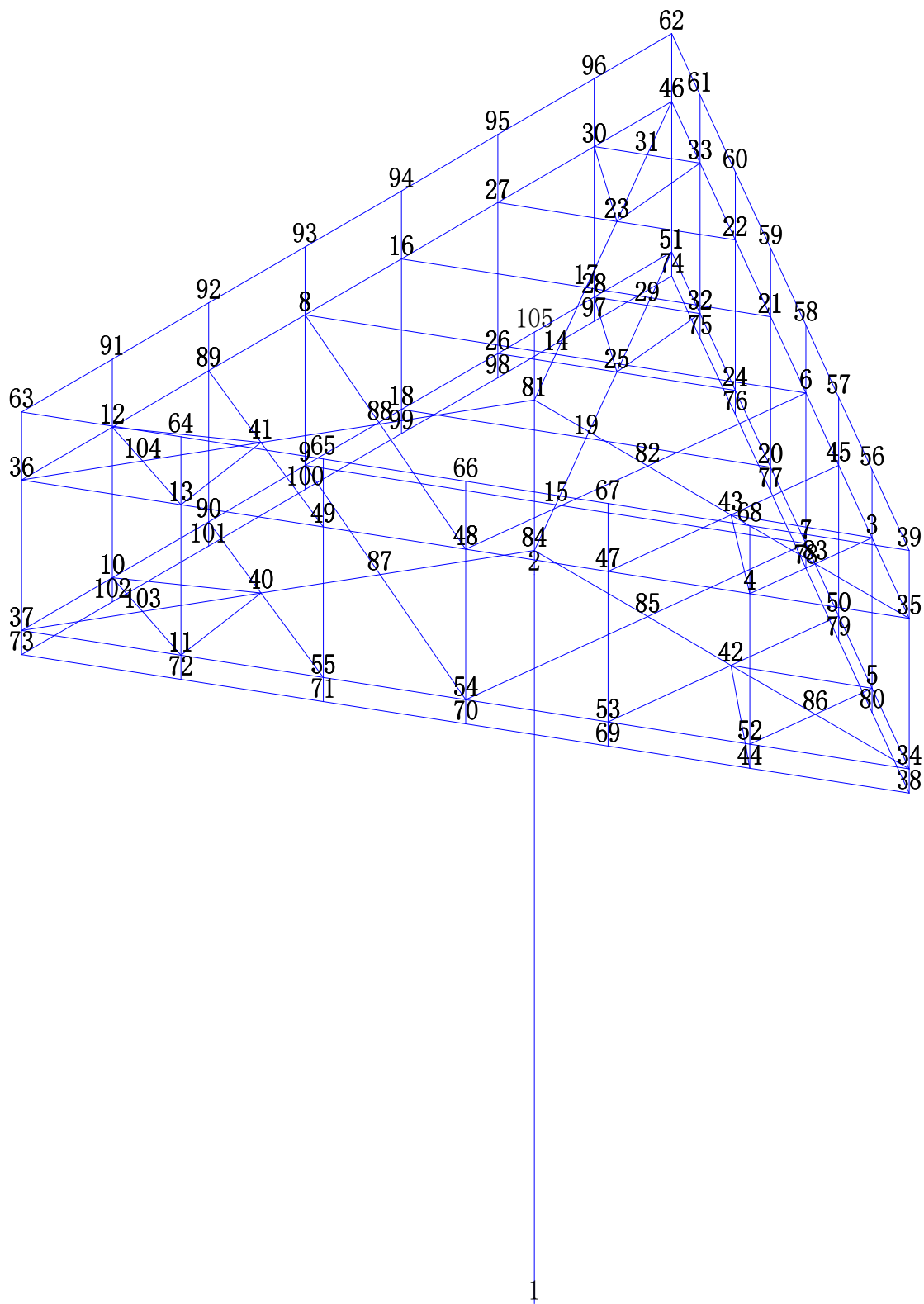


工 程 名：
设 计 单 位：
计 算 人：
计 算 时 间：
工 程 负 责 人：
检 查：
审 核：

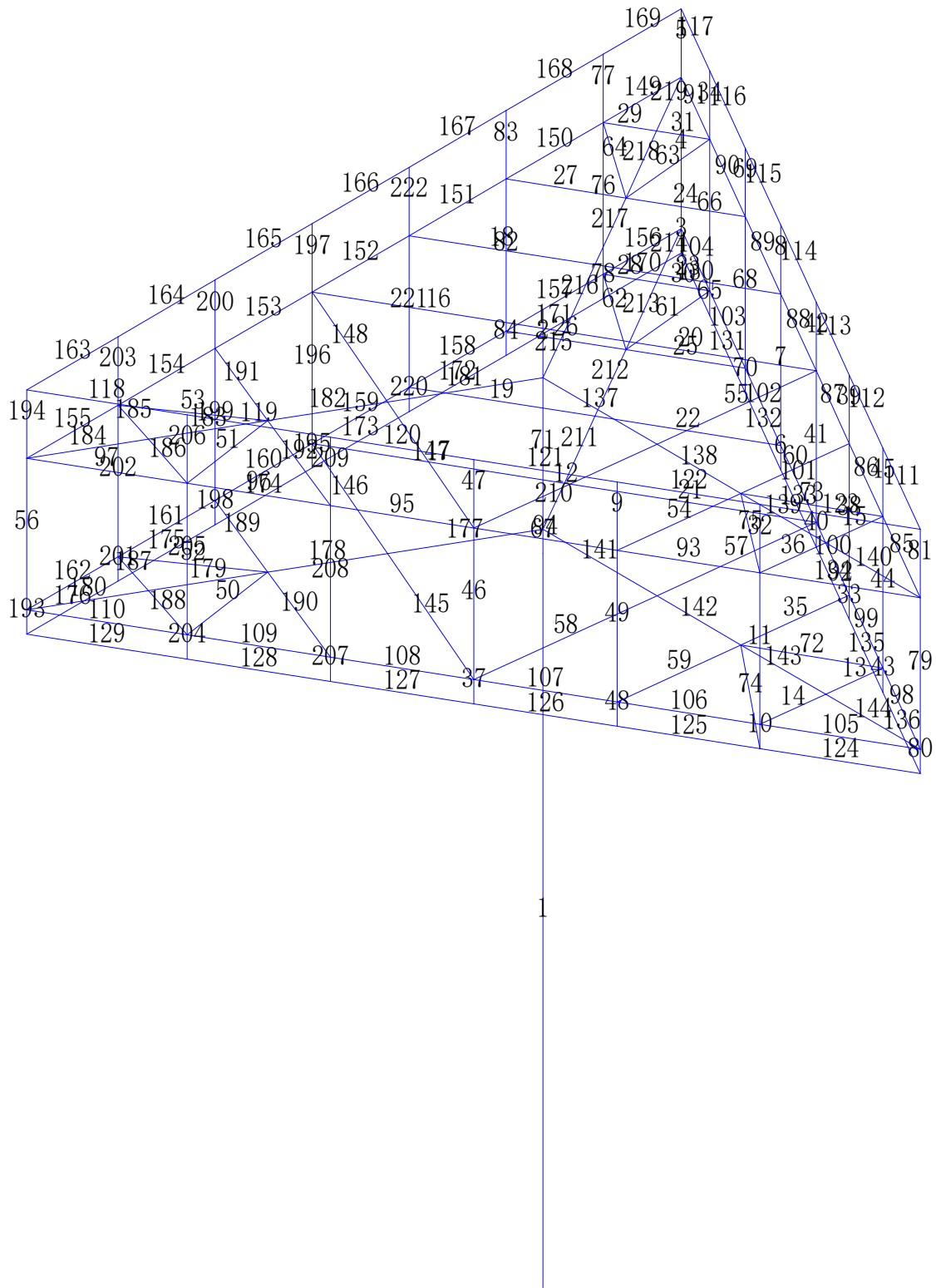
一、计算简图



计算简图 (圆表示支座, 数字为节点号)



节点编号图



单元编号图

二、几何信息

各节点信息如下表:

节点号	x坐标 (m)	y坐标 (m)	z坐标 (m)	x向约束	y向约束	z向约束	绕x约束	绕y约束	绕z约束
1	0.006	0.000	-0.004	i	i	i	i	i	i
2	0.006	0.000	14.996						
3	6.894	1.220	18.596						
4	6.582	-1.400	18.596						
5	6.894	1.220	15.496						
6	3.125	3.396	18.596						
7	3.125	3.396	15.496						
8	-4.494	-1.003	18.596						
9	-4.494	-1.003	15.496						
10	-4.494	-5.621	15.496						
11	-2.069	-6.395	15.496						
12	-4.494	-5.621	18.596						
13	-2.069	-6.395	18.596						
14	-0.685	1.197	18.596						
15	-0.685	1.197	15.496						
16	-4.494	1.307	18.596						
17	-1.685	2.929	18.596						
18	-4.494	1.307	15.496						
19	-1.685	2.929	15.496						
20	1.125	4.550	15.496						
21	1.125	4.550	18.596						
22	-0.875	5.705	18.596						
23	-2.685	4.661	18.596						
24	-0.875	5.705	15.496						
25	-2.685	4.661	15.496						
26	-4.494	3.616	15.496						
27	-4.494	3.616	18.596						
28	-4.494	5.926	15.496						
29	-3.685	6.393	15.496						
30	-4.494	5.926	18.596						
31	-3.685	6.393	18.596						
32	-2.875	6.860	15.496						

33	-2.875	6.860	18.596						
34	9.006	0.000	15.496						
35	9.006	0.000	18.596						
36	-4.494	-7.794	18.596						
37	-4.494	-7.794	15.496						
38	9.006	0.000	14.996						
39	9.006	-0.000	19.996						
40	-2.391	-4.153	15.496						
41	-2.391	-4.153	18.596						
42	4.734	0.000	15.496						
43	4.734	0.000	18.596						
44	6.582	-1.400	14.996						
45	5.009	2.308	18.596						
46	-4.494	7.794	18.596						
47	4.419	-2.648	18.596						
48	2.256	-3.897	18.596						
49	0.093	-5.146	18.596						
50	5.009	2.308	15.496						
51	-4.494	7.794	15.496						
52	6.582	-1.400	15.496						
53	4.419	-2.648	15.496						
54	2.256	-3.897	15.496						
55	0.093	-5.146	15.496						
56	6.894	1.220	19.996						
57	5.009	2.308	19.996						
58	3.125	3.396	19.996						
59	1.125	4.550	19.996						
60	-0.875	5.705	19.996						
61	-2.875	6.860	19.996						
62	-4.494	7.794	19.996						
63	-4.494	-7.794	19.996						
64	-2.069	-6.395	19.996						
65	0.093	-5.146	19.996						
66	2.256	-3.897	19.996						
67	4.419	-2.648	19.996						
68	6.582	-1.400	19.996						
69	4.419	-2.648	14.996						
70	2.256	-3.897	14.996						
71	0.093	-5.146	14.996						

72	-2.069	-6.395	14.996						
73	-4.494	-7.794	14.996						
74	-4.494	7.794	14.996						
75	-2.875	6.860	14.996						
76	-0.875	5.705	14.996						
77	1.125	4.550	14.996						
78	3.125	3.396	14.996						
79	5.009	2.308	14.996						
80	6.894	1.220	14.996						
81	0.006	0.000	18.596						
82	2.720	0.000	18.596						
83	6.748	0.000	18.596						
84	0.006	0.000	15.496						
85	2.720	0.000	15.496						
86	6.748	0.000	15.496						
87	-1.351	-2.350	15.496						
88	-1.351	-2.350	18.596						
89	-4.494	-3.312	18.596						
90	-4.494	-3.312	15.496						
91	-4.494	-5.621	19.996						
92	-4.494	-3.312	19.996						
93	-4.494	-1.003	19.996						
94	-4.494	1.307	19.996						
95	-4.494	3.616	19.996						
96	-4.494	5.926	19.996						
97	-4.494	5.926	14.996						
98	-4.494	3.616	14.996						
99	-4.494	1.307	14.996						
100	-4.494	-1.003	14.996						
101	-4.494	-3.312	14.996						
102	-4.494	-5.621	14.996						
103	-3.434	-5.959	15.496						
104	-3.434	-5.959	18.596						
105	0.006	0.000	19.996						

各单元信息如下表:

单元号	截面名称	长度(m)	面积(mm ²)	绕2轴惯性矩	绕3轴惯性矩	绕2轴计	绕3轴计	小节点	大节点
-----	------	-------	----------------------	--------	--------	------	------	-----	-----

				(x10 ⁴ mm ⁴)	(x10 ⁴ mm ⁴)	算长度系数	算长度系数	释放	释放
1	ÈÈ, Ö' Ü1420x16	15.0 00	7057 3	173915 2	173915 2	1.00 0	1.00 0	----	----
2	ÈÈ, Ö' Ü1020x12	1.40 0	3800 1	482708	482708	1.00 0	1.00 0	----	----
3	Çá² Û14	0.50 0	6089	15867	800	1.00 0	1.00 0	----	----
4	Çá² Û14	3.10 0	6089	15867	800	1.00 0	1.00 0	----	----
5	Çá² Û14	1.40 0	6089	15867	800	1.00 0	1.00 0	----	----
6	Çá² Û14	0.50 0	6089	15867	800	1.00 0	1.00 0	----	----
7	Çá² Û14	3.10 0	6089	15867	800	1.00 0	1.00 0	----	----
8	Çá² Û14	1.40 0	6089	15867	800	1.00 0	1.00 0	----	----
9	Çá² Û14	1.40 0	6089	15867	800	1.00 0	1.00 0	----	----
10	Çá² Û14	0.50 0	6089	15867	800	1.00 0	1.00 0	----	----
11	Çá² Û14	3.10 0	6089	15867	800	1.00 0	1.00 0	----	----
12	Á° 248x124x5x8	3.92 5	3144	254	3378	1.00 0	1.00 0	----	----
13	Á° 248x124x5x8	1.22 8	3144	254	3378	1.00 0	1.00 0	----	----
14	Á° 248x124x5x8	1.41 0	3144	254	3378	1.00 0	1.00 0	----	----
15	Á° 248x124x5x8	1.22 8	3144	254	3378	1.00 0	1.00 0	----	----
16	Á° 248x124x5x8	4.39 8	3144	254	3378	1.00 0	1.00 0	----	----
17	Á° 248x124x5x8	4.39 8	3144	254	3378	1.00 0	1.00 0	----	----
18	Á° 248x124x5x8	3.24 4	3144	254	3378	1.00 0	1.00 0	----	----
19	Á° 248x124x5x8	3.24	3144	254	3378	1.00	1.00	----	----

		4				0	0		
20	Á° 248x124x5x8	4.39 8	3144	254	3378	1.00 0	1.00 0	----	----
21	Á° 248x124x5x8	4.39 8	3144	254	3378	1.00 0	1.00 0	----	----
22	Á° 248x124x5x8	3.24 4	3144	254	3378	1.00 0	1.00 0	----	----
23	Á° 248x124x5x8	3.24 4	3144	254	3378	1.00 0	1.00 0	----	----
24	Á° 248x124x5x8	2.08 9	3144	254	3378	1.00 0	1.00 0	----	----
25	Á° 248x124x5x8	2.08 9	3144	254	3378	1.00 0	1.00 0	----	----
26	Á° 248x124x5x8	2.08 9	3144	254	3378	1.00 0	1.00 0	----	----
27	Á° 248x124x5x8	2.08 9	3144	254	3378	1.00 0	1.00 0	----	----
28	Á° 248x124x5x8	0.93 4	3144	254	3378	1.00 0	1.00 0	----	----
29	Á° 248x124x5x8	0.93 4	3144	254	3378	1.00 0	1.00 0	----	----
30	Á° 248x124x5x8	0.93 4	3144	254	3378	1.00 0	1.00 0	----	----
31	Á° 248x124x5x8	0.93 4	3144	254	3378	1.00 0	1.00 0	----	----
32	Çá² Û14	1.40 0	6089	15867	800	1.00 0	1.00 0	----	----
33	Çá² Û14	0.50 0	6089	15867	800	1.00 0	1.00 0	----	----
34	Çá² Û14	1.40 0	6089	15867	800	1.00 0	1.00 0	----	----
35	Á° 248x124x5x8	2.32 4	3144	254	3378	1.00 0	1.00 0	----	----
36	Á° 248x124x5x8	1.41 0	3144	254	3378	1.00 0	1.00 0	----	----
37	Çá² Û14	0.50 0	6089	15867	800	1.00 0	1.00 0	----	----
38	Çá² Û14	3.10 0	6089	15867	800	1.00 0	1.00 0	----	----
39	Çá² Û14	1.40	6089	15867	800	1.00	1.00	----	----

		0				0	0		
40	Çá² Û14	0.50 0	6089	15867	800	1.00 0	1.00 0	----	----
41	Çá² Û14	3.10 0	6089	15867	800	1.00 0	1.00 0	----	----
42	Çá² Û14	1.40 0	6089	15867	800	1.00 0	1.00 0	----	----
43	Çá² Û14	0.50 0	6089	15867	800	1.00 0	1.00 0	----	----
44	Çá² Û14	3.10 0	6089	15867	800	1.00 0	1.00 0	----	----
45	Çá² Û14	1.40 0	6089	15867	800	1.00 0	1.00 0	----	----
46	Çá² Û14	3.10 0	6089	15867	800	1.00 0	1.00 0	----	----
47	Çá² Û14	1.40 0	6089	15867	800	1.00 0	1.00 0	----	----
48	Çá² Û14	0.50 0	6089	15867	800	1.00 0	1.00 0	----	----
49	Çá² Û14	3.10 0	6089	15867	800	1.00 0	1.00 0	----	----
50	Çá² Û14	2.26 5	1546	521	55	1.00 0	1.00 0	----	----
51	Çá² Û14	2.26 5	1546	521	55	1.00 0	1.00 0	----	----
52	Çá² Û14	2.56 5	1546	521	55	1.00 0	1.00 0	----	----
53	Çá² Û14	2.56 5	1546	521	55	1.00 0	1.00 0	----	----
54	Á° 248x124x5x8	2.66 7	3144	254	3378	1.00 0	1.00 0	----	----
55	Á° 248x124x5x8	3.42 0	3144	254	3378	1.00 0	1.00 0	----	----
56	Çá² Û14	3.10 0	6089	15867	800	1.00 0	1.00 0	----	----
57	Á° 248x124x5x8	3.42 0	3144	254	3378	1.00 0	1.00 0	----	----
58	Á° 248x124x5x8	3.92 5	3144	254	3378	1.00 0	1.00 0	----	----
59	Á° 248x124x5x8	2.66	3144	254	3378	1.00	1.00	----	----

		7				0	0		
60	Á° 248x124x5x8	2.32 4	3144	254	3378	1.00 0	1.00 0	----	----
61	Çá² Û14	2.20 7	1546	521	55	1.00 0	1.00 0	----	----
62	Çá² Û14	2.20 7	1546	521	55	1.00 0	1.00 0	----	----
63	Çá² Û14	2.20 7	1546	521	55	1.00 0	1.00 0	----	----
64	Çá² Û14	2.20 7	1546	521	55	1.00 0	1.00 0	----	----
65	Çá² Û14	0.50 0	6089	15867	800	1.00 0	1.00 0	----	----
66	Çá² Û14	3.10 0	6089	15867	800	1.00 0	1.00 0	----	----
67	ÈÈ, Ö¹ Û1020x12	0.50 0	3800 1	482708	482708	1.00 0	1.00 0	----	----
68	Çá² Û14	3.10 0	6089	15867	800	1.00 0	1.00 0	----	----
69	Çá² Û14	1.40 0	6089	15867	800	1.00 0	1.00 0	----	----
70	Çá² Û14	0.50 0	6089	15867	800	1.00 0	1.00 0	----	----
71	ÈÈ, Ö¹ Û1020x12	3.10 0	3800 1	482708	482708	1.00 0	1.00 0	----	----
72	Çá² Û14	2.48 0	1546	521	55	1.00 0	1.00 0	----	----
73	Çá² Û14	2.48 0	1546	521	55	1.00 0	1.00 0	----	----
74	Çá² Û14	2.37 1	6089	15867	800	1.00 0	1.00 0	----	----
75	Çá² Û14	2.31 8	1546	521	55	1.00 0	1.00 0	----	----
76	Çá² Û14	3.10 0	6089	15867	800	1.00 0	1.00 0	----	----
77	Çá² Û14	1.40 0	6089	15867	800	1.00 0	1.00 0	----	----
78	Çá² Û14	0.50 0	6089	15867	800	1.00 0	1.00 0	----	----
79	Çá² Û14	3.10	6089	15867	800	1.00	1.00	----	----

		0				0	0		
80	Çá² Û14	0.50 0	1546	521	55	1.00 0	1.00 0	----	----
81	Çá² Û14	1.40 0	1546	521	55	1.00 0	1.00 0	----	----
82	Çá² Û14	3.10 0	6089	15867	800	1.00 0	1.00 0	----	----
83	Çá² Û14	1.40 0	6089	15867	800	1.00 0	1.00 0	----	----
84	Çá² Û14	0.50 0	6089	15867	800	1.00 0	1.00 0	----	----
85	Çá² Û14	2.43 9	1546	521	55	1.00 0	1.00 0	----	----
86	Çá² Û14	2.17 6	1546	521	55	1.00 0	1.00 0	----	----
87	Çá² Û14	2.17 6	1546	521	55	1.00 0	1.00 0	----	----
88	Çá² Û14	2.30 9	1546	521	55	1.00 0	1.00 0	----	----
89	Çá² Û14	2.30 9	1546	521	55	1.00 0	1.00 0	----	----
90	Çá² Û14	2.30 9	1546	521	55	1.00 0	1.00 0	----	----
91	Çá² Û14	1.86 9	1546	521	55	1.00 0	1.00 0	----	----
92	Çá² Û14	2.79 9	1546	521	55	1.00 0	1.00 0	----	----
93	Çá² Û14	2.49 7	1546	521	55	1.00 0	1.00 0	----	----
94	Çá² Û14	2.49 7	1546	521	55	1.00 0	1.00 0	----	----
95	Çá² Û14	2.49 7	1546	521	55	1.00 0	1.00 0	----	----
96	Çá² Û14	2.49 7	1546	521	55	1.00 0	1.00 0	----	----
97	Çá² Û14	2.79 9	1546	521	55	1.00 0	1.00 0	----	----
98	Çá² Û14	2.43 9	1546	521	55	1.00 0	1.00 0	----	----
99	Çá² Û14	2.17	1546	521	55	1.00	1.00	----	----

		6				0	0		
100	Çá² Û14	2.17 6	1546	521	55	1.00 0	1.00 0	----	----
101	Çá² Û14	2.30 9	1546	521	55	1.00 0	1.00 0	----	----
102	Çá² Û14	2.30 9	1546	521	55	1.00 0	1.00 0	----	----
103	Çá² Û14	2.30 9	1546	521	55	1.00 0	1.00 0	----	----
104	Çá² Û14	1.86 9	1546	521	55	1.00 0	1.00 0	----	----
105	Çá² Û14	2.79 9	1546	521	55	1.00 0	1.00 0	----	----
106	Çá² Û14	2.49 7	1546	521	55	1.00 0	1.00 0	----	----
107	Çá² Û14	2.49 7	1546	521	55	1.00 0	1.00 0	----	----
108	Çá² Û14	2.49 7	1546	521	55	1.00 0	1.00 0	----	----
109	Çá² Û14	2.49 7	1546	521	55	1.00 0	1.00 0	----	----
110	Çá² Û14	2.79 9	1546	521	55	1.00 0	1.00 0	----	----
111	Çá² Û14	2.43 9	6089	15867	800	1.00 0	1.00 0	----	----
112	Çá² Û14	2.17 6	6089	15867	800	1.00 0	1.00 0	----	----
113	Çá² Û14	2.17 6	6089	15867	800	1.00 0	1.00 0	----	----
114	Çá² Û14	2.30 9	6089	15867	800	1.00 0	1.00 0	----	----
115	Çá² Û14	2.30 9	6089	15867	800	1.00 0	1.00 0	----	----
116	Çá² Û14	2.30 9	6089	15867	800	1.00 0	1.00 0	----	----
117	Çá² Û14	1.86 9	6089	15867	800	1.00 0	1.00 0	----	----
118	Çá² Û14	2.79 9	6089	15867	800	1.00 0	1.00 0	----	----
119	Çá² Û14	2.49	6089	15867	800	1.00	1.00	----	----

		7				0	0		
120	Çá² Û14	2.49 7	6089	15867	800	1.00 0	1.00 0	----	----
121	Çá² Û14	2.49 7	6089	15867	800	1.00 0	1.00 0	----	----
122	Çá² Û14	2.49 7	6089	15867	800	1.00 0	1.00 0	----	----
123	Çá² Û14	2.79 9	6089	15867	800	1.00 0	1.00 0	----	----
124	Çá² Û14	2.79 9	6089	15867	800	1.00 0	1.00 0	----	----
125	Çá² Û14	2.49 7	6089	15867	800	1.00 0	1.00 0	----	----
126	Çá² Û14	2.49 7	6089	15867	800	1.00 0	1.00 0	----	----
127	Çá² Û14	2.49 7	6089	15867	800	1.00 0	1.00 0	----	----
128	Çá² Û14	2.49 7	6089	15867	800	1.00 0	1.00 0	----	----
129	Çá² Û14	2.79 9	6089	15867	800	1.00 0	1.00 0	----	----
130	Çá² Û14	1.86 9	6089	15867	800	1.00 0	1.00 0	----	----
131	Çá² Û14	2.30 9	6089	15867	800	1.00 0	1.00 0	----	----
132	Çá² Û14	2.30 9	6089	15867	800	1.00 0	1.00 0	----	----
133	Çá² Û14	2.30 9	6089	15867	800	1.00 0	1.00 0	----	----
134	Çá² Û14	2.17 6	6089	15867	800	1.00 0	1.00 0	----	----
135	Çá² Û14	2.17 6	6089	15867	800	1.00 0	1.00 0	----	----
136	Çá² Û14	2.43 9	6089	15867	800	1.00 0	1.00 0	----	----
137	ÈÈ, Ö¹ Û530x10	2.71 4	4900 9	372957	372957	1.00 0	1.00 0	----	----
138	ÈÈ, Ö¹ Û530x10	2.01 4	4900 9	372957	372957	1.00 0	1.00 0	----	----
139	ÈÈ, Ö¹ Û530x10	2.01	4900	372957	372957	1.00	1.00	----	----

		4	9			0	0		
140	ÈÈ, Ö' Ü530x10	2.25 8	4900 9	372957	372957	1.00 0	1.00 0	----	----
141	ÈÈ, Ö' Ü530x10	2.71 4	4900 9	372957	372957	1.00 0	1.00 0	----	----
142	ÈÈ, Ö' Ü530x10	2.01 4	4900 9	372957	372957	1.00 0	1.00 0	----	----
143	ÈÈ, Ö' Ü530x10	2.01 4	4900 9	372957	372957	1.00 0	1.00 0	----	----
144	ÈÈ, Ö' Ü530x10	2.25 8	4900 9	372957	372957	1.00 0	1.00 0	----	----
145	Á° 248x124x5x8	3.92 5	3144	254	3378	1.00 0	1.00 0	----	----
146	Á° 248x124x5x8	3.42 0	3144	254	3378	1.00 0	1.00 0	----	----
147	Á° 248x124x5x8	3.92 5	3144	254	3378	1.00 0	1.00 0	----	----
148	Á° 248x124x5x8	3.42 0	3144	254	3378	1.00 0	1.00 0	----	----
149	Çá² Ü14	1.86 9	1546	521	55	1.00 0	1.00 0	----	----
150	Çá² Ü14	2.30 9	1546	521	55	1.00 0	1.00 0	----	----
151	Çá² Ü14	2.30 9	1546	521	55	1.00 0	1.00 0	----	----
152	Çá² Ü14	2.30 9	1546	521	55	1.00 0	1.00 0	----	----
153	Çá² Ü14	2.30 9	1546	521	55	1.00 0	1.00 0	----	----
154	Çá² Ü14	2.30 9	1546	521	55	1.00 0	1.00 0	----	----
155	Çá² Ü14	2.17 3	1546	521	55	1.00 0	1.00 0	----	----
156	Çá² Ü14	1.86 9	1546	521	55	1.00 0	1.00 0	----	----
157	Çá² Ü14	2.30 9	1546	521	55	1.00 0	1.00 0	----	----
158	Çá² Ü14	2.30 9	1546	521	55	1.00 0	1.00 0	----	----
159	Çá² Ü14	2.30	1546	521	55	1.00	1.00	----	----

		9				0	0		
160	Çá² Û14	2.30 9	1546	521	55	1.00 0	1.00 0	----	----
161	Çá² Û14	2.30 9	1546	521	55	1.00 0	1.00 0	----	----
162	Çá² Û14	2.17 3	1546	521	55	1.00 0	1.00 0	----	----
163	Çá² Û14	2.17 3	6089	15867	800	1.00 0	1.00 0	----	----
164	Çá² Û14	2.30 9	6089	15867	800	1.00 0	1.00 0	----	----
165	Çá² Û14	2.30 9	6089	15867	800	1.00 0	1.00 0	----	----
166	Çá² Û14	2.30 9	6089	15867	800	1.00 0	1.00 0	----	----
167	Çá² Û14	2.30 9	6089	15867	800	1.00 0	1.00 0	----	----
168	Çá² Û14	2.30 9	6089	15867	800	1.00 0	1.00 0	----	----
169	Çá² Û14	1.86 9	6089	15867	800	1.00 0	1.00 0	----	----
170	Çá² Û14	1.86 9	6089	15867	800	1.00 0	1.00 0	----	----
171	Çá² Û14	2.30 9	6089	15867	800	1.00 0	1.00 0	----	----
172	Çá² Û14	2.30 9	6089	15867	800	1.00 0	1.00 0	----	----
173	Çá² Û14	2.30 9	6089	15867	800	1.00 0	1.00 0	----	----
174	Çá² Û14	2.30 9	6089	15867	800	1.00 0	1.00 0	----	----
175	Çá² Û14	2.30 9	6089	15867	800	1.00 0	1.00 0	----	----
176	Çá² Û14	2.17 3	6089	15867	800	1.00 0	1.00 0	----	----
177	ÈÈ, Ö¹ Û530x10	2.71 4	4900 9	372957	372957	1.00 0	1.00 0	----	----
178	ÈÈ, Ö¹ Û530x10	2.08 1	4900 9	372957	372957	1.00 0	1.00 0	----	----
179	ÈÈ, Ö¹ Û530x10	2.08	4900	372957	372957	1.00	1.00	----	----

		6	9			0	0		
180	ÈÈ, Ö' Ü530x10	2.11 9	4900 9	372957	372957	1.00 0	1.00 0	----	----
181	ÈÈ, Ö' Ü530x10	2.71 4	4900 9	372957	372957	1.00 0	1.00 0	----	----
182	ÈÈ, Ö' Ü530x10	2.08 1	4900 9	372957	372957	1.00 0	1.00 0	----	----
183	ÈÈ, Ö' Ü530x10	2.08 6	4900 9	372957	372957	1.00 0	1.00 0	----	----
184	ÈÈ, Ö' Ü530x10	2.11 9	4900 9	372957	372957	1.00 0	1.00 0	----	----
185	Á° 248x124x5x8	1.11 2	3144	254	3378	1.00 0	1.00 0	----	----
186	Á° 248x124x5x8	1.43 3	3144	254	3378	1.00 0	1.00 0	----	----
187	Á° 248x124x5x8	1.11 2	3144	254	3378	1.00 0	1.00 0	----	----
188	Á° 248x124x5x8	1.43 3	3144	254	3378	1.00 0	1.00 0	----	----
189	Á° 248x124x5x8	2.26 4	3144	254	3378	1.00 0	1.00 0	----	----
190	Á° 248x124x5x8	2.67 6	3144	254	3378	1.00 0	1.00 0	----	----
191	Á° 248x124x5x8	2.26 4	3144	254	3378	1.00 0	1.00 0	----	----
192	Á° 248x124x5x8	2.67 6	3144	254	3378	1.00 0	1.00 0	----	----
193	Çá² Ü14	0.50 0	6089	15867	800	1.00 0	1.00 0	----	----
194	Çá² Ü14	1.40 0	6089	15867	800	1.00 0	1.00 0	----	----
195	Çá² Ü14	0.50 0	6089	15867	800	1.00 0	1.00 0	----	----
196	Çá² Ü14	3.10 0	6089	15867	800	1.00 0	1.00 0	----	----
197	Çá² Ü14	1.40 0	6089	15867	800	1.00 0	1.00 0	----	----
198	Çá² Ü14	0.50 0	6089	15867	800	1.00 0	1.00 0	----	----
199	Çá² Ü14	3.10	6089	15867	800	1.00	1.00	----	----

		0				0	0		
200	Çá² Û14	1.40 0	6089	15867	800	1.00 0	1.00 0	----	----
201	Çá² Û14	0.50 0	6089	15867	800	1.00 0	1.00 0	----	----
202	Çá² Û14	3.10 0	6089	15867	800	1.00 0	1.00 0	----	----
203	Çá² Û14	1.40 0	6089	15867	800	1.00 0	1.00 0	----	----
204	Çá² Û14	0.50 0	6089	15867	800	1.00 0	1.00 0	----	----
205	Çá² Û14	3.10 0	6089	15867	800	1.00 0	1.00 0	----	----
206	Çá² Û14	1.40 0	6089	15867	800	1.00 0	1.00 0	----	----
207	Çá² Û14	0.50 0	6089	15867	800	1.00 0	1.00 0	----	----
208	Çá² Û14	3.10 0	6089	15867	800	1.00 0	1.00 0	----	----
209	Çá² Û14	1.40 0	6089	15867	800	1.00 0	1.00 0	----	----
210	ÈÈ, Ö¹ Ü530x10	1.38 2	4900 9	372957	372957	1.00 0	1.00 0	----	----
211	ÈÈ, Ö¹ Ü530x10	2.00 0	4900 9	372957	372957	1.00 0	1.00 0	----	----
212	ÈÈ, Ö¹ Ü530x10	2.00 0	4900 9	372957	372957	1.00 0	1.00 0	----	----
213	ÈÈ, Ö¹ Ü530x10	2.00 0	4900 9	372957	372957	1.00 0	1.00 0	----	----
214	ÈÈ, Ö¹ Ü530x10	1.61 8	4900 9	372957	372957	1.00 0	1.00 0	----	----
215	ÈÈ, Ö¹ Ü530x10	1.38 2	4900 9	372957	372957	1.00 0	1.00 0	----	----
216	ÈÈ, Ö¹ Ü530x10	2.00 0	4900 9	372957	372957	1.00 0	1.00 0	----	----
217	ÈÈ, Ö¹ Ü530x10	2.00 0	4900 9	372957	372957	1.00 0	1.00 0	----	----
218	ÈÈ, Ö¹ Ü530x10	2.00 0	4900 9	372957	372957	1.00 0	1.00 0	----	----
219	ÈÈ, Ö¹ Ü530x10	1.61	4900	372957	372957	1.00	1.00	----	----

		8	9			0	0		
220	Çá² Û14	0.50 0	6089	15867	800	1.00 0	1.00 0	----	----
221	Çá² Û14	3.10 0	6089	15867	800	1.00 0	1.00 0	----	----
222	Çá² Û14	1.40 0	6089	15867	800	1.00 0	1.00 0	----	----

三、荷载信息

(一). (恒、活、风) 节点、单元荷载信息

1. 节点荷载

**以下为节点荷载汇总表:

单位: 力(kN); 弯距(kN.m)

**以下为节点荷载图

单位: 力(kN); 弯距(kN.m)

2. 单元荷载

**以下为单元荷载汇总表:

单位: 力(kN); 分布力(kN/m); 弯距(kN.m); 分布弯距(kN.m/m)

μÚ 0 ¹ Ω¿öμ¥Ŏª°ÉŎŎ±í

单元号	工况号	类型	方向	Q1	Q2	X1	X2
3	0	Èý½ÇÐÎ° ÉŎŎ	Z	-0.1	0.0	0.3	0.0
4	0	¾ü²¼°ÉŎŎ	Z	-0.3	-0.3	0.0	0.0
4	0	ìÝÐÎ°ÉŎŎ	Z	-0.6	-0.6	0.9	2.2
5	0	Èý½ÇÐÎ° ÉŎŎ	Z	-0.4	0.0	0.7	0.0
6	0	Èý½ÇÐÎ° ÉŎŎ	Z	-0.1	0.0	0.3	0.0
7	0	ìÝÐÎ°ÉŎŎ	Z	-0.7	-0.7	1.2	1.9
7	0	¾ü²¼°ÉŎŎ	Z	-0.3	-0.3	0.0	0.0
8	0	Èý½ÇÐÎ° ÉŎŎ	Z	-0.4	0.0	0.7	0.0
9	0	Èý½ÇÐÎ° ÉŎŎ	Z	-0.4	0.0	0.7	0.0

		ÉÔØ					
10	0	Èý½ÇÐÎ° ÉÔØ	Z	-0.1	0.0	0.3	0.0
11	0	ÌÝÐÎ°ÉÔØ	Z	-0.4	-0.4	1.4	1.7
11	0	ÌÝÐÎ°ÉÔØ	Z	-0.4	-0.4	1.2	1.9
11	0	¾û²¼°ÉÔØ	Z	-0.2	-0.2	0.0	0.0
12	0	¾û²¼°ÉÔØ	Z	-0.3	-0.3	0.0	0.0
12	0	Èý½ÇÐÎ° ÉÔØ	Z	-0.6	0.0	2.5	0.0
12	0	Èý½ÇÐÎ° ÉÔØ	Z	-0.4	0.0	2.5	0.0
13	0	¾û²¼°ÉÔØ	Z	-0.2	-0.2	0.0	0.0
13	0	Èý½ÇÐÎ° ÉÔØ	Z	-0.2	0.0	0.7	0.0
13	0	Èý½ÇÐÎ° ÉÔØ	Z	-0.2	0.0	0.9	0.0
14	0	¾û²¼°ÉÔØ	Z	-0.2	-0.2	0.0	0.0
14	0	Èý½ÇÐÎ° ÉÔØ	Z	-0.2	0.0	0.4	0.0
14	0	Èý½ÇÐÎ° ÉÔØ	Z	-0.2	0.0	1.0	0.0
15	0	¾û²¼°ÉÔØ	Z	-0.2	-0.2	0.0	0.0
15	0	Èý½ÇÐÎ° ÉÔØ	Z	-0.2	0.0	0.7	0.0
15	0	Èý½ÇÐÎ° ÉÔØ	Z	-0.2	0.0	0.9	0.0
16	0	¾û²¼°ÉÔØ	Z	-0.3	-0.3	0.0	0.0
16	0	Èý½ÇÐÎ° ÉÔØ	Z	-0.3	0.0	2.5	0.0
16	0	Èý½ÇÐÎ° ÉÔØ	Z	-0.3	0.0	3.5	0.0
17	0	¾û²¼°ÉÔØ	Z	-0.3	-0.3	0.0	0.0
17	0	Èý½ÇÐÎ° ÉÔØ	Z	-0.3	0.0	2.5	0.0
17	0	Èý½ÇÐÎ° ÉÔØ	Z	-0.3	0.0	3.5	0.0
18	0	¾û²¼°ÉÔØ	Z	-0.3	-0.3	0.0	0.0
18	0	Èý½ÇÐÎ° ÉÔØ	Z	-0.3	0.0	1.4	0.0
18	0	Èý½ÇÐÎ° ÉÔØ	Z	-0.4	0.0	2.0	0.0

		$\hat{E}\hat{O}\hat{O}$					
19	0	$\frac{3}{4}\hat{u}^2 \frac{1}{4}\hat{E}\hat{O}\hat{O}$	Z	-0.3	-0.3	0.0	0.0
19	0	$\hat{E}\hat{y}\frac{1}{2}\hat{C}\hat{D}\hat{I}^\circ$ $\hat{E}\hat{O}\hat{O}$	Z	-0.3	0.0	1.4	0.0
19	0	$\hat{E}\hat{y}\frac{1}{2}\hat{C}\hat{D}\hat{I}^\circ$ $\hat{E}\hat{O}\hat{O}$	Z	-0.4	0.0	2.0	0.0
20	0	$\frac{3}{4}\hat{u}^2 \frac{1}{4}\hat{E}\hat{O}\hat{O}$	Z	-0.3	-0.3	0.0	0.0
20	0	$\hat{E}\hat{y}\frac{1}{2}\hat{C}\hat{D}\hat{I}^\circ$ $\hat{E}\hat{O}\hat{O}$	Z	-0.3	0.0	3.5	0.0
20	0	$\hat{E}\hat{y}\frac{1}{2}\hat{C}\hat{D}\hat{I}^\circ$ $\hat{E}\hat{O}\hat{O}$	Z	-0.3	0.0	2.5	0.0
21	0	$\frac{3}{4}\hat{u}^2 \frac{1}{4}\hat{E}\hat{O}\hat{O}$	Z	-0.3	-0.3	0.0	0.0
21	0	$\hat{E}\hat{y}\frac{1}{2}\hat{C}\hat{D}\hat{I}^\circ$ $\hat{E}\hat{O}\hat{O}$	Z	-0.3	0.0	3.5	0.0
21	0	$\hat{E}\hat{y}\frac{1}{2}\hat{C}\hat{D}\hat{I}^\circ$ $\hat{E}\hat{O}\hat{O}$	Z	-0.3	0.0	2.5	0.0
22	0	$\frac{3}{4}\hat{u}^2 \frac{1}{4}\hat{E}\hat{O}\hat{O}$	Z	-0.3	-0.3	0.0	0.0
22	0	$\hat{E}\hat{y}\frac{1}{2}\hat{C}\hat{D}\hat{I}^\circ$ $\hat{E}\hat{O}\hat{O}$	Z	-0.3	0.0	1.9	0.0
22	0	$\hat{E}\hat{y}\frac{1}{2}\hat{C}\hat{D}\hat{I}^\circ$ $\hat{E}\hat{O}\hat{O}$	Z	-0.4	0.0	1.3	0.0
23	0	$\frac{3}{4}\hat{u}^2 \frac{1}{4}\hat{E}\hat{O}\hat{O}$	Z	-0.3	-0.3	0.0	0.0
23	0	$\hat{E}\hat{y}\frac{1}{2}\hat{C}\hat{D}\hat{I}^\circ$ $\hat{E}\hat{O}\hat{O}$	Z	-0.3	0.0	1.9	0.0
23	0	$\hat{E}\hat{y}\frac{1}{2}\hat{C}\hat{D}\hat{I}^\circ$ $\hat{E}\hat{O}\hat{O}$	Z	-0.4	0.0	1.3	0.0
24	0	$\frac{3}{4}\hat{u}^2 \frac{1}{4}\hat{E}\hat{O}\hat{O}$	Z	-0.3	-0.3	0.0	0.0
24	0	$\hat{E}\hat{y}\frac{1}{2}\hat{C}\hat{D}\hat{I}^\circ$ $\hat{E}\hat{O}\hat{O}$	Z	-0.2	0.0	0.8	0.0
24	0	$\hat{E}\hat{y}\frac{1}{2}\hat{C}\hat{D}\hat{I}^\circ$ $\hat{E}\hat{O}\hat{O}$	Z	-0.2	0.0	1.1	0.0
25	0	$\frac{3}{4}\hat{u}^2 \frac{1}{4}\hat{E}\hat{O}\hat{O}$	Z	-0.3	-0.3	0.0	0.0
25	0	$\hat{E}\hat{y}\frac{1}{2}\hat{C}\hat{D}\hat{I}^\circ$ $\hat{E}\hat{O}\hat{O}$	Z	-0.2	0.0	0.8	0.0
25	0	$\hat{E}\hat{y}\frac{1}{2}\hat{C}\hat{D}\hat{I}^\circ$ $\hat{E}\hat{O}\hat{O}$	Z	-0.2	0.0	1.1	0.0
26	0	$\frac{3}{4}\hat{u}^2 \frac{1}{4}\hat{E}\hat{O}\hat{O}$	Z	-0.3	-0.3	0.0	0.0
26	0	$\hat{E}\hat{y}\frac{1}{2}\hat{C}\hat{D}\hat{I}^\circ$ $\hat{E}\hat{O}\hat{O}$	Z	-0.2	0.0	1.3	0.0
26	0	$\hat{E}\hat{y}\frac{1}{2}\hat{C}\hat{D}\hat{I}^\circ$ $\hat{E}\hat{O}\hat{O}$	Z	-0.2	0.0	1.0	0.0

		$\acute{E}\hat{O}\emptyset$					
27	0	$\frac{3}{4}\acute{u}^2 \frac{1}{4}\acute{E}\hat{O}\emptyset$	Z	-0.3	-0.3	0.0	0.0
27	0	$\acute{E}\acute{y}\frac{1}{2}\text{ÇĐ}\hat{I}^\circ$ $\acute{E}\hat{O}\emptyset$	Z	-0.2	0.0	1.3	0.0
27	0	$\acute{E}\acute{y}\frac{1}{2}\text{ÇĐ}\hat{I}^\circ$ $\acute{E}\hat{O}\emptyset$	Z	-0.2	0.0	1.0	0.0
28	0	$\frac{3}{4}\acute{u}^2 \frac{1}{4}\acute{E}\hat{O}\emptyset$	Z	-0.2	-0.2	0.0	0.0
28	0	$\acute{E}\acute{y}\frac{1}{2}\text{ÇĐ}\hat{I}^\circ$ $\acute{E}\hat{O}\emptyset$	Z	-0.4	0.0	0.6	0.0
29	0	$\frac{3}{4}\acute{u}^2 \frac{1}{4}\acute{E}\hat{O}\emptyset$	Z	-0.2	-0.2	0.0	0.0
29	0	$\acute{E}\acute{y}\frac{1}{2}\text{ÇĐ}\hat{I}^\circ$ $\acute{E}\hat{O}\emptyset$	Z	-0.4	0.0	0.6	0.0
30	0	$\frac{3}{4}\acute{u}^2 \frac{1}{4}\acute{E}\hat{O}\emptyset$	Z	-0.2	-0.2	0.0	0.0
30	0	$\acute{E}\acute{y}\frac{1}{2}\text{ÇĐ}\hat{I}^\circ$ $\acute{E}\hat{O}\emptyset$	Z	-0.4	0.0	0.3	0.0
31	0	$\frac{3}{4}\acute{u}^2 \frac{1}{4}\acute{E}\hat{O}\emptyset$	Z	-0.2	-0.2	0.0	0.0
31	0	$\acute{E}\acute{y}\frac{1}{2}\text{ÇĐ}\hat{I}^\circ$ $\acute{E}\hat{O}\emptyset$	Z	-0.4	0.0	0.3	0.0
32	0	$\acute{E}\acute{y}\frac{1}{2}\text{ÇĐ}\hat{I}^\circ$ $\acute{E}\hat{O}\emptyset$	Z	-0.4	0.0	0.7	0.0
33	0	$\acute{E}\acute{y}\frac{1}{2}\text{ÇĐ}\hat{I}^\circ$ $\acute{E}\hat{O}\emptyset$	Z	-0.1	0.0	0.3	0.0
34	0	$\acute{E}\acute{y}\frac{1}{2}\text{ÇĐ}\hat{I}^\circ$ $\acute{E}\hat{O}\emptyset$	Z	-0.4	0.0	0.7	0.0
35	0	$\frac{3}{4}\acute{u}^2 \frac{1}{4}\acute{E}\hat{O}\emptyset$	Z	-0.3	-0.3	0.0	0.0
35	0	$\acute{E}\acute{y}\frac{1}{2}\text{ÇĐ}\hat{I}^\circ$ $\acute{E}\hat{O}\emptyset$	Z	-0.2	0.0	1.3	0.0
35	0	$\acute{E}\acute{y}\frac{1}{2}\text{ÇĐ}\hat{I}^\circ$ $\acute{E}\hat{O}\emptyset$	Z	-0.2	0.0	1.3	0.0
36	0	$\frac{3}{4}\acute{u}^2 \frac{1}{4}\acute{E}\hat{O}\emptyset$	Z	-0.2	-0.2	0.0	0.0
36	0	$\acute{E}\acute{y}\frac{1}{2}\text{ÇĐ}\hat{I}^\circ$ $\acute{E}\hat{O}\emptyset$	Z	-0.2	0.0	0.9	0.0
36	0	$\acute{E}\acute{y}\frac{1}{2}\text{ÇĐ}\hat{I}^\circ$ $\acute{E}\hat{O}\emptyset$	Z	-0.2	0.0	1.0	0.0
37	0	$\acute{E}\acute{y}\frac{1}{2}\text{ÇĐ}\hat{I}^\circ$ $\acute{E}\hat{O}\emptyset$	Z	-0.1	0.0	0.3	0.0
38	0	$\grave{I}\acute{Y}\text{Đ}\hat{I}^\circ \acute{E}\hat{O}\emptyset$	Z	-0.7	-0.7	1.1	2.0
38	0	$\frac{3}{4}\acute{u}^2 \frac{1}{4}\acute{E}\hat{O}\emptyset$	Z	-0.3	-0.3	0.0	0.0
39	0	$\acute{E}\acute{y}\frac{1}{2}\text{ÇĐ}\hat{I}^\circ$ $\acute{E}\hat{O}\emptyset$	Z	-0.4	0.0	0.7	0.0

40	0	$\hat{E}y\frac{1}{2}\hat{C}\hat{D}\hat{I}^\circ$ $\hat{E}\hat{O}\hat{\emptyset}$	Z	-0.1	0.0	0.3	0.0
41	0	$\hat{I}y\hat{D}\hat{I}^\circ \hat{E}\hat{O}\hat{\emptyset}$	Z	-0.3	-0.3	1.2	1.9
41	0	$\hat{I}y\hat{D}\hat{I}^\circ \hat{E}\hat{O}\hat{\emptyset}$	Z	-0.3	-0.3	1.1	2.0
41	0	$\frac{3}{4}\hat{u}^2 \frac{1}{4}\hat{E}\hat{O}\hat{\emptyset}$	Z	-0.7	-0.7	0.0	0.0
42	0	$\hat{E}y\frac{1}{2}\hat{C}\hat{D}\hat{I}^\circ$ $\hat{E}\hat{O}\hat{\emptyset}$	Z	-0.4	0.0	0.7	0.0
43	0	$\hat{E}y\frac{1}{2}\hat{C}\hat{D}\hat{I}^\circ$ $\hat{E}\hat{O}\hat{\emptyset}$	Z	-0.1	0.0	0.3	0.0
44	0	$\hat{I}y\hat{D}\hat{I}^\circ \hat{E}\hat{O}\hat{\emptyset}$	Z	-0.3	-0.3	1.1	2.0
44	0	$\hat{I}y\hat{D}\hat{I}^\circ \hat{E}\hat{O}\hat{\emptyset}$	Z	-0.4	-0.4	1.2	1.9
44	0	$\frac{3}{4}\hat{u}^2 \frac{1}{4}\hat{E}\hat{O}\hat{\emptyset}$	Z	-0.2	-0.2	0.0	0.0
45	0	$\hat{E}y\frac{1}{2}\hat{C}\hat{D}\hat{I}^\circ$ $\hat{E}\hat{O}\hat{\emptyset}$	Z	-0.4	0.0	0.7	0.0
46	0	$\hat{I}y\hat{D}\hat{I}^\circ \hat{E}\hat{O}\hat{\emptyset}$	Z	-0.7	-0.7	1.2	1.9
46	0	$\frac{3}{4}\hat{u}^2 \frac{1}{4}\hat{E}\hat{O}\hat{\emptyset}$	Z	-0.7	-0.7	0.0	0.0
47	0	$\hat{E}y\frac{1}{2}\hat{C}\hat{D}\hat{I}^\circ$ $\hat{E}\hat{O}\hat{\emptyset}$	Z	-0.4	0.0	0.7	0.0
48	0	$\hat{E}y\frac{1}{2}\hat{C}\hat{D}\hat{I}^\circ$ $\hat{E}\hat{O}\hat{\emptyset}$	Z	-0.1	0.0	0.3	0.0
49	0	$\frac{3}{4}\hat{u}^2 \frac{1}{4}\hat{E}\hat{O}\hat{\emptyset}$	Z	-0.3	-0.3	0.0	0.0
49	0	$\hat{I}y\hat{D}\hat{I}^\circ \hat{E}\hat{O}\hat{\emptyset}$	Z	-0.7	-0.7	1.2	1.9
50	0	$\hat{E}y\frac{1}{2}\hat{C}\hat{D}\hat{I}^\circ$ $\hat{E}\hat{O}\hat{\emptyset}$	Z	-0.1	0.0	1.0	0.0
50	0	$\hat{E}y\frac{1}{2}\hat{C}\hat{D}\hat{I}^\circ$ $\hat{E}\hat{O}\hat{\emptyset}$	Z	-0.2	0.0	1.1	0.0
51	0	$\hat{E}y\frac{1}{2}\hat{C}\hat{D}\hat{I}^\circ$ $\hat{E}\hat{O}\hat{\emptyset}$	Z	-0.1	0.0	1.0	0.0
51	0	$\hat{E}y\frac{1}{2}\hat{C}\hat{D}\hat{I}^\circ$ $\hat{E}\hat{O}\hat{\emptyset}$	Z	-0.2	0.0	1.1	0.0
52	0	$\hat{E}y\frac{1}{2}\hat{C}\hat{D}\hat{I}^\circ$ $\hat{E}\hat{O}\hat{\emptyset}$	Z	-0.2	0.0	1.3	0.0
52	0	$\hat{E}y\frac{1}{2}\hat{C}\hat{D}\hat{I}^\circ$ $\hat{E}\hat{O}\hat{\emptyset}$	Z	-0.1	0.0	1.1	0.0
53	0	$\hat{E}y\frac{1}{2}\hat{C}\hat{D}\hat{I}^\circ$ $\hat{E}\hat{O}\hat{\emptyset}$	Z	-0.2	0.0	1.3	0.0
53	0	$\hat{E}y\frac{1}{2}\hat{C}\hat{D}\hat{I}^\circ$ $\hat{E}\hat{O}\hat{\emptyset}$	Z	-0.1	0.0	1.1	0.0
54	0	$\frac{3}{4}\hat{u}^2 \frac{1}{4}\hat{E}\hat{O}\hat{\emptyset}$	Z	-0.3	-0.3	0.0	0.0
54	0	$\hat{E}y\frac{1}{2}\hat{C}\hat{D}\hat{I}^\circ$	Z	-0.2	0.0	1.7	0.0

		ÉÔØ					
54	0	Èý½ÇÐÎ° ÉÔØ	Z	-0.2	0.0	1.3	0.0
55	0	¾û² ¼° ÉÔØ	Z	-0.3	-0.3	0.0	0.0
55	0	Èý½ÇÐÎ° ÉÔØ	Z	-0.6	0.0	2.9	0.0
55	0	Èý½ÇÐÎ° ÉÔØ	Z	-0.4	0.0	1.9	0.0
56	0	¾û² ¼° ÉÔØ	Z	-0.3	-0.3	0.0	0.0
56	0	ÌÝÐÎ° ÉÔØ	Z	-0.3	-0.3	1.1	2.0
56	0	ÌÝÐÎ° ÉÔØ	Z	-0.4	-0.4	1.4	1.7
57	0	¾û² ¼° ÉÔØ	Z	-0.3	-0.3	0.0	0.0
57	0	Èý½ÇÐÎ° ÉÔØ	Z	-0.6	0.0	2.9	0.0
57	0	Èý½ÇÐÎ° ÉÔØ	Z	-0.4	0.0	1.9	0.0
58	0	¾û² ¼° ÉÔØ	Z	-0.3	-0.3	0.0	0.0
58	0	Èý½ÇÐÎ° ÉÔØ	Z	-0.6	0.0	2.5	0.0
58	0	Èý½ÇÐÎ° ÉÔØ	Z	-0.4	0.0	2.5	0.0
59	0	¾û² ¼° ÉÔØ	Z	-0.3	-0.3	0.0	0.0
59	0	Èý½ÇÐÎ° ÉÔØ	Z	-0.4	0.0	0.8	0.0
59	0	Èý½ÇÐÎ° ÉÔØ	Z	-0.2	0.0	1.7	0.0
60	0	¾û² ¼° ÉÔØ	Z	-0.3	-0.3	0.0	0.0
60	0	Èý½ÇÐÎ° ÉÔØ	Z	-0.2	0.0	1.3	0.0
60	0	Èý½ÇÐÎ° ÉÔØ	Z	-0.2	0.0	1.3	0.0
61	0	Èý½ÇÐÎ° ÉÔØ	Z	-0.2	0.0	1.0	0.0
61	0	Èý½ÇÐÎ° ÉÔØ	Z	-0.1	0.0	1.3	0.0
62	0	Èý½ÇÐÎ° ÉÔØ	Z	-0.2	0.0	1.0	0.0
62	0	Èý½ÇÐÎ° ÉÔØ	Z	-0.1	0.0	1.3	0.0
63	0	Èý½ÇÐÎ°	Z	-0.2	0.0	1.0	0.0

		ÉÔØ					
63	0	Èý½ÇÐÎ° ÉÔØ	Z	-0.1	0.0	1.3	0.0
64	0	Èý½ÇÐÎ° ÉÔØ	Z	-0.2	0.0	1.0	0.0
64	0	Èý½ÇÐÎ° ÉÔØ	Z	-0.1	0.0	1.3	0.0
65	0	Èý½ÇÐÎ° ÉÔØ	Z	-0.1	0.0	0.3	0.0
66	0	ÌÝÐÎ° ÉÔØ	Z	-0.3	-0.3	0.9	2.2
66	0	ÌÝÐÎ° ÉÔØ	Z	-0.3	-0.3	1.2	1.9
66	0	¾û² ¼° ÉÔØ	Z	-0.2	-0.2	0.0	0.0
68	0	ÌÝÐÎ° ÉÔØ	Z	-0.7	-0.7	1.2	1.9
68	0	¾û² ¼° ÉÔØ	Z	-0.3	-0.3	0.0	0.0
69	0	Èý½ÇÐÎ° ÉÔØ	Z	-0.4	0.0	0.7	0.0
70	0	Èý½ÇÐÎ° ÉÔØ	Z	-0.1	0.0	0.3	0.0
71	0	¾û² ¼° ÉÔØ	Z	-1.0	-1.0	0.0	0.0
72	0	Èý½ÇÐÎ° ÉÔØ	Z	-0.1	0.0	1.1	0.0
72	0	Èý½ÇÐÎ° ÉÔØ	Z	-0.2	0.0	1.2	0.0
73	0	Èý½ÇÐÎ° ÉÔØ	Z	-0.1	0.0	1.1	0.0
73	0	Èý½ÇÐÎ° ÉÔØ	Z	-0.2	0.0	1.2	0.0
75	0	Èý½ÇÐÎ° ÉÔØ	Z	-0.1	0.0	1.0	0.0
75	0	Èý½ÇÐÎ° ÉÔØ	Z	-0.2	0.0	1.1	0.0
76	0	ÌÝÐÎ° ÉÔØ	Z	-0.3	-0.3	0.9	2.2
76	0	ÌÝÐÎ° ÉÔØ	Z	-0.3	-0.3	1.2	1.9
76	0	¾û² ¼° ÉÔØ	Z	-0.2	-0.2	0.0	0.0
77	0	Èý½ÇÐÎ° ÉÔØ	Z	-0.4	0.0	0.7	0.0
78	0	Èý½ÇÐÎ° ÉÔØ	Z	-0.1	0.0	0.3	0.0
79	0	¾û² ¼° ÉÔØ	Z	-0.3	-0.3	0.0	0.0
79	0	ÌÝÐÎ° ÉÔØ	Z	-0.4	-0.4	1.2	1.9

79	0	$\hat{Y}\hat{D}\hat{I}^\circ \hat{E}\hat{O}\hat{\emptyset}$	Z	-0.4	-0.4	1.4	1.7
80	0	$\hat{E}\hat{y}\frac{1}{2}\hat{C}\hat{D}\hat{I}^\circ \hat{E}\hat{O}\hat{\emptyset}$	Z	-0.1	0.0	0.3	0.0
81	0	$\hat{E}\hat{y}\frac{1}{2}\hat{C}\hat{D}\hat{I}^\circ \hat{E}\hat{O}\hat{\emptyset}$	Z	-0.4	0.0	0.7	0.0
82	0	$\hat{Y}\hat{D}\hat{I}^\circ \hat{E}\hat{O}\hat{\emptyset}$	Z	-0.7	-0.7	1.2	1.9
82	0	$\frac{3}{4}\hat{u}^2 \frac{1}{4} \hat{E}\hat{O}\hat{\emptyset}$	Z	-0.3	-0.3	0.0	0.0
83	0	$\hat{E}\hat{y}\frac{1}{2}\hat{C}\hat{D}\hat{I}^\circ \hat{E}\hat{O}\hat{\emptyset}$	Z	-0.4	0.0	0.7	0.0
84	0	$\hat{E}\hat{y}\frac{1}{2}\hat{C}\hat{D}\hat{I}^\circ \hat{E}\hat{O}\hat{\emptyset}$	Z	-0.1	0.0	0.3	0.0
85	0	$\hat{E}\hat{y}\frac{1}{2}\hat{C}\hat{D}\hat{I}^\circ \hat{E}\hat{O}\hat{\emptyset}$	Z	-0.4	0.0	1.2	0.0
85	0	$\hat{Y}\hat{D}\hat{I}^\circ \hat{E}\hat{O}\hat{\emptyset}$	Z	-0.2	-0.2	0.7	1.7
85	0	$\hat{E}\hat{y}\frac{1}{2}\hat{C}\hat{D}\hat{I}^\circ \hat{E}\hat{O}\hat{\emptyset}$	Z	-0.1	0.0	1.0	0.0
86	0	$\hat{E}\hat{y}\frac{1}{2}\hat{C}\hat{D}\hat{I}^\circ \hat{E}\hat{O}\hat{\emptyset}$	Z	-0.3	0.0	1.1	0.0
86	0	$\hat{Y}\hat{D}\hat{I}^\circ \hat{E}\hat{O}\hat{\emptyset}$	Z	-0.2	-0.2	0.7	1.5
86	0	$\hat{E}\hat{y}\frac{1}{2}\hat{C}\hat{D}\hat{I}^\circ \hat{E}\hat{O}\hat{\emptyset}$	Z	-0.2	0.0	1.1	0.0
87	0	$\hat{E}\hat{y}\frac{1}{2}\hat{C}\hat{D}\hat{I}^\circ \hat{E}\hat{O}\hat{\emptyset}$	Z	-0.3	0.0	1.1	0.0
87	0	$\hat{Y}\hat{D}\hat{I}^\circ \hat{E}\hat{O}\hat{\emptyset}$	Z	-0.2	-0.2	0.7	1.5
87	0	$\hat{E}\hat{y}\frac{1}{2}\hat{C}\hat{D}\hat{I}^\circ \hat{E}\hat{O}\hat{\emptyset}$	Z	-0.4	0.0	1.8	0.0
88	0	$\hat{E}\hat{y}\frac{1}{2}\hat{C}\hat{D}\hat{I}^\circ \hat{E}\hat{O}\hat{\emptyset}$	Z	-0.3	0.0	1.2	0.0
88	0	$\hat{Y}\hat{D}\hat{I}^\circ \hat{E}\hat{O}\hat{\emptyset}$	Z	-0.2	-0.2	0.7	1.6
88	0	$\hat{E}\hat{y}\frac{1}{2}\hat{C}\hat{D}\hat{I}^\circ \hat{E}\hat{O}\hat{\emptyset}$	Z	-0.5	0.0	2.3	0.0
89	0	$\hat{E}\hat{y}\frac{1}{2}\hat{C}\hat{D}\hat{I}^\circ \hat{E}\hat{O}\hat{\emptyset}$	Z	-0.3	0.0	1.2	0.0
89	0	$\hat{Y}\hat{D}\hat{I}^\circ \hat{E}\hat{O}\hat{\emptyset}$	Z	-0.2	-0.2	0.7	1.6
89	0	$\hat{E}\hat{y}\frac{1}{2}\hat{C}\hat{D}\hat{I}^\circ \hat{E}\hat{O}\hat{\emptyset}$	Z	-0.3	0.0	2.0	0.0
90	0	$\hat{Y}\hat{D}\hat{I}^\circ \hat{E}\hat{O}\hat{\emptyset}$	Z	-0.2	-0.2	0.7	1.6
90	0	$\hat{E}\hat{y}\frac{1}{2}\hat{C}\hat{D}\hat{I}^\circ \hat{E}\hat{O}\hat{\emptyset}$	Z	-0.3	0.0	1.2	0.0
90	0	$\hat{E}\hat{y}\frac{1}{2}\hat{C}\hat{D}\hat{I}^\circ$	Z	-0.2	0.0	1.1	0.0

		ÉÔØ					
91	0	Èý½ÇÐÎ° ÉÔØ	Z	-0.3	0.0	0.9	0.0
91	0	ÌÝÐÎ° ÉÔØ	Z	-0.2	-0.2	0.7	1.2
91	0	Èý½ÇÐÎ° ÉÔØ	Z	-0.1	0.0	0.8	0.0
92	0	Èý½ÇÐÎ° ÉÔØ	Z	-0.4	0.0	1.4	0.0
92	0	ÌÝÐÎ° ÉÔØ	Z	-0.2	-0.2	0.7	2.1
92	0	Èý½ÇÐÎ° ÉÔØ	Z	-0.1	0.0	1.2	0.0
93	0	ÌÝÐÎ° ÉÔØ	Z	-0.2	-0.2	0.7	1.8
93	0	Èý½ÇÐÎ° ÉÔØ	Z	-0.4	0.0	1.2	0.0
93	0	Èý½ÇÐÎ° ÉÔØ	Z	-0.2	0.0	1.1	0.0
94	0	ÌÝÐÎ° ÉÔØ	Z	-0.2	-0.2	0.7	1.8
94	0	Èý½ÇÐÎ° ÉÔØ	Z	-0.4	0.0	1.2	0.0
94	0	Èý½ÇÐÎ° ÉÔØ	Z	-0.4	0.0	0.1	0.0
95	0	Èý½ÇÐÎ° ÉÔØ	Z	-0.4	0.0	1.2	0.0
95	0	ÌÝÐÎ° ÉÔØ	Z	-0.2	-0.2	0.7	1.8
95	0	Èý½ÇÐÎ° ÉÔØ	Z	-0.4	0.0	2.4	0.0
96	0	ÌÝÐÎ° ÉÔØ	Z	-0.2	-0.2	0.7	1.8
96	0	Èý½ÇÐÎ° ÉÔØ	Z	-0.4	0.0	1.2	0.0
96	0	Èý½ÇÐÎ° ÉÔØ	Z	-0.2	0.0	1.1	0.0
97	0	Èý½ÇÐÎ° ÉÔØ	Z	-0.4	0.0	1.4	0.0
97	0	ÌÝÐÎ° ÉÔØ	Z	-0.2	-0.2	0.7	2.1
97	0	Èý½ÇÐÎ° ÉÔØ	Z	-0.1	0.0	1.3	0.0
98	0	ÌÝÐÎ° ÉÔØ	Z	-0.1	-0.1	0.3	2.2
98	0	Èý½ÇÐÎ° ÉÔØ	Z	-0.4	0.0	1.2	0.0
98	0	Èý½ÇÐÎ°	Z	-0.1	0.0	1.0	0.0

		ÉÔØ					
99	0	ÌÝÐÎ°ÉÔØ	Z	-0.1	-0.1	0.2	1.9
99	0	Èý½ÇÐÎ° ÉÔØ	Z	-0.3	0.0	1.1	0.0
99	0	Èý½ÇÐÎ° ÉÔØ	Z	-0.2	0.0	1.1	0.0
100	0	ÌÝÐÎ°ÉÔØ	Z	-0.1	-0.1	0.3	1.9
100	0	Èý½ÇÐÎ° ÉÔØ	Z	-0.3	0.0	1.1	0.0
100	0	Èý½ÇÐÎ° ÉÔØ	Z	-0.4	0.0	1.8	0.0
101	0	ÌÝÐÎ°ÉÔØ	Z	-0.1	-0.1	0.3	2.1
101	0	Èý½ÇÐÎ° ÉÔØ	Z	-0.3	0.0	1.2	0.0
101	0	Èý½ÇÐÎ° ÉÔØ	Z	-0.5	0.0	2.3	0.0
102	0	ÌÝÐÎ°ÉÔØ	Z	-0.1	-0.1	0.3	2.1
102	0	Èý½ÇÐÎ° ÉÔØ	Z	-0.3	0.0	1.2	0.0
102	0	Èý½ÇÐÎ° ÉÔØ	Z	-0.3	0.0	2.0	0.0
103	0	ÌÝÐÎ°ÉÔØ	Z	-0.1	-0.1	0.3	2.1
103	0	Èý½ÇÐÎ° ÉÔØ	Z	-0.3	0.0	1.2	0.0
103	0	Èý½ÇÐÎ° ÉÔØ	Z	-0.2	0.0	1.1	0.0
104	0	ÌÝÐÎ°ÉÔØ	Z	-0.1	-0.1	0.2	1.6
104	0	Èý½ÇÐÎ° ÉÔØ	Z	-0.3	0.0	0.9	0.0
104	0	Èý½ÇÐÎ° ÉÔØ	Z	-0.1	0.0	0.8	0.0
105	0	ÌÝÐÎ°ÉÔØ	Z	-0.1	-0.1	0.3	2.5
105	0	Èý½ÇÐÎ° ÉÔØ	Z	-0.4	0.0	1.4	0.0
105	0	Èý½ÇÐÎ° ÉÔØ	Z	-0.1	0.0	1.6	0.0
106	0	ÌÝÐÎ°ÉÔØ	Z	-0.1	-0.1	0.3	2.2
106	0	Èý½ÇÐÎ° ÉÔØ	Z	-0.4	0.0	1.2	0.0
106	0	Èý½ÇÐÎ°	Z	-0.2	0.0	0.3	0.0

		ÉÔØ					
107	0	ÏÝÐÎ° ÉÔØ	Z	-0.1	-0.1	0.3	2.2
107	0	Èý½ÇÐÎ° ÉÔØ	Z	-0.4	0.0	1.2	0.0
107	0	Èý½ÇÐÎ° ÉÔØ	Z	-0.4	0.0	0.1	0.0
108	0	ÏÝÐÎ° ÉÔØ	Z	-0.1	-0.1	0.3	2.2
108	0	Èý½ÇÐÎ° ÉÔØ	Z	-0.4	0.0	1.2	0.0
108	0	Èý½ÇÐÎ° ÉÔØ	Z	-0.4	0.0	2.4	0.0
109	0	Èý½ÇÐÎ° ÉÔØ	Z	-0.4	0.0	1.2	0.0
109	0	ÏÝÐÎ° ÉÔØ	Z	-0.1	-0.1	0.3	2.2
109	0	Èý½ÇÐÎ° ÉÔØ	Z	-0.2	0.0	1.1	0.0
110	0	Èý½ÇÐÎ° ÉÔØ	Z	-0.4	0.0	1.4	0.0
110	0	ÏÝÐÎ° ÉÔØ	Z	-0.1	-0.1	0.3	2.5
110	0	Èý½ÇÐÎ° ÉÔØ	Z	-0.1	0.0	1.3	0.0
111	0	ÏÝÐÎ° ÉÔØ	Z	-0.2	-0.2	0.7	1.7
111	0	$\frac{3}{4}\hat{u}^2 \frac{1}{4} \text{ÉÔØ}$	Z	-0.7	-0.7	0.0	0.0
112	0	ÏÝÐÎ° ÉÔØ	Z	-0.2	-0.2	0.7	1.5
112	0	$\frac{3}{4}\hat{u}^2 \frac{1}{4} \text{ÉÔØ}$	Z	-0.7	-0.7	0.0	0.0
113	0	ÏÝÐÎ° ÉÔØ	Z	-0.2	-0.2	0.7	1.5
113	0	$\frac{3}{4}\hat{u}^2 \frac{1}{4} \text{ÉÔØ}$	Z	-0.7	-0.7	0.0	0.0
114	0	ÏÝÐÎ° ÉÔØ	Z	-0.2	-0.2	0.7	1.6
114	0	$\frac{3}{4}\hat{u}^2 \frac{1}{4} \text{ÉÔØ}$	Z	-0.7	-0.7	0.0	0.0
115	0	ÏÝÐÎ° ÉÔØ	Z	-0.2	-0.2	0.7	1.6
115	0	$\frac{3}{4}\hat{u}^2 \frac{1}{4} \text{ÉÔØ}$	Z	-0.7	-0.7	0.0	0.0
116	0	ÏÝÐÎ° ÉÔØ	Z	-0.2	-0.2	0.7	1.6
116	0	$\frac{3}{4}\hat{u}^2 \frac{1}{4} \text{ÉÔØ}$	Z	-0.7	-0.7	0.0	0.0
117	0	ÏÝÐÎ° ÉÔØ	Z	-0.2	-0.2	0.7	1.2
117	0	$\frac{3}{4}\hat{u}^2 \frac{1}{4} \text{ÉÔØ}$	Z	-0.7	-0.7	0.0	0.0
118	0	ÏÝÐÎ° ÉÔØ	Z	-0.2	-0.2	0.7	2.1
118	0	$\frac{3}{4}\hat{u}^2 \frac{1}{4} \text{ÉÔØ}$	Z	-0.7	-0.7	0.0	0.0
119	0	ÏÝÐÎ° ÉÔØ	Z	-0.2	-0.2	0.7	1.8
119	0	$\frac{3}{4}\hat{u}^2 \frac{1}{4} \text{ÉÔØ}$	Z	-0.7	-0.7	0.0	0.0

138	0	$\frac{3}{4}u^2 \frac{1}{4} \epsilon \hat{0} \hat{0}$	Z	-0.3	-0.3	0.0	0.0
138	0	$\epsilon \hat{y} \frac{1}{2} \hat{c} \hat{d} \hat{1}^\circ$ $\epsilon \hat{0} \hat{0}$	Z	-0.5	0.0	1.0	0.0
138	0	$\epsilon \hat{y} \frac{1}{2} \hat{c} \hat{d} \hat{1}^\circ$ $\epsilon \hat{0} \hat{0}$	Z	-0.4	0.0	0.7	0.0
139	0	$\frac{3}{4}u^2 \frac{1}{4} \epsilon \hat{0} \hat{0}$	Z	-0.3	-0.3	0.0	0.0
139	0	$\epsilon \hat{y} \frac{1}{2} \hat{c} \hat{d} \hat{1}^\circ$ $\epsilon \hat{0} \hat{0}$	Z	-0.1	0.0	1.4	0.0
139	0	$\epsilon \hat{y} \frac{1}{2} \hat{c} \hat{d} \hat{1}^\circ$ $\epsilon \hat{0} \hat{0}$	Z	-0.1	0.0	1.3	0.0
140	0	$\frac{3}{4}u^2 \frac{1}{4} \epsilon \hat{0} \hat{0}$	Z	-0.3	-0.3	0.0	0.0
140	0	$\epsilon \hat{y} \frac{1}{2} \hat{c} \hat{d} \hat{1}^\circ$ $\epsilon \hat{0} \hat{0}$	Z	-0.1	0.0	1.5	0.0
140	0	$\epsilon \hat{y} \frac{1}{2} \hat{c} \hat{d} \hat{1}^\circ$ $\epsilon \hat{0} \hat{0}$	Z	-0.1	0.0	1.6	0.0
141	0	$\frac{3}{4}u^2 \frac{1}{4} \epsilon \hat{0} \hat{0}$	Z	-0.3	-0.3	0.0	0.0
141	0	$\epsilon \hat{y} \frac{1}{2} \hat{c} \hat{d} \hat{1}^\circ$ $\epsilon \hat{0} \hat{0}$	Z	-0.2	0.0	0.7	0.0
141	0	$\epsilon \hat{y} \frac{1}{2} \hat{c} \hat{d} \hat{1}^\circ$ $\epsilon \hat{0} \hat{0}$	Z	-0.4	0.0	0.7	0.0
142	0	$\frac{3}{4}u^2 \frac{1}{4} \epsilon \hat{0} \hat{0}$	Z	-0.3	-0.3	0.0	0.0
142	0	$\epsilon \hat{y} \frac{1}{2} \hat{c} \hat{d} \hat{1}^\circ$ $\epsilon \hat{0} \hat{0}$	Z	-0.4	0.0	0.7	0.0
142	0	$\epsilon \hat{y} \frac{1}{2} \hat{c} \hat{d} \hat{1}^\circ$ $\epsilon \hat{0} \hat{0}$	Z	-0.5	0.0	1.0	0.0
143	0	$\frac{3}{4}u^2 \frac{1}{4} \epsilon \hat{0} \hat{0}$	Z	-0.3	-0.3	0.0	0.0
143	0	$\epsilon \hat{y} \frac{1}{2} \hat{c} \hat{d} \hat{1}^\circ$ $\epsilon \hat{0} \hat{0}$	Z	-0.1	0.0	1.4	0.0
143	0	$\epsilon \hat{y} \frac{1}{2} \hat{c} \hat{d} \hat{1}^\circ$ $\epsilon \hat{0} \hat{0}$	Z	-0.3	0.0	1.2	0.0
144	0	$\frac{3}{4}u^2 \frac{1}{4} \epsilon \hat{0} \hat{0}$	Z	-0.3	-0.3	0.0	0.0
144	0	$\epsilon \hat{y} \frac{1}{2} \hat{c} \hat{d} \hat{1}^\circ$ $\epsilon \hat{0} \hat{0}$	Z	-0.1	0.0	1.5	0.0
144	0	$\epsilon \hat{y} \frac{1}{2} \hat{c} \hat{d} \hat{1}^\circ$ $\epsilon \hat{0} \hat{0}$	Z	-0.1	0.0	1.6	0.0
145	0	$\frac{3}{4}u^2 \frac{1}{4} \epsilon \hat{0} \hat{0}$	Z	-0.3	-0.3	0.0	0.0
145	0	$\epsilon \hat{y} \frac{1}{2} \hat{c} \hat{d} \hat{1}^\circ$ $\epsilon \hat{0} \hat{0}$	Z	-0.6	0.0	2.5	0.0
145	0	$\epsilon \hat{y} \frac{1}{2} \hat{c} \hat{d} \hat{1}^\circ$ $\epsilon \hat{0} \hat{0}$	Z	-0.4	0.0	2.5	0.0

146	0	$\frac{3}{4}u^2 \frac{1}{4} \acute{E}\acute{O}\emptyset$	Z	-0.3	-0.3	0.0	0.0
146	0	$\acute{E}\acute{y}\frac{1}{2}\text{ÇĐ}\acute{I}^\circ$ $\acute{E}\acute{O}\emptyset$	Z	-0.6	0.0	2.9	0.0
146	0	$\acute{E}\acute{y}\frac{1}{2}\text{ÇĐ}\acute{I}^\circ$ $\acute{E}\acute{O}\emptyset$	Z	-0.4	0.0	1.9	0.0
147	0	$\frac{3}{4}u^2 \frac{1}{4} \acute{E}\acute{O}\emptyset$	Z	-0.3	-0.3	0.0	0.0
147	0	$\acute{E}\acute{y}\frac{1}{2}\text{ÇĐ}\acute{I}^\circ$ $\acute{E}\acute{O}\emptyset$	Z	-0.6	0.0	2.5	0.0
147	0	$\acute{E}\acute{y}\frac{1}{2}\text{ÇĐ}\acute{I}^\circ$ $\acute{E}\acute{O}\emptyset$	Z	-0.4	0.0	2.5	0.0
148	0	$\frac{3}{4}u^2 \frac{1}{4} \acute{E}\acute{O}\emptyset$	Z	-0.3	-0.3	0.0	0.0
148	0	$\acute{E}\acute{y}\frac{1}{2}\text{ÇĐ}\acute{I}^\circ$ $\acute{E}\acute{O}\emptyset$	Z	-0.6	0.0	2.9	0.0
148	0	$\acute{E}\acute{y}\frac{1}{2}\text{ÇĐ}\acute{I}^\circ$ $\acute{E}\acute{O}\emptyset$	Z	-0.4	0.0	1.9	0.0
149	0	$\acute{E}\acute{y}\frac{1}{2}\text{ÇĐ}\acute{I}^\circ$ $\acute{E}\acute{O}\emptyset$	Z	-0.3	0.0	0.9	0.0
149	0	$\grave{I}\acute{Y}\acute{Đ}\acute{I}^\circ \acute{E}\acute{O}\emptyset$	Z	-0.2	-0.2	0.7	1.2
149	0	$\acute{E}\acute{y}\frac{1}{2}\text{ÇĐ}\acute{I}^\circ$ $\acute{E}\acute{O}\emptyset$	Z	-0.1	0.0	0.8	0.0
150	0	$\acute{E}\acute{y}\frac{1}{2}\text{ÇĐ}\acute{I}^\circ$ $\acute{E}\acute{O}\emptyset$	Z	-0.3	0.0	1.2	0.0
150	0	$\grave{I}\acute{Y}\acute{Đ}\acute{I}^\circ \acute{E}\acute{O}\emptyset$	Z	-0.2	-0.2	0.7	1.6
150	0	$\acute{E}\acute{y}\frac{1}{2}\text{ÇĐ}\acute{I}^\circ$ $\acute{E}\acute{O}\emptyset$	Z	-0.2	0.0	1.1	0.0
151	0	$\acute{E}\acute{y}\frac{1}{2}\text{ÇĐ}\acute{I}^\circ$ $\acute{E}\acute{O}\emptyset$	Z	-0.3	0.0	1.2	0.0
151	0	$\grave{I}\acute{Y}\acute{Đ}\acute{I}^\circ \acute{E}\acute{O}\emptyset$	Z	-0.2	-0.2	0.7	1.6
151	0	$\acute{E}\acute{y}\frac{1}{2}\text{ÇĐ}\acute{I}^\circ$ $\acute{E}\acute{O}\emptyset$	Z	-0.3	0.0	2.0	0.0
152	0	$\grave{I}\acute{Y}\acute{Đ}\acute{I}^\circ \acute{E}\acute{O}\emptyset$	Z	-0.2	-0.2	0.7	1.6
152	0	$\acute{E}\acute{y}\frac{1}{2}\text{ÇĐ}\acute{I}^\circ$ $\acute{E}\acute{O}\emptyset$	Z	-0.3	0.0	1.2	0.0
152	0	$\acute{E}\acute{y}\frac{1}{2}\text{ÇĐ}\acute{I}^\circ$ $\acute{E}\acute{O}\emptyset$	Z	-0.5	0.0	2.3	0.0
153	0	$\acute{E}\acute{y}\frac{1}{2}\text{ÇĐ}\acute{I}^\circ$ $\acute{E}\acute{O}\emptyset$	Z	-0.3	0.0	1.2	0.0
153	0	$\grave{I}\acute{Y}\acute{Đ}\acute{I}^\circ \acute{E}\acute{O}\emptyset$	Z	-0.2	-0.2	0.7	1.6
153	0	$\acute{E}\acute{y}\frac{1}{2}\text{ÇĐ}\acute{I}^\circ$ $\acute{E}\acute{O}\emptyset$	Z	-0.4	0.0	1.9	0.0

154	0	ÌÝÐÎ°ÉÔØ	Z	-0.2	-0.2	0.7	1.6
154	0	Èý½ÇÐÎ° ÉÔØ	Z	-0.3	0.0	1.2	0.0
154	0	Èý½ÇÐÎ° ÉÔØ	Z	-0.2	0.0	1.3	0.0
155	0	Èý½ÇÐÎ° ÉÔØ	Z	-0.3	0.0	1.1	0.0
155	0	ÌÝÐÎ°ÉÔØ	Z	-0.2	-0.2	0.7	1.5
155	0	Èý½ÇÐÎ° ÉÔØ	Z	-0.1	0.0	0.8	0.0
156	0	ÌÝÐÎ°ÉÔØ	Z	-0.1	-0.1	0.2	1.6
156	0	Èý½ÇÐÎ° ÉÔØ	Z	-0.3	0.0	0.9	0.0
156	0	Èý½ÇÐÎ° ÉÔØ	Z	-0.1	0.0	0.8	0.0
157	0	Èý½ÇÐÎ° ÉÔØ	Z	-0.3	0.0	1.2	0.0
157	0	ÌÝÐÎ°ÉÔØ	Z	-0.1	-0.1	0.3	2.1
157	0	Èý½ÇÐÎ° ÉÔØ	Z	-0.2	0.0	1.1	0.0
158	0	Èý½ÇÐÎ° ÉÔØ	Z	-0.3	0.0	1.2	0.0
158	0	ÌÝÐÎ°ÉÔØ	Z	-0.1	-0.1	0.3	2.1
158	0	Èý½ÇÐÎ° ÉÔØ	Z	-0.3	0.0	2.0	0.0
159	0	Èý½ÇÐÎ° ÉÔØ	Z	-0.3	0.0	1.2	0.0
159	0	ÌÝÐÎ°ÉÔØ	Z	-0.1	-0.1	0.3	2.1
159	0	Èý½ÇÐÎ° ÉÔØ	Z	-0.5	0.0	2.3	0.0
160	0	Èý½ÇÐÎ° ÉÔØ	Z	-0.3	0.0	1.2	0.0
160	0	ÌÝÐÎ°ÉÔØ	Z	-0.1	-0.1	0.3	2.1
160	0	Èý½ÇÐÎ° ÉÔØ	Z	-0.4	0.0	1.9	0.0
161	0	Èý½ÇÐÎ° ÉÔØ	Z	-0.3	0.0	1.2	0.0
161	0	ÌÝÐÎ°ÉÔØ	Z	-0.1	-0.1	0.3	2.1
161	0	Èý½ÇÐÎ° ÉÔØ	Z	-0.2	0.0	1.3	0.0

162	0	$\hat{E}y\frac{1}{2}\hat{C}\hat{D}\hat{I}^\circ$ $\hat{E}\hat{O}\hat{O}$	Z	-0.3	0.0	1.1	0.0
162	0	$\hat{I}y\hat{D}\hat{I}^\circ \hat{E}\hat{O}\hat{O}$	Z	-0.1	-0.1	0.3	1.9
162	0	$\hat{E}y\frac{1}{2}\hat{C}\hat{D}\hat{I}^\circ$ $\hat{E}\hat{O}\hat{O}$	Z	-0.1	0.0	0.8	0.0
163	0	$\hat{I}y\hat{D}\hat{I}^\circ \hat{E}\hat{O}\hat{O}$	Z	-0.2	-0.2	0.7	1.5
163	0	$\frac{3}{4}\hat{u}^2 \frac{1}{4} \hat{E}\hat{O}\hat{O}$	Z	-0.7	-0.7	0.0	0.0
164	0	$\hat{I}y\hat{D}\hat{I}^\circ \hat{E}\hat{O}\hat{O}$	Z	-0.2	-0.2	0.7	1.6
164	0	$\frac{3}{4}\hat{u}^2 \frac{1}{4} \hat{E}\hat{O}\hat{O}$	Z	-0.7	-0.7	0.0	0.0
165	0	$\hat{I}y\hat{D}\hat{I}^\circ \hat{E}\hat{O}\hat{O}$	Z	-0.2	-0.2	0.7	1.6
165	0	$\frac{3}{4}\hat{u}^2 \frac{1}{4} \hat{E}\hat{O}\hat{O}$	Z	-0.7	-0.7	0.0	0.0
166	0	$\hat{I}y\hat{D}\hat{I}^\circ \hat{E}\hat{O}\hat{O}$	Z	-0.2	-0.2	0.7	1.6
166	0	$\frac{3}{4}\hat{u}^2 \frac{1}{4} \hat{E}\hat{O}\hat{O}$	Z	-0.7	-0.7	0.0	0.0
167	0	$\hat{I}y\hat{D}\hat{I}^\circ \hat{E}\hat{O}\hat{O}$	Z	-0.2	-0.2	0.7	1.6
167	0	$\frac{3}{4}\hat{u}^2 \frac{1}{4} \hat{E}\hat{O}\hat{O}$	Z	-0.7	-0.7	0.0	0.0
168	0	$\hat{I}y\hat{D}\hat{I}^\circ \hat{E}\hat{O}\hat{O}$	Z	-0.2	-0.2	0.7	1.6
168	0	$\frac{3}{4}\hat{u}^2 \frac{1}{4} \hat{E}\hat{O}\hat{O}$	Z	-0.7	-0.7	0.0	0.0
169	0	$\hat{I}y\hat{D}\hat{I}^\circ \hat{E}\hat{O}\hat{O}$	Z	-0.2	-0.2	0.7	1.2
169	0	$\frac{3}{4}\hat{u}^2 \frac{1}{4} \hat{E}\hat{O}\hat{O}$	Z	-0.7	-0.7	0.0	0.0
170	0	$\hat{I}y\hat{D}\hat{I}^\circ \hat{E}\hat{O}\hat{O}$	Z	-0.1	-0.1	0.2	1.6
170	0	$\frac{3}{4}\hat{u}^2 \frac{1}{4} \hat{E}\hat{O}\hat{O}$	Z	-0.7	-0.7	0.0	0.0
171	0	$\hat{I}y\hat{D}\hat{I}^\circ \hat{E}\hat{O}\hat{O}$	Z	-0.1	-0.1	0.3	2.1
171	0	$\frac{3}{4}\hat{u}^2 \frac{1}{4} \hat{E}\hat{O}\hat{O}$	Z	-0.7	-0.7	0.0	0.0
172	0	$\hat{I}y\hat{D}\hat{I}^\circ \hat{E}\hat{O}\hat{O}$	Z	-0.1	-0.1	0.2	2.1
172	0	$\frac{3}{4}\hat{u}^2 \frac{1}{4} \hat{E}\hat{O}\hat{O}$	Z	-0.7	-0.7	0.0	0.0
173	0	$\hat{I}y\hat{D}\hat{I}^\circ \hat{E}\hat{O}\hat{O}$	Z	-0.1	-0.1	0.3	2.1
173	0	$\frac{3}{4}\hat{u}^2 \frac{1}{4} \hat{E}\hat{O}\hat{O}$	Z	-0.7	-0.7	0.0	0.0
174	0	$\hat{I}y\hat{D}\hat{I}^\circ \hat{E}\hat{O}\hat{O}$	Z	-0.1	-0.1	0.3	2.1
174	0	$\frac{3}{4}\hat{u}^2 \frac{1}{4} \hat{E}\hat{O}\hat{O}$	Z	-0.7	-0.7	0.0	0.0
175	0	$\hat{I}y\hat{D}\hat{I}^\circ \hat{E}\hat{O}\hat{O}$	Z	-0.1	-0.1	0.3	2.1
175	0	$\frac{3}{4}\hat{u}^2 \frac{1}{4} \hat{E}\hat{O}\hat{O}$	Z	-0.7	-0.7	0.0	0.0
176	0	$\hat{I}y\hat{D}\hat{I}^\circ \hat{E}\hat{O}\hat{O}$	Z	-0.1	-0.1	0.3	1.9
176	0	$\frac{3}{4}\hat{u}^2 \frac{1}{4} \hat{E}\hat{O}\hat{O}$	Z	-0.7	-0.7	0.0	0.0
177	0	$\frac{3}{4}\hat{u}^2 \frac{1}{4} \hat{E}\hat{O}\hat{O}$	Z	-0.3	-0.3	0.0	0.0
177	0	$\hat{E}y\frac{1}{2}\hat{C}\hat{D}\hat{I}^\circ$ $\hat{E}\hat{O}\hat{O}$	Z	-0.2	0.0	0.7	0.0
177	0	$\hat{E}y\frac{1}{2}\hat{C}\hat{D}\hat{I}^\circ$ $\hat{E}\hat{O}\hat{O}$	Z	-0.4	0.0	0.7	0.0
178	0	$\frac{3}{4}\hat{u}^2 \frac{1}{4} \hat{E}\hat{O}\hat{O}$	Z	-0.3	-0.3	0.0	0.0

178	0	$\hat{E}y\frac{1}{2}\hat{C}\hat{D}\hat{I}^\circ$ $\hat{E}\hat{O}\hat{\emptyset}$	Z	-0.5	0.0	1.0	0.0
178	0	$\hat{E}y\frac{1}{2}\hat{C}\hat{D}\hat{I}^\circ$ $\hat{E}\hat{O}\hat{\emptyset}$	Z	-0.4	0.0	0.7	0.0
179	0	$\frac{3}{4}\hat{u}^2\frac{1}{4}^\circ\hat{E}\hat{O}\hat{\emptyset}$	Z	-0.3	-0.3	0.0	0.0
179	0	$\hat{E}y\frac{1}{2}\hat{C}\hat{D}\hat{I}^\circ$ $\hat{E}\hat{O}\hat{\emptyset}$	Z	-0.1	0.0	1.3	0.0
179	0	$\hat{E}y\frac{1}{2}\hat{C}\hat{D}\hat{I}^\circ$ $\hat{E}\hat{O}\hat{\emptyset}$	Z	-0.1	0.0	1.5	0.0
180	0	$\frac{3}{4}\hat{u}^2\frac{1}{4}^\circ\hat{E}\hat{O}\hat{\emptyset}$	Z	-0.3	-0.3	0.0	0.0
180	0	$\hat{E}y\frac{1}{2}\hat{C}\hat{D}\hat{I}^\circ$ $\hat{E}\hat{O}\hat{\emptyset}$	Z	-0.1	0.0	1.5	0.0
180	0	$\hat{E}y\frac{1}{2}\hat{C}\hat{D}\hat{I}^\circ$ $\hat{E}\hat{O}\hat{\emptyset}$	Z	-0.1	0.0	1.3	0.0
181	0	$\frac{3}{4}\hat{u}^2\frac{1}{4}^\circ\hat{E}\hat{O}\hat{\emptyset}$	Z	-0.3	-0.3	0.0	0.0
181	0	$\hat{E}y\frac{1}{2}\hat{C}\hat{D}\hat{I}^\circ$ $\hat{E}\hat{O}\hat{\emptyset}$	Z	-0.4	0.0	0.7	0.0
181	0	$\hat{E}y\frac{1}{2}\hat{C}\hat{D}\hat{I}^\circ$ $\hat{E}\hat{O}\hat{\emptyset}$	Z	-0.2	0.0	0.7	0.0
182	0	$\frac{3}{4}\hat{u}^2\frac{1}{4}^\circ\hat{E}\hat{O}\hat{\emptyset}$	Z	-0.3	-0.3	0.0	0.0
182	0	$\hat{E}y\frac{1}{2}\hat{C}\hat{D}\hat{I}^\circ$ $\hat{E}\hat{O}\hat{\emptyset}$	Z	-0.5	0.0	1.0	0.0
182	0	$\hat{E}y\frac{1}{2}\hat{C}\hat{D}\hat{I}^\circ$ $\hat{E}\hat{O}\hat{\emptyset}$	Z	-0.4	0.0	0.7	0.0
183	0	$\frac{3}{4}\hat{u}^2\frac{1}{4}^\circ\hat{E}\hat{O}\hat{\emptyset}$	Z	-0.3	-0.3	0.0	0.0
183	0	$\hat{E}y\frac{1}{2}\hat{C}\hat{D}\hat{I}^\circ$ $\hat{E}\hat{O}\hat{\emptyset}$	Z	-0.1	0.0	1.3	0.0
183	0	$\hat{E}y\frac{1}{2}\hat{C}\hat{D}\hat{I}^\circ$ $\hat{E}\hat{O}\hat{\emptyset}$	Z	-0.1	0.0	1.5	0.0
184	0	$\frac{3}{4}\hat{u}^2\frac{1}{4}^\circ\hat{E}\hat{O}\hat{\emptyset}$	Z	-0.3	-0.3	0.0	0.0
184	0	$\hat{E}y\frac{1}{2}\hat{C}\hat{D}\hat{I}^\circ$ $\hat{E}\hat{O}\hat{\emptyset}$	Z	-0.1	0.0	1.5	0.0
184	0	$\hat{E}y\frac{1}{2}\hat{C}\hat{D}\hat{I}^\circ$ $\hat{E}\hat{O}\hat{\emptyset}$	Z	-0.1	0.0	1.3	0.0
185	0	$\frac{3}{4}\hat{u}^2\frac{1}{4}^\circ\hat{E}\hat{O}\hat{\emptyset}$	Z	-0.2	-0.2	0.0	0.0
185	0	$\hat{E}y\frac{1}{2}\hat{C}\hat{D}\hat{I}^\circ$ $\hat{E}\hat{O}\hat{\emptyset}$	Z	-0.2	0.0	0.9	0.0
185	0	$\hat{E}y\frac{1}{2}\hat{C}\hat{D}\hat{I}^\circ$ $\hat{E}\hat{O}\hat{\emptyset}$	Z	-0.2	0.0	0.6	0.0
186	0	$\frac{3}{4}\hat{u}^2\frac{1}{4}^\circ\hat{E}\hat{O}\hat{\emptyset}$	Z	-0.2	-0.2	0.0	0.0

186	0	$\hat{E}y\frac{1}{2}\hat{C}\hat{D}\hat{I}^\circ$ $\hat{E}\hat{O}\hat{\emptyset}$	Z	-0.2	0.0	0.8	0.0
186	0	$\hat{E}y\frac{1}{2}\hat{C}\hat{D}\hat{I}^\circ$ $\hat{E}\hat{O}\hat{\emptyset}$	Z	-0.2	0.0	1.1	0.0
187	0	$\frac{3}{4}\hat{u}^2\frac{1}{4}\hat{E}\hat{O}\hat{\emptyset}$	Z	-0.2	-0.2	0.0	0.0
187	0	$\hat{E}y\frac{1}{2}\hat{C}\hat{D}\hat{I}^\circ$ $\hat{E}\hat{O}\hat{\emptyset}$	Z	-0.2	0.0	0.9	0.0
187	0	$\hat{E}y\frac{1}{2}\hat{C}\hat{D}\hat{I}^\circ$ $\hat{E}\hat{O}\hat{\emptyset}$	Z	-0.2	0.0	0.6	0.0
188	0	$\frac{3}{4}\hat{u}^2\frac{1}{4}\hat{E}\hat{O}\hat{\emptyset}$	Z	-0.2	-0.2	0.0	0.0
188	0	$\hat{E}y\frac{1}{2}\hat{C}\hat{D}\hat{I}^\circ$ $\hat{E}\hat{O}\hat{\emptyset}$	Z	-0.2	0.0	0.8	0.0
188	0	$\hat{E}y\frac{1}{2}\hat{C}\hat{D}\hat{I}^\circ$ $\hat{E}\hat{O}\hat{\emptyset}$	Z	-0.2	0.0	1.1	0.0
189	0	$\frac{3}{4}\hat{u}^2\frac{1}{4}\hat{E}\hat{O}\hat{\emptyset}$	Z	-0.3	-0.3	0.0	0.0
189	0	$\hat{E}y\frac{1}{2}\hat{C}\hat{D}\hat{I}^\circ$ $\hat{E}\hat{O}\hat{\emptyset}$	Z	-0.2	0.0	1.2	0.0
189	0	$\hat{E}y\frac{1}{2}\hat{C}\hat{D}\hat{I}^\circ$ $\hat{E}\hat{O}\hat{\emptyset}$	Z	-0.3	0.0	1.2	0.0
190	0	$\frac{3}{4}\hat{u}^2\frac{1}{4}\hat{E}\hat{O}\hat{\emptyset}$	Z	-0.3	-0.3	0.0	0.0
190	0	$\hat{E}y\frac{1}{2}\hat{C}\hat{D}\hat{I}^\circ$ $\hat{E}\hat{O}\hat{\emptyset}$	Z	-0.2	0.0	1.3	0.0
190	0	$\hat{E}y\frac{1}{2}\hat{C}\hat{D}\hat{I}^\circ$ $\hat{E}\hat{O}\hat{\emptyset}$	Z	-0.2	0.0	1.7	0.0
191	0	$\frac{3}{4}\hat{u}^2\frac{1}{4}\hat{E}\hat{O}\hat{\emptyset}$	Z	-0.3	-0.3	0.0	0.0
191	0	$\hat{E}y\frac{1}{2}\hat{C}\hat{D}\hat{I}^\circ$ $\hat{E}\hat{O}\hat{\emptyset}$	Z	-0.2	0.0	1.2	0.0
191	0	$\hat{E}y\frac{1}{2}\hat{C}\hat{D}\hat{I}^\circ$ $\hat{E}\hat{O}\hat{\emptyset}$	Z	-0.3	0.0	1.2	0.0
192	0	$\frac{3}{4}\hat{u}^2\frac{1}{4}\hat{E}\hat{O}\hat{\emptyset}$	Z	-0.3	-0.3	0.0	0.0
192	0	$\hat{E}y\frac{1}{2}\hat{C}\hat{D}\hat{I}^\circ$ $\hat{E}\hat{O}\hat{\emptyset}$	Z	-0.2	0.0	1.3	0.0
192	0	$\hat{E}y\frac{1}{2}\hat{C}\hat{D}\hat{I}^\circ$ $\hat{E}\hat{O}\hat{\emptyset}$	Z	-0.2	0.0	1.7	0.0
193	0	$\hat{E}y\frac{1}{2}\hat{C}\hat{D}\hat{I}^\circ$ $\hat{E}\hat{O}\hat{\emptyset}$	Z	-0.1	0.0	0.3	0.0
194	0	$\hat{E}y\frac{1}{2}\hat{C}\hat{D}\hat{I}^\circ$ $\hat{E}\hat{O}\hat{\emptyset}$	Z	-0.4	0.0	0.7	0.0
195	0	$\hat{E}y\frac{1}{2}\hat{C}\hat{D}\hat{I}^\circ$ $\hat{E}\hat{O}\hat{\emptyset}$	Z	-0.1	0.0	0.3	0.0

196	0	$\dot{\gamma}\dot{\delta}\dot{\epsilon}\dot{\theta}$	Z	-0.7	-0.7	1.2	1.9
196	0	$\frac{3}{4}\dot{\alpha}^2\frac{1}{4}\dot{\epsilon}\dot{\theta}$	Z	-0.7	-0.7	0.0	0.0
197	0	$\dot{\epsilon}\frac{1}{2}\dot{\zeta}\dot{\delta}\dot{\epsilon}\dot{\theta}$	Z	-0.4	0.0	0.7	0.0
198	0	$\dot{\epsilon}\frac{1}{2}\dot{\zeta}\dot{\delta}\dot{\epsilon}\dot{\theta}$	Z	-0.2	0.0	0.3	0.0
199	0	$\dot{\gamma}\dot{\delta}\dot{\epsilon}\dot{\theta}$	Z	-0.7	-0.7	1.2	1.9
199	0	$\frac{3}{4}\dot{\alpha}^2\frac{1}{4}\dot{\epsilon}\dot{\theta}$	Z	-0.3	-0.3	0.0	0.0
200	0	$\dot{\epsilon}\frac{1}{2}\dot{\zeta}\dot{\delta}\dot{\epsilon}\dot{\theta}$	Z	-0.4	0.0	0.7	0.0
201	0	$\dot{\epsilon}\frac{1}{2}\dot{\zeta}\dot{\delta}\dot{\epsilon}\dot{\theta}$	Z	-0.2	0.0	0.3	0.0
202	0	$\dot{\gamma}\dot{\delta}\dot{\epsilon}\dot{\theta}$	Z	-0.3	-0.3	1.1	2.0
202	0	$\dot{\gamma}\dot{\delta}\dot{\epsilon}\dot{\theta}$	Z	-0.3	-0.3	1.2	1.9
202	0	$\frac{3}{4}\dot{\alpha}^2\frac{1}{4}\dot{\epsilon}\dot{\theta}$	Z	-0.2	-0.2	0.0	0.0
203	0	$\dot{\epsilon}\frac{1}{2}\dot{\zeta}\dot{\delta}\dot{\epsilon}\dot{\theta}$	Z	-0.4	0.0	0.7	0.0
204	0	$\dot{\epsilon}\frac{1}{2}\dot{\zeta}\dot{\delta}\dot{\epsilon}\dot{\theta}$	Z	-0.1	0.0	0.3	0.0
205	0	$\dot{\gamma}\dot{\delta}\dot{\epsilon}\dot{\theta}$	Z	-0.4	-0.4	1.4	1.7
205	0	$\dot{\gamma}\dot{\delta}\dot{\epsilon}\dot{\theta}$	Z	-0.4	-0.4	1.2	1.9
205	0	$\frac{3}{4}\dot{\alpha}^2\frac{1}{4}\dot{\epsilon}\dot{\theta}$	Z	-0.2	-0.2	0.0	0.0
206	0	$\dot{\epsilon}\frac{1}{2}\dot{\zeta}\dot{\delta}\dot{\epsilon}\dot{\theta}$	Z	-0.4	0.0	0.7	0.0
207	0	$\dot{\epsilon}\frac{1}{2}\dot{\zeta}\dot{\delta}\dot{\epsilon}\dot{\theta}$	Z	-0.1	0.0	0.3	0.0
208	0	$\dot{\gamma}\dot{\delta}\dot{\epsilon}\dot{\theta}$	Z	-0.7	-0.7	1.2	1.9
208	0	$\frac{3}{4}\dot{\alpha}^2\frac{1}{4}\dot{\epsilon}\dot{\theta}$	Z	-0.3	-0.3	0.0	0.0
209	0	$\dot{\epsilon}\frac{1}{2}\dot{\zeta}\dot{\delta}\dot{\epsilon}\dot{\theta}$	Z	-0.4	0.0	0.7	0.0
210	0	$\frac{3}{4}\dot{\alpha}^2\frac{1}{4}\dot{\epsilon}\dot{\theta}$	Z	-0.3	-0.3	0.0	0.0
210	0	$\dot{\epsilon}\frac{1}{2}\dot{\zeta}\dot{\delta}\dot{\epsilon}\dot{\theta}$	Z	-0.6	0.0	1.1	0.0
211	0	$\frac{3}{4}\dot{\alpha}^2\frac{1}{4}\dot{\epsilon}\dot{\theta}$	Z	-0.3	-0.3	0.0	0.0
211	0	$\dot{\epsilon}\frac{1}{2}\dot{\zeta}\dot{\delta}\dot{\epsilon}\dot{\theta}$	Z	-1.1	0.0	1.2	0.0
212	0	$\frac{3}{4}\dot{\alpha}^2\frac{1}{4}\dot{\epsilon}\dot{\theta}$	Z	-0.3	-0.3	0.0	0.0
212	0	$\dot{\epsilon}\frac{1}{2}\dot{\zeta}\dot{\delta}\dot{\epsilon}\dot{\theta}$	Z	-0.8	0.0	1.2	0.0
213	0	$\frac{3}{4}\dot{\alpha}^2\frac{1}{4}\dot{\epsilon}\dot{\theta}$	Z	-0.3	-0.3	0.0	0.0

213	0	Èý½ÇÐÎ° ÉÔØ	Z	-0.2	0.0	1.3	0.0
214	0	¾û²¼°ÉÔØ	Z	-0.3	-0.3	0.0	0.0
214	0	Èý½ÇÐÎ° ÉÔØ	Z	-0.2	0.0	0.5	0.0
215	0	¾û²¼°ÉÔØ	Z	-0.3	-0.3	0.0	0.0
215	0	Èý½ÇÐÎ° ÉÔØ	Z	-0.6	0.0	1.1	0.0
216	0	¾û²¼°ÉÔØ	Z	-0.3	-0.3	0.0	0.0
216	0	Èý½ÇÐÎ° ÉÔØ	Z	-1.1	0.0	1.2	0.0
217	0	¾û²¼°ÉÔØ	Z	-0.3	-0.3	0.0	0.0
217	0	Èý½ÇÐÎ° ÉÔØ	Z	-0.8	0.0	1.2	0.0
218	0	¾û²¼°ÉÔØ	Z	-0.3	-0.3	0.0	0.0
218	0	Èý½ÇÐÎ° ÉÔØ	Z	-0.2	0.0	1.3	0.0
219	0	¾û²¼°ÉÔØ	Z	-0.3	-0.3	0.0	0.0
219	0	Èý½ÇÐÎ° ÉÔØ	Z	-0.2	0.0	0.5	0.0
220	0	Èý½ÇÐÎ° ÉÔØ	Z	-0.1	0.0	0.3	0.0
221	0	ÏÝÐÎ°ÉÔØ	Z	-0.7	-0.7	1.2	1.9
221	0	¾û²¼°ÉÔØ	Z	-0.3	-0.3	0.0	0.0
222	0	Èý½ÇÐÎ° ÉÔØ	Z	-0.4	0.0	0.7	0.0

μÚ 1 ¹Ω¿öμ¥Ôª°ÉÔØ±1

单元号	工况号	类型	方向	Q1	Q2	X1	X2
12	1	Èý½ÇÐÎ° ÉÔØ	Z	-0.9	0.0	2.5	0.0
12	1	Èý½ÇÐÎ° ÉÔØ	Z	-0.6	0.0	2.5	0.0
13	1	Èý½ÇÐÎ° ÉÔØ	Z	-0.4	0.0	0.7	0.0
13	1	Èý½ÇÐÎ° ÉÔØ	Z	-0.3	0.0	0.9	0.0
14	1	Èý½ÇÐÎ° ÉÔØ	Z	-0.3	0.0	0.4	0.0
14	1	Èý½ÇÐÎ° ÉÔØ	Z	-0.4	0.0	1.0	0.0

		ÉÔØ					
15	1	Èý½ÇÐÎ° ÉÔØ	Z	-0.4	0.0	0.7	0.0
15	1	Èý½ÇÐÎ° ÉÔØ	Z	-0.3	0.0	0.9	0.0
16	1	Èý½ÇÐÎ° ÉÔØ	Z	-0.6	0.0	2.5	0.0
16	1	Èý½ÇÐÎ° ÉÔØ	Z	-0.5	0.0	3.5	0.0
17	1	Èý½ÇÐÎ° ÉÔØ	Z	-0.6	0.0	2.5	0.0
17	1	Èý½ÇÐÎ° ÉÔØ	Z	-0.5	0.0	3.5	0.0
18	1	Èý½ÇÐÎ° ÉÔØ	Z	-0.4	0.0	1.4	0.0
18	1	Èý½ÇÐÎ° ÉÔØ	Z	-0.6	0.0	2.0	0.0
19	1	Èý½ÇÐÎ° ÉÔØ	Z	-0.4	0.0	1.4	0.0
19	1	Èý½ÇÐÎ° ÉÔØ	Z	-0.6	0.0	2.0	0.0
20	1	Èý½ÇÐÎ° ÉÔØ	Z	-0.5	0.0	3.5	0.0
20	1	Èý½ÇÐÎ° ÉÔØ	Z	-0.6	0.0	2.5	0.0
21	1	Èý½ÇÐÎ° ÉÔØ	Z	-0.5	0.0	3.5	0.0
21	1	Èý½ÇÐÎ° ÉÔØ	Z	-0.6	0.0	2.5	0.0
22	1	Èý½ÇÐÎ° ÉÔØ	Z	-0.4	0.0	1.9	0.0
22	1	Èý½ÇÐÎ° ÉÔØ	Z	-0.6	0.0	1.3	0.0
23	1	Èý½ÇÐÎ° ÉÔØ	Z	-0.4	0.0	1.9	0.0
23	1	Èý½ÇÐÎ° ÉÔØ	Z	-0.6	0.0	1.3	0.0
24	1	Èý½ÇÐÎ° ÉÔØ	Z	-0.4	0.0	0.8	0.0
24	1	Èý½ÇÐÎ°	Z	-0.3	0.0	1.1	0.0

		ÉÔØ					
25	1	Èý½ÇÐÎ° ÉÔØ	Z	-0.4	0.0	0.8	0.0
25	1	Èý½ÇÐÎ° ÉÔØ	Z	-0.3	0.0	1.1	0.0
26	1	Èý½ÇÐÎ° ÉÔØ	Z	-0.4	0.0	1.3	0.0
26	1	Èý½ÇÐÎ° ÉÔØ	Z	-0.3	0.0	1.0	0.0
27	1	Èý½ÇÐÎ° ÉÔØ	Z	-0.4	0.0	1.3	0.0
27	1	Èý½ÇÐÎ° ÉÔØ	Z	-0.3	0.0	1.0	0.0
28	1	Èý½ÇÐÎ° ÉÔØ	Z	-0.6	0.0	0.6	0.0
29	1	Èý½ÇÐÎ° ÉÔØ	Z	-0.6	0.0	0.6	0.0
30	1	Èý½ÇÐÎ° ÉÔØ	Z	-0.6	0.0	0.3	0.0
31	1	Èý½ÇÐÎ° ÉÔØ	Z	-0.6	0.0	0.3	0.0
35	1	Èý½ÇÐÎ° ÉÔØ	Z	-0.4	0.0	1.3	0.0
35	1	Èý½ÇÐÎ° ÉÔØ	Z	-0.3	0.0	1.3	0.0
36	1	Èý½ÇÐÎ° ÉÔØ	Z	-0.3	0.0	0.9	0.0
36	1	Èý½ÇÐÎ° ÉÔØ	Z	-0.4	0.0	1.0	0.0
50	1	Èý½ÇÐÎ° ÉÔØ	Z	-0.2	0.0	1.0	0.0
50	1	Èý½ÇÐÎ° ÉÔØ	Z	-0.4	0.0	1.1	0.0
51	1	Èý½ÇÐÎ° ÉÔØ	Z	-0.2	0.0	1.0	0.0
51	1	Èý½ÇÐÎ° ÉÔØ	Z	-0.4	0.0	1.1	0.0
52	1	Èý½ÇÐÎ° ÉÔØ	Z	-0.3	0.0	1.3	0.0
52	1	Èý½ÇÐÎ°	Z	-0.1	0.0	1.1	0.0

		ÉÔØ					
53	1	Èý½ÇÐÎ° ÉÔØ	Z	-0.3	0.0	1.3	0.0
53	1	Èý½ÇÐÎ° ÉÔØ	Z	-0.1	0.0	1.1	0.0
54	1	Èý½ÇÐÎ° ÉÔØ	Z	-0.4	0.0	1.7	0.0
54	1	Èý½ÇÐÎ° ÉÔØ	Z	-0.3	0.0	1.3	0.0
55	1	Èý½ÇÐÎ° ÉÔØ	Z	-1.1	0.0	2.9	0.0
55	1	Èý½ÇÐÎ° ÉÔØ	Z	-0.6	0.0	1.9	0.0
57	1	Èý½ÇÐÎ° ÉÔØ	Z	-1.1	0.0	2.9	0.0
57	1	Èý½ÇÐÎ° ÉÔØ	Z	-0.6	0.0	1.9	0.0
58	1	Èý½ÇÐÎ° ÉÔØ	Z	-0.9	0.0	2.5	0.0
58	1	Èý½ÇÐÎ° ÉÔØ	Z	-0.6	0.0	2.5	0.0
59	1	Èý½ÇÐÎ° ÉÔØ	Z	-0.7	0.0	0.8	0.0
59	1	Èý½ÇÐÎ° ÉÔØ	Z	-0.4	0.0	1.7	0.0
60	1	Èý½ÇÐÎ° ÉÔØ	Z	-0.4	0.0	1.3	0.0
60	1	Èý½ÇÐÎ° ÉÔØ	Z	-0.3	0.0	1.3	0.0
61	1	Èý½ÇÐÎ° ÉÔØ	Z	-0.3	0.0	1.0	0.0
61	1	Èý½ÇÐÎ° ÉÔØ	Z	-0.1	0.0	1.3	0.0
62	1	Èý½ÇÐÎ° ÉÔØ	Z	-0.3	0.0	1.0	0.0
62	1	Èý½ÇÐÎ° ÉÔØ	Z	-0.1	0.0	1.3	0.0
63	1	Èý½ÇÐÎ° ÉÔØ	Z	-0.3	0.0	1.0	0.0
63	1	Èý½ÇÐÎ°	Z	-0.1	0.0	1.3	0.0

		ÉÔØ					
64	1	Èý½ÇÐÎ° ÉÔØ	Z	-0.3	0.0	1.0	0.0
64	1	Èý½ÇÐÎ° ÉÔØ	Z	-0.1	0.0	1.3	0.0
72	1	Èý½ÇÐÎ° ÉÔØ	Z	-0.2	0.0	1.1	0.0
72	1	Èý½ÇÐÎ° ÉÔØ	Z	-0.3	0.0	1.2	0.0
73	1	Èý½ÇÐÎ° ÉÔØ	Z	-0.2	0.0	1.1	0.0
73	1	Èý½ÇÐÎ° ÉÔØ	Z	-0.3	0.0	1.2	0.0
75	1	Èý½ÇÐÎ° ÉÔØ	Z	-0.2	0.0	1.0	0.0
75	1	Èý½ÇÐÎ° ÉÔØ	Z	-0.4	0.0	1.1	0.0
85	1	Èý½ÇÐÎ° ÉÔØ	Z	-0.2	0.0	1.0	0.0
86	1	Èý½ÇÐÎ° ÉÔØ	Z	-0.4	0.0	1.1	0.0
87	1	Èý½ÇÐÎ° ÉÔØ	Z	-0.6	0.0	1.8	0.0
88	1	Èý½ÇÐÎ° ÉÔØ	Z	-0.8	0.0	2.3	0.0
89	1	Èý½ÇÐÎ° ÉÔØ	Z	-0.6	0.0	2.0	0.0
90	1	Èý½ÇÐÎ° ÉÔØ	Z	-0.3	0.0	1.1	0.0
91	1	Èý½ÇÐÎ° ÉÔØ	Z	-0.1	0.0	0.8	0.0
92	1	Èý½ÇÐÎ° ÉÔØ	Z	-0.2	0.0	1.2	0.0
93	1	Èý½ÇÐÎ° ÉÔØ	Z	-0.4	0.0	1.1	0.0
94	1	Èý½ÇÐÎ° ÉÔØ	Z	-0.6	0.0	0.1	0.0
95	1	Èý½ÇÐÎ° ÉÔØ	Z	-0.6	0.0	2.4	0.0
96	1	Èý½ÇÐÎ°	Z	-0.4	0.0	1.1	0.0

		ÉÔØ					
97	1	Èý½ÇÐÎ° ÉÔØ	Z	-0.2	0.0	1.3	0.0
98	1	Èý½ÇÐÎ° ÉÔØ	Z	-0.2	0.0	1.0	0.0
99	1	Èý½ÇÐÎ° ÉÔØ	Z	-0.4	0.0	1.1	0.0
100	1	Èý½ÇÐÎ° ÉÔØ	Z	-0.6	0.0	1.8	0.0
101	1	Èý½ÇÐÎ° ÉÔØ	Z	-0.8	0.0	2.3	0.0
102	1	Èý½ÇÐÎ° ÉÔØ	Z	-0.6	0.0	2.0	0.0
103	1	Èý½ÇÐÎ° ÉÔØ	Z	-0.3	0.0	1.1	0.0
104	1	Èý½ÇÐÎ° ÉÔØ	Z	-0.1	0.0	0.8	0.0
105	1	Èý½ÇÐÎ° ÉÔØ	Z	-0.2	0.0	1.6	0.0
106	1	Èý½ÇÐÎ° ÉÔØ	Z	-0.4	0.0	0.3	0.0
107	1	Èý½ÇÐÎ° ÉÔØ	Z	-0.6	0.0	0.1	0.0
108	1	Èý½ÇÐÎ° ÉÔØ	Z	-0.6	0.0	2.4	0.0
109	1	Èý½ÇÐÎ° ÉÔØ	Z	-0.4	0.0	1.1	0.0
110	1	Èý½ÇÐÎ° ÉÔØ	Z	-0.2	0.0	1.3	0.0
111	1	¾û² ¼° ÉÔØ	Z	-1.1	-1.1	0.0	0.0
112	1	¾û² ¼° ÉÔØ	Z	-1.1	-1.1	0.0	0.0
113	1	¾û² ¼° ÉÔØ	Z	-1.1	-1.1	0.0	0.0
114	1	¾û² ¼° ÉÔØ	Z	-1.1	-1.1	0.0	0.0
115	1	¾û² ¼° ÉÔØ	Z	-1.1	-1.1	0.0	0.0
116	1	¾û² ¼° ÉÔØ	Z	-1.1	-1.1	0.0	0.0
117	1	¾û² ¼° ÉÔØ	Z	-1.1	-1.1	0.0	0.0
118	1	¾û² ¼° ÉÔØ	Z	-1.1	-1.1	0.0	0.0
119	1	¾û² ¼° ÉÔØ	Z	-1.1	-1.1	0.0	0.0
120	1	¾û² ¼° ÉÔØ	Z	-1.1	-1.1	0.0	0.0
121	1	¾û² ¼° ÉÔØ	Z	-1.1	-1.1	0.0	0.0

		ÉÔØ					
143	1	Èý½ÇÐÎ° ÉÔØ	Z	-0.5	0.0	1.2	0.0
144	1	Èý½ÇÐÎ° ÉÔØ	Z	-0.2	0.0	1.5	0.0
144	1	Èý½ÇÐÎ° ÉÔØ	Z	-0.2	0.0	1.6	0.0
145	1	Èý½ÇÐÎ° ÉÔØ	Z	-0.9	0.0	2.5	0.0
145	1	Èý½ÇÐÎ° ÉÔØ	Z	-0.6	0.0	2.5	0.0
146	1	Èý½ÇÐÎ° ÉÔØ	Z	-1.1	0.0	2.9	0.0
146	1	Èý½ÇÐÎ° ÉÔØ	Z	-0.6	0.0	1.9	0.0
147	1	Èý½ÇÐÎ° ÉÔØ	Z	-0.9	0.0	2.5	0.0
147	1	Èý½ÇÐÎ° ÉÔØ	Z	-0.6	0.0	2.5	0.0
148	1	Èý½ÇÐÎ° ÉÔØ	Z	-1.1	0.0	2.9	0.0
148	1	Èý½ÇÐÎ° ÉÔØ	Z	-0.6	0.0	1.9	0.0
149	1	Èý½ÇÐÎ° ÉÔØ	Z	-0.1	0.0	0.8	0.0
150	1	Èý½ÇÐÎ° ÉÔØ	Z	-0.3	0.0	1.1	0.0
151	1	Èý½ÇÐÎ° ÉÔØ	Z	-0.6	0.0	2.0	0.0
152	1	Èý½ÇÐÎ° ÉÔØ	Z	-0.8	0.0	2.3	0.0
153	1	Èý½ÇÐÎ° ÉÔØ	Z	-0.6	0.0	1.9	0.0
154	1	Èý½ÇÐÎ° ÉÔØ	Z	-0.4	0.0	1.3	0.0
155	1	Èý½ÇÐÎ° ÉÔØ	Z	-0.2	0.0	0.8	0.0
156	1	Èý½ÇÐÎ° ÉÔØ	Z	-0.1	0.0	0.8	0.0
157	1	Èý½ÇÐÎ°	Z	-0.3	0.0	1.1	0.0

		ÉÔØ					
158	1	Èý½ÇÐÎ° ÉÔØ	Z	-0.6	0.0	2.0	0.0
159	1	Èý½ÇÐÎ° ÉÔØ	Z	-0.8	0.0	2.3	0.0
160	1	Èý½ÇÐÎ° ÉÔØ	Z	-0.6	0.0	1.9	0.0
161	1	Èý½ÇÐÎ° ÉÔØ	Z	-0.4	0.0	1.3	0.0
162	1	Èý½ÇÐÎ° ÉÔØ	Z	-0.2	0.0	0.8	0.0
163	1	¾û²¼°ÉÔØ	Z	-1.1	-1.1	0.0	0.0
164	1	¾û²¼°ÉÔØ	Z	-1.1	-1.1	0.0	0.0
165	1	¾û²¼°ÉÔØ	Z	-1.1	-1.1	0.0	0.0
166	1	¾û²¼°ÉÔØ	Z	-1.1	-1.1	0.0	0.0
167	1	¾û²¼°ÉÔØ	Z	-1.1	-1.1	0.0	0.0
168	1	¾û²¼°ÉÔØ	Z	-1.1	-1.1	0.0	0.0
169	1	¾û²¼°ÉÔØ	Z	-1.1	-1.1	0.0	0.0
170	1	¾û²¼°ÉÔØ	Z	-1.1	-1.1	0.0	0.0
171	1	¾û²¼°ÉÔØ	Z	-1.1	-1.1	0.0	0.0
172	1	¾û²¼°ÉÔØ	Z	-1.1	-1.1	0.0	0.0
173	1	¾û²¼°ÉÔØ	Z	-1.1	-1.1	0.0	0.0
174	1	¾û²¼°ÉÔØ	Z	-1.1	-1.1	0.0	0.0
175	1	¾û²¼°ÉÔØ	Z	-1.1	-1.1	0.0	0.0
176	1	¾û²¼°ÉÔØ	Z	-1.1	-1.1	0.0	0.0
177	1	Èý½ÇÐÎ° ÉÔØ	Z	-0.4	0.0	0.7	0.0
177	1	Èý½ÇÐÎ° ÉÔØ	Z	-0.6	0.0	0.7	0.0
178	1	Èý½ÇÐÎ° ÉÔØ	Z	-0.8	0.0	1.0	0.0
178	1	Èý½ÇÐÎ° ÉÔØ	Z	-0.7	0.0	0.7	0.0
179	1	Èý½ÇÐÎ° ÉÔØ	Z	-0.2	0.0	1.3	0.0
179	1	Èý½ÇÐÎ° ÉÔØ	Z	-0.2	0.0	1.5	0.0
180	1	Èý½ÇÐÎ° ÉÔØ	Z	-0.2	0.0	1.5	0.0
180	1	Èý½ÇÐÎ°	Z	-0.2	0.0	1.3	0.0

		ÉÔØ					
181	1	Èý½ÇÐÎ° ÉÔØ	Z	-0.6	0.0	0.7	0.0
181	1	Èý½ÇÐÎ° ÉÔØ	Z	-0.4	0.0	0.7	0.0
182	1	Èý½ÇÐÎ° ÉÔØ	Z	-0.8	0.0	1.0	0.0
182	1	Èý½ÇÐÎ° ÉÔØ	Z	-0.7	0.0	0.7	0.0
183	1	Èý½ÇÐÎ° ÉÔØ	Z	-0.2	0.0	1.3	0.0
183	1	Èý½ÇÐÎ° ÉÔØ	Z	-0.2	0.0	1.5	0.0
184	1	Èý½ÇÐÎ° ÉÔØ	Z	-0.2	0.0	1.5	0.0
184	1	Èý½ÇÐÎ° ÉÔØ	Z	-0.2	0.0	1.3	0.0
185	1	Èý½ÇÐÎ° ÉÔØ	Z	-0.3	0.0	0.9	0.0
185	1	Èý½ÇÐÎ° ÉÔØ	Z	-0.3	0.0	0.6	0.0
186	1	Èý½ÇÐÎ° ÉÔØ	Z	-0.3	0.0	0.8	0.0
186	1	Èý½ÇÐÎ° ÉÔØ	Z	-0.3	0.0	1.1	0.0
187	1	Èý½ÇÐÎ° ÉÔØ	Z	-0.3	0.0	0.9	0.0
187	1	Èý½ÇÐÎ° ÉÔØ	Z	-0.3	0.0	0.6	0.0
188	1	Èý½ÇÐÎ° ÉÔØ	Z	-0.3	0.0	0.8	0.0
188	1	Èý½ÇÐÎ° ÉÔØ	Z	-0.3	0.0	1.1	0.0
189	1	Èý½ÇÐÎ° ÉÔØ	Z	-0.4	0.0	1.2	0.0
189	1	Èý½ÇÐÎ° ÉÔØ	Z	-0.4	0.0	1.2	0.0
190	1	Èý½ÇÐÎ° ÉÔØ	Z	-0.3	0.0	1.3	0.0
190	1	Èý½ÇÐÎ°	Z	-0.4	0.0	1.7	0.0

		ÉÔØ					
191	1	Èý½ÇÐÎ° ÉÔØ	Z	-0.4	0.0	1.2	0.0
191	1	Èý½ÇÐÎ° ÉÔØ	Z	-0.4	0.0	1.2	0.0
192	1	Èý½ÇÐÎ° ÉÔØ	Z	-0.3	0.0	1.3	0.0
192	1	Èý½ÇÐÎ° ÉÔØ	Z	-0.4	0.0	1.7	0.0
210	1	Èý½ÇÐÎ° ÉÔØ	Z	-0.9	0.0	1.1	0.0
211	1	Èý½ÇÐÎ° ÉÔØ	Z	-1.9	0.0	1.2	0.0
212	1	Èý½ÇÐÎ° ÉÔØ	Z	-1.3	0.0	1.2	0.0
213	1	Èý½ÇÐÎ° ÉÔØ	Z	-0.3	0.0	1.3	0.0
214	1	Èý½ÇÐÎ° ÉÔØ	Z	-0.3	0.0	0.5	0.0
215	1	Èý½ÇÐÎ° ÉÔØ	Z	-0.9	0.0	1.1	0.0
216	1	Èý½ÇÐÎ° ÉÔØ	Z	-1.9	0.0	1.2	0.0
217	1	Èý½ÇÐÎ° ÉÔØ	Z	-1.3	0.0	1.2	0.0
218	1	Èý½ÇÐÎ° ÉÔØ	Z	-0.3	0.0	1.3	0.0
219	1	Èý½ÇÐÎ° ÉÔØ	Z	-0.3	0.0	0.5	0.0

μÚ 2 ' Ω¿öμ¥Øª°ÉÔØ±1

单元号	工况号	类型	方向	Q1	Q2	X1	X2
3	2	¾û²¼°ÉÔØ	X	0.2	0.2	0.0	0.0
4	2	¾û²¼°ÉÔØ	X	0.2	0.2	0.0	0.0
5	2	¾û²¼°ÉÔØ	X	0.2	0.2	0.0	0.0
6	2	¾û²¼°ÉÔØ	X	0.2	0.2	0.0	0.0
7	2	¾û²¼°ÉÔØ	X	0.2	0.2	0.0	0.0
8	2	¾û²¼°ÉÔØ	X	0.2	0.2	0.0	0.0
9	2	¾û²¼°ÉÔØ	X	0.2	0.2	0.0	0.0
10	2	¾û²¼°ÉÔØ	X	0.2	0.2	0.0	0.0

198	2	$\frac{3}{4}u^2 \frac{1}{4}v^0 \dot{E}\dot{O}\dot{\theta}$	X	0.2	0.2	0.0	0.0
199	2	$\frac{3}{4}u^2 \frac{1}{4}v^0 \dot{E}\dot{O}\dot{\theta}$	X	0.2	0.2	0.0	0.0
200	2	$\frac{3}{4}u^2 \frac{1}{4}v^0 \dot{E}\dot{O}\dot{\theta}$	X	0.2	0.2	0.0	0.0
201	2	$\frac{3}{4}u^2 \frac{1}{4}v^0 \dot{E}\dot{O}\dot{\theta}$	X	0.2	0.2	0.0	0.0
202	2	$\frac{3}{4}u^2 \frac{1}{4}v^0 \dot{E}\dot{O}\dot{\theta}$	X	0.2	0.2	0.0	0.0
203	2	$\frac{3}{4}u^2 \frac{1}{4}v^0 \dot{E}\dot{O}\dot{\theta}$	X	0.2	0.2	0.0	0.0
204	2	$\frac{3}{4}u^2 \frac{1}{4}v^0 \dot{E}\dot{O}\dot{\theta}$	X	0.2	0.2	0.0	0.0
205	2	$\frac{3}{4}u^2 \frac{1}{4}v^0 \dot{E}\dot{O}\dot{\theta}$	X	0.2	0.2	0.0	0.0
206	2	$\frac{3}{4}u^2 \frac{1}{4}v^0 \dot{E}\dot{O}\dot{\theta}$	X	0.2	0.2	0.0	0.0
207	2	$\frac{3}{4}u^2 \frac{1}{4}v^0 \dot{E}\dot{O}\dot{\theta}$	X	0.2	0.2	0.0	0.0
208	2	$\frac{3}{4}u^2 \frac{1}{4}v^0 \dot{E}\dot{O}\dot{\theta}$	X	0.2	0.2	0.0	0.0
209	2	$\frac{3}{4}u^2 \frac{1}{4}v^0 \dot{E}\dot{O}\dot{\theta}$	X	0.2	0.2	0.0	0.0
220	2	$\frac{3}{4}u^2 \frac{1}{4}v^0 \dot{E}\dot{O}\dot{\theta}$	X	0.2	0.2	0.0	0.0
221	2	$\frac{3}{4}u^2 \frac{1}{4}v^0 \dot{E}\dot{O}\dot{\theta}$	X	0.2	0.2	0.0	0.0
222	2	$\frac{3}{4}u^2 \frac{1}{4}v^0 \dot{E}\dot{O}\dot{\theta}$	X	0.2	0.2	0.0	0.0

μύ 3 ' Ωιöμ¶θ^a°ÉÔθ±1

单元号	工况号	类型	方向	Q1	Q2	X1	X2
3	3	$\frac{3}{4}u^2 \frac{1}{4}v^0 \dot{E}\dot{O}\dot{\theta}$	X	-0.2	-0.2	0.0	0.0
4	3	$\frac{3}{4}u^2 \frac{1}{4}v^0 \dot{E}\dot{O}\dot{\theta}$	X	-0.2	-0.2	0.0	0.0
5	3	$\frac{3}{4}u^2 \frac{1}{4}v^0 \dot{E}\dot{O}\dot{\theta}$	X	-0.2	-0.2	0.0	0.0
6	3	$\frac{3}{4}u^2 \frac{1}{4}v^0 \dot{E}\dot{O}\dot{\theta}$	X	-0.2	-0.2	0.0	0.0
7	3	$\frac{3}{4}u^2 \frac{1}{4}v^0 \dot{E}\dot{O}\dot{\theta}$	X	-0.2	-0.2	0.0	0.0
8	3	$\frac{3}{4}u^2 \frac{1}{4}v^0 \dot{E}\dot{O}\dot{\theta}$	X	-0.2	-0.2	0.0	0.0
9	3	$\frac{3}{4}u^2 \frac{1}{4}v^0 \dot{E}\dot{O}\dot{\theta}$	X	-0.2	-0.2	0.0	0.0
10	3	$\frac{3}{4}u^2 \frac{1}{4}v^0 \dot{E}\dot{O}\dot{\theta}$	X	-0.2	-0.2	0.0	0.0
11	3	$\frac{3}{4}u^2 \frac{1}{4}v^0 \dot{E}\dot{O}\dot{\theta}$	X	-0.2	-0.2	0.0	0.0
13	3	$\frac{3}{4}u^2 \frac{1}{4}v^0 \dot{E}\dot{O}\dot{\theta}$	X	-0.2	-0.2	0.0	0.0
15	3	$\frac{3}{4}u^2 \frac{1}{4}v^0 \dot{E}\dot{O}\dot{\theta}$	X	-0.2	-0.2	0.0	0.0
28	3	$\frac{3}{4}u^2 \frac{1}{4}v^0 \dot{E}\dot{O}\dot{\theta}$	X	-0.2	-0.2	0.0	0.0
29	3	$\frac{3}{4}u^2 \frac{1}{4}v^0 \dot{E}\dot{O}\dot{\theta}$	X	-0.2	-0.2	0.0	0.0
30	3	$\frac{3}{4}u^2 \frac{1}{4}v^0 \dot{E}\dot{O}\dot{\theta}$	X	-0.2	-0.2	0.0	0.0
31	3	$\frac{3}{4}u^2 \frac{1}{4}v^0 \dot{E}\dot{O}\dot{\theta}$	X	-0.2	-0.2	0.0	0.0
32	3	$\frac{3}{4}u^2 \frac{1}{4}v^0 \dot{E}\dot{O}\dot{\theta}$	X	-0.2	-0.2	0.0	0.0
33	3	$\frac{3}{4}u^2 \frac{1}{4}v^0 \dot{E}\dot{O}\dot{\theta}$	X	-0.2	-0.2	0.0	0.0
34	3	$\frac{3}{4}u^2 \frac{1}{4}v^0 \dot{E}\dot{O}\dot{\theta}$	X	-0.2	-0.2	0.0	0.0
35	3	$\frac{3}{4}u^2 \frac{1}{4}v^0 \dot{E}\dot{O}\dot{\theta}$	X	-0.2	-0.2	0.0	0.0
37	3	$\frac{3}{4}u^2 \frac{1}{4}v^0 \dot{E}\dot{O}\dot{\theta}$	X	-0.2	-0.2	0.0	0.0
38	3	$\frac{3}{4}u^2 \frac{1}{4}v^0 \dot{E}\dot{O}\dot{\theta}$	X	-0.2	-0.2	0.0	0.0

204	4	$\frac{3}{4}u^2 \frac{1}{4}v^0 \dot{E}\dot{O}\dot{\theta}$	Y	0.2	0.2	0.0	0.0
205	4	$\frac{3}{4}u^2 \frac{1}{4}v^0 \dot{E}\dot{O}\dot{\theta}$	Y	0.2	0.2	0.0	0.0
206	4	$\frac{3}{4}u^2 \frac{1}{4}v^0 \dot{E}\dot{O}\dot{\theta}$	Y	0.2	0.2	0.0	0.0
207	4	$\frac{3}{4}u^2 \frac{1}{4}v^0 \dot{E}\dot{O}\dot{\theta}$	Y	0.2	0.2	0.0	0.0
208	4	$\frac{3}{4}u^2 \frac{1}{4}v^0 \dot{E}\dot{O}\dot{\theta}$	Y	0.2	0.2	0.0	0.0
209	4	$\frac{3}{4}u^2 \frac{1}{4}v^0 \dot{E}\dot{O}\dot{\theta}$	Y	0.2	0.2	0.0	0.0
220	4	$\frac{3}{4}u^2 \frac{1}{4}v^0 \dot{E}\dot{O}\dot{\theta}$	Y	0.2	0.2	0.0	0.0
221	4	$\frac{3}{4}u^2 \frac{1}{4}v^0 \dot{E}\dot{O}\dot{\theta}$	Y	0.2	0.2	0.0	0.0
222	4	$\frac{3}{4}u^2 \frac{1}{4}v^0 \dot{E}\dot{O}\dot{\theta}$	Y	0.2	0.2	0.0	0.0

μÚ 5 ' QΔöμΥθ^a°ÉÔθ±i

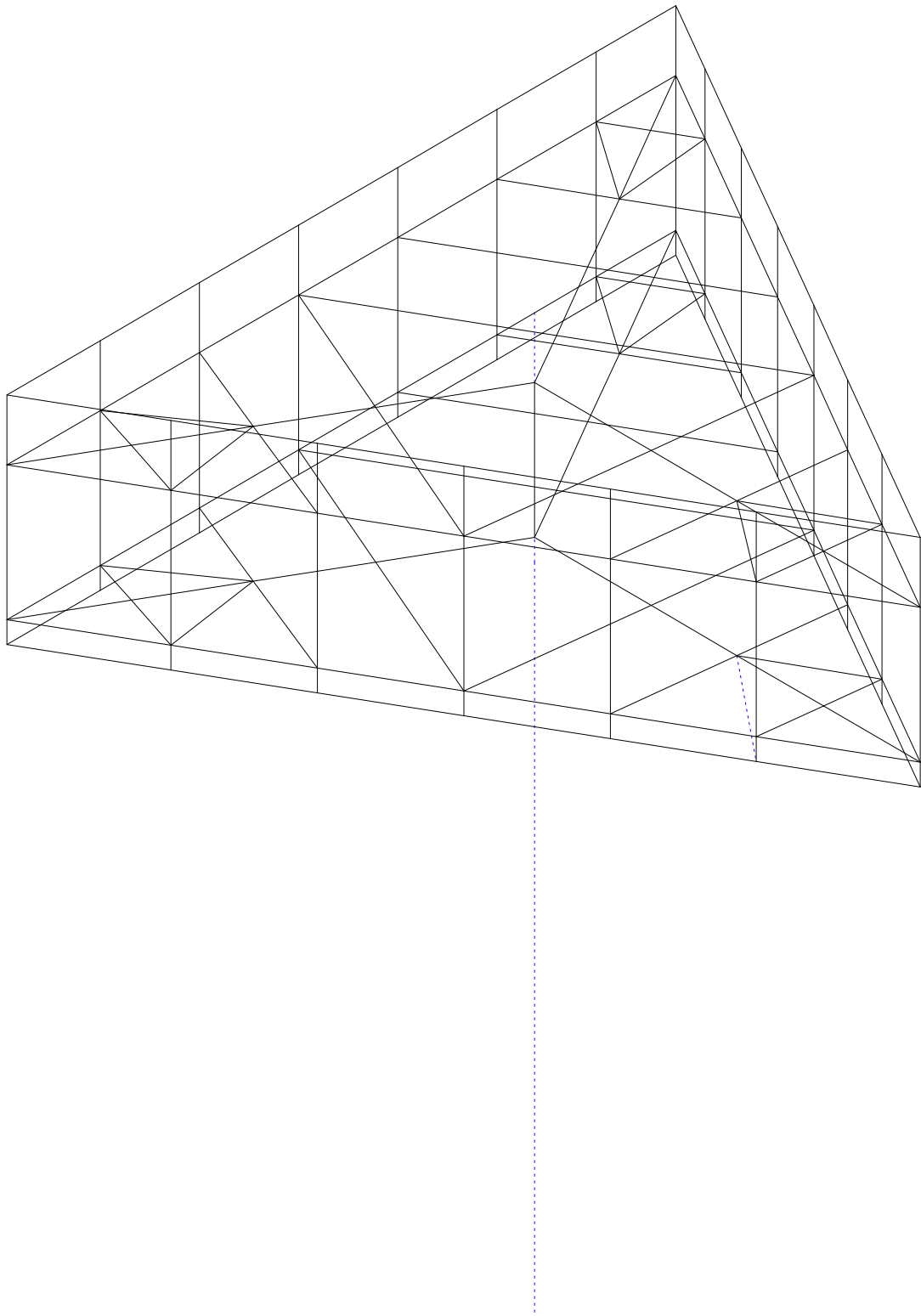
单元号	工况号	类型	方向	Q1	Q2	X1	X2
3	5	$\frac{3}{4}u^2 \frac{1}{4}v^0 \dot{E}\dot{O}\dot{\theta}$	Y	-0.2	-0.2	0.0	0.0
4	5	$\frac{3}{4}u^2 \frac{1}{4}v^0 \dot{E}\dot{O}\dot{\theta}$	Y	-0.2	-0.2	0.0	0.0
5	5	$\frac{3}{4}u^2 \frac{1}{4}v^0 \dot{E}\dot{O}\dot{\theta}$	Y	-0.2	-0.2	0.0	0.0
6	5	$\frac{3}{4}u^2 \frac{1}{4}v^0 \dot{E}\dot{O}\dot{\theta}$	Y	-0.2	-0.2	0.0	0.0
7	5	$\frac{3}{4}u^2 \frac{1}{4}v^0 \dot{E}\dot{O}\dot{\theta}$	Y	-0.2	-0.2	0.0	0.0
8	5	$\frac{3}{4}u^2 \frac{1}{4}v^0 \dot{E}\dot{O}\dot{\theta}$	Y	-0.2	-0.2	0.0	0.0
9	5	$\frac{3}{4}u^2 \frac{1}{4}v^0 \dot{E}\dot{O}\dot{\theta}$	Y	-0.2	-0.2	0.0	0.0
10	5	$\frac{3}{4}u^2 \frac{1}{4}v^0 \dot{E}\dot{O}\dot{\theta}$	Y	-0.2	-0.2	0.0	0.0
11	5	$\frac{3}{4}u^2 \frac{1}{4}v^0 \dot{E}\dot{O}\dot{\theta}$	Y	-0.2	-0.2	0.0	0.0
13	5	$\frac{3}{4}u^2 \frac{1}{4}v^0 \dot{E}\dot{O}\dot{\theta}$	Y	-0.2	-0.2	0.0	0.0
15	5	$\frac{3}{4}u^2 \frac{1}{4}v^0 \dot{E}\dot{O}\dot{\theta}$	Y	-0.2	-0.2	0.0	0.0
30	5	$\frac{3}{4}u^2 \frac{1}{4}v^0 \dot{E}\dot{O}\dot{\theta}$	Y	-0.2	-0.2	0.0	0.0
31	5	$\frac{3}{4}u^2 \frac{1}{4}v^0 \dot{E}\dot{O}\dot{\theta}$	Y	-0.2	-0.2	0.0	0.0
32	5	$\frac{3}{4}u^2 \frac{1}{4}v^0 \dot{E}\dot{O}\dot{\theta}$	Y	-0.2	-0.2	0.0	0.0
33	5	$\frac{3}{4}u^2 \frac{1}{4}v^0 \dot{E}\dot{O}\dot{\theta}$	Y	-0.2	-0.2	0.0	0.0
34	5	$\frac{3}{4}u^2 \frac{1}{4}v^0 \dot{E}\dot{O}\dot{\theta}$	Y	-0.2	-0.2	0.0	0.0
37	5	$\frac{3}{4}u^2 \frac{1}{4}v^0 \dot{E}\dot{O}\dot{\theta}$	Y	-0.2	-0.2	0.0	0.0
38	5	$\frac{3}{4}u^2 \frac{1}{4}v^0 \dot{E}\dot{O}\dot{\theta}$	Y	-0.2	-0.2	0.0	0.0
39	5	$\frac{3}{4}u^2 \frac{1}{4}v^0 \dot{E}\dot{O}\dot{\theta}$	Y	-0.2	-0.2	0.0	0.0
40	5	$\frac{3}{4}u^2 \frac{1}{4}v^0 \dot{E}\dot{O}\dot{\theta}$	Y	-0.2	-0.2	0.0	0.0
41	5	$\frac{3}{4}u^2 \frac{1}{4}v^0 \dot{E}\dot{O}\dot{\theta}$	Y	-0.2	-0.2	0.0	0.0
42	5	$\frac{3}{4}u^2 \frac{1}{4}v^0 \dot{E}\dot{O}\dot{\theta}$	Y	-0.2	-0.2	0.0	0.0
43	5	$\frac{3}{4}u^2 \frac{1}{4}v^0 \dot{E}\dot{O}\dot{\theta}$	Y	-0.2	-0.2	0.0	0.0
44	5	$\frac{3}{4}u^2 \frac{1}{4}v^0 \dot{E}\dot{O}\dot{\theta}$	Y	-0.2	-0.2	0.0	0.0
45	5	$\frac{3}{4}u^2 \frac{1}{4}v^0 \dot{E}\dot{O}\dot{\theta}$	Y	-0.2	-0.2	0.0	0.0
46	5	$\frac{3}{4}u^2 \frac{1}{4}v^0 \dot{E}\dot{O}\dot{\theta}$	Y	-0.2	-0.2	0.0	0.0
47	5	$\frac{3}{4}u^2 \frac{1}{4}v^0 \dot{E}\dot{O}\dot{\theta}$	Y	-0.2	-0.2	0.0	0.0

(1). 工况号: 0

*输入的面荷载:

序号	荷载类型	导荷方式	体形系数	面荷载值 (基本风压)
1	°ã00	Ë«Ïò, È¼p	--	0.45

面荷载分布图:



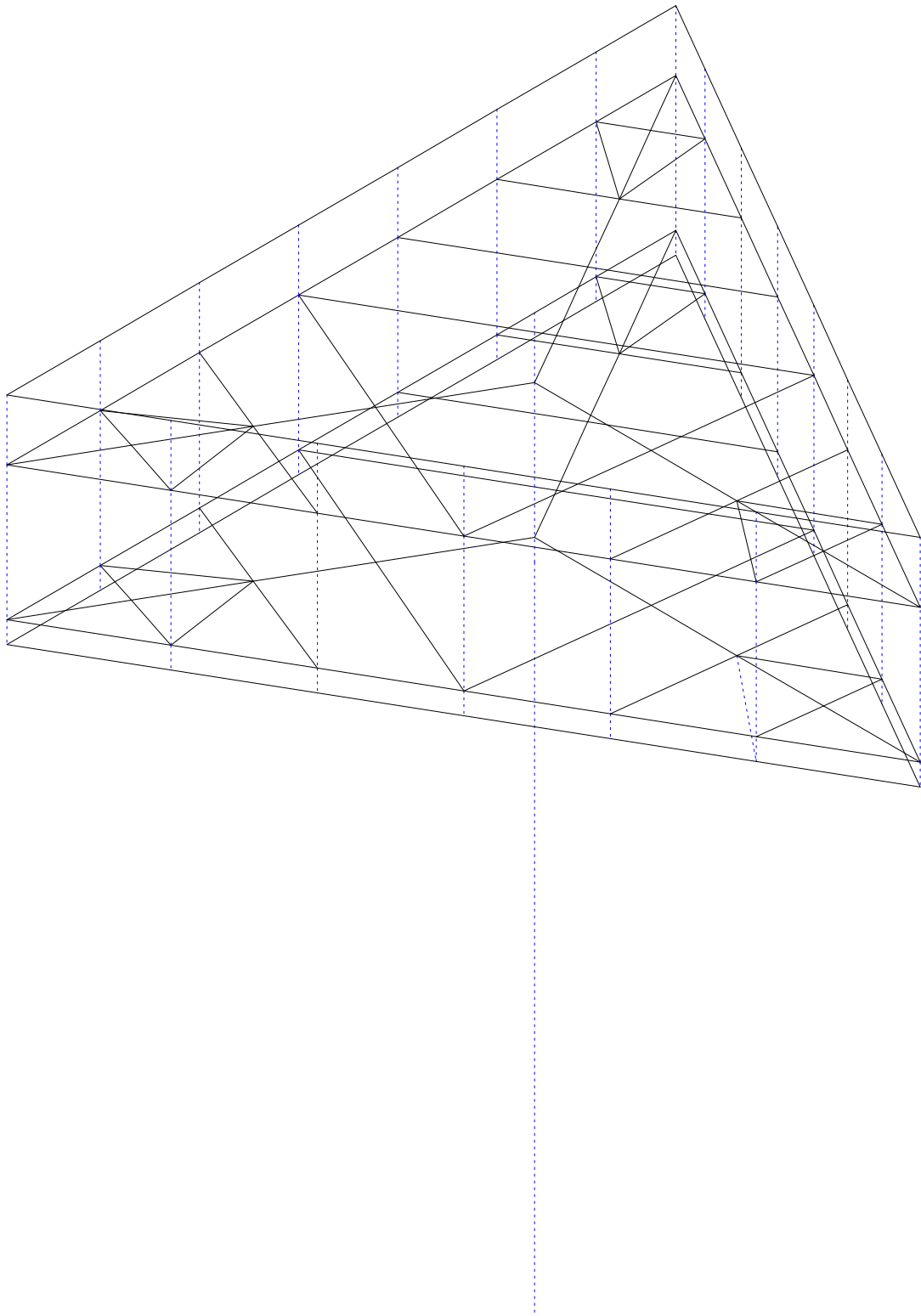
面荷载序号1分布图（实线表示荷载分配到的单元）

(2). 工况号: 1

*输入的面荷载:

序号	荷载类型	导荷方式	体形系数	面荷载值 (基本风压)
1	»î00	Ë«Ïð, Ë¼p	--	0.5

面荷载分布图:



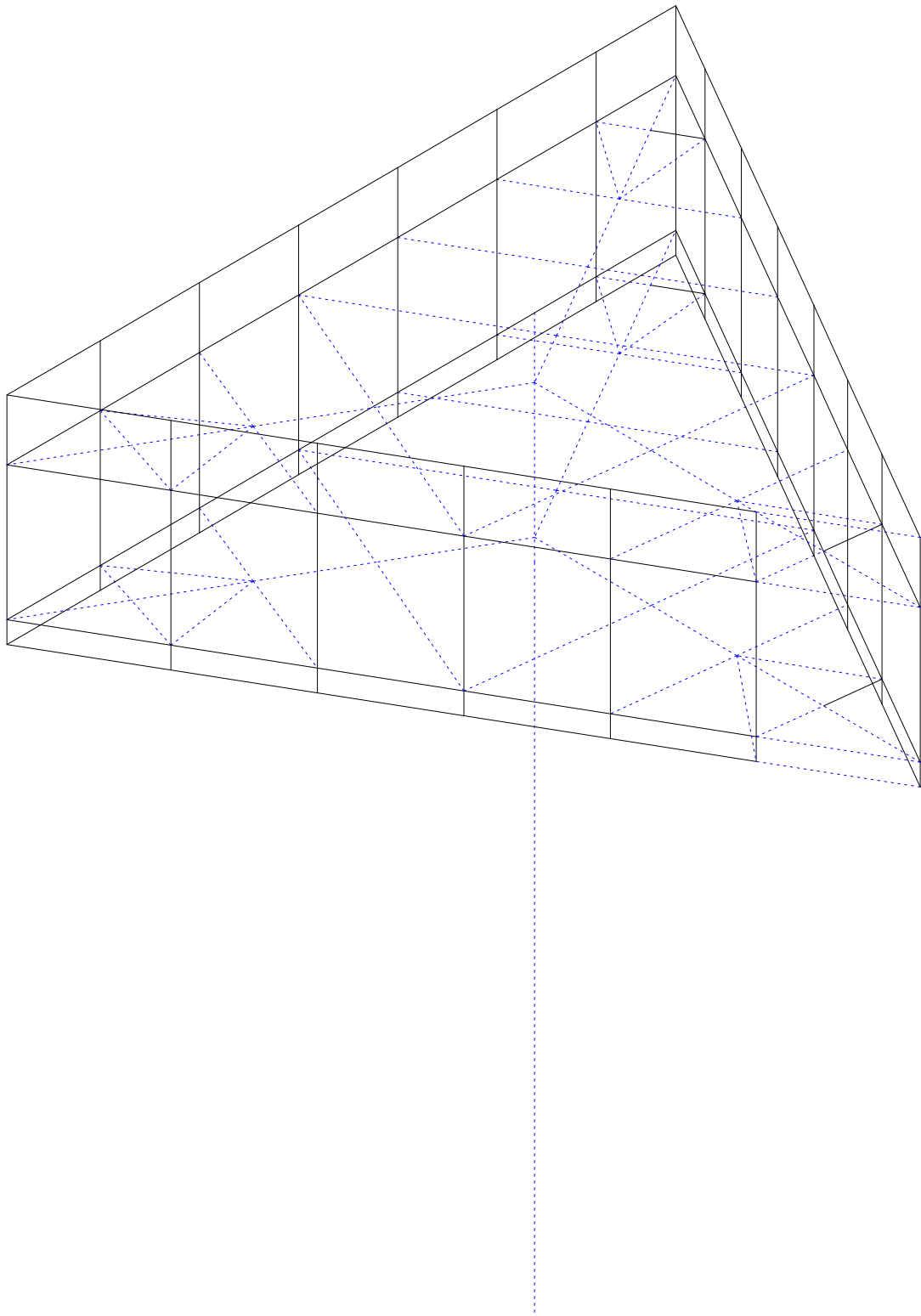
面荷载序号1分布图（实线表示荷载分配到的单元）

(3). 工况号: 2

*输入荷载库中的荷载:

序号	类型	方向	Q1 (kN)	Q2 (kN. m)	X1 (mm)	X2 (mm)
1	•Ö²¼°ÉÔØ	X	1.45	1.45	0.0	0.0

单元荷载分布图:



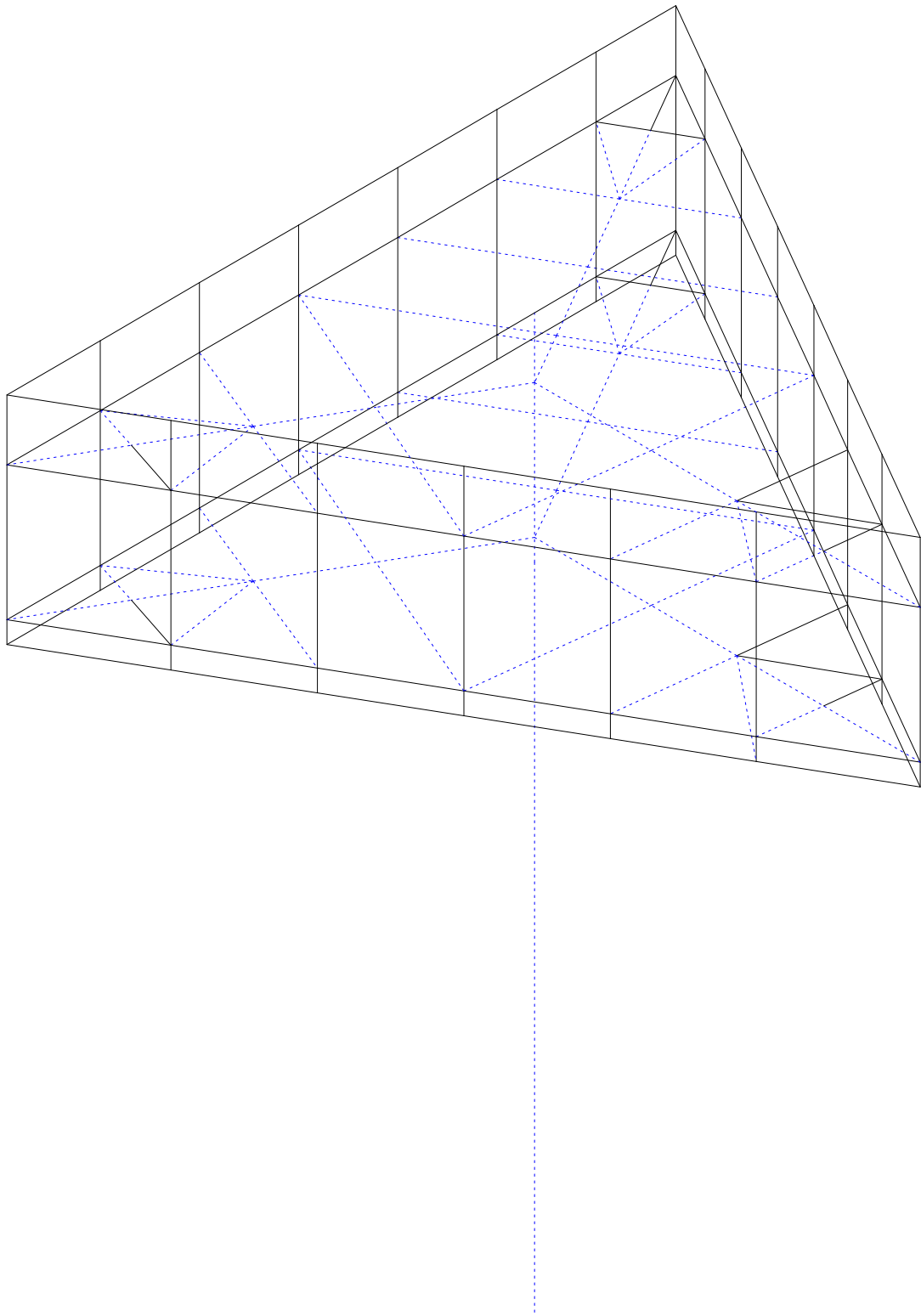
单元荷载序号1分布图（实线表示荷载作用的单元）

(4). 工况号: 3

*输入荷载库中的荷载:

序号	类型	方向	Q1 (kN)	Q2 (kN. m)	X1 (mm)	X2 (mm)
1	•Ö²¼°ÉÔØ	X	-1.42	-1.42	0.0	0.0

单元荷载分布图:



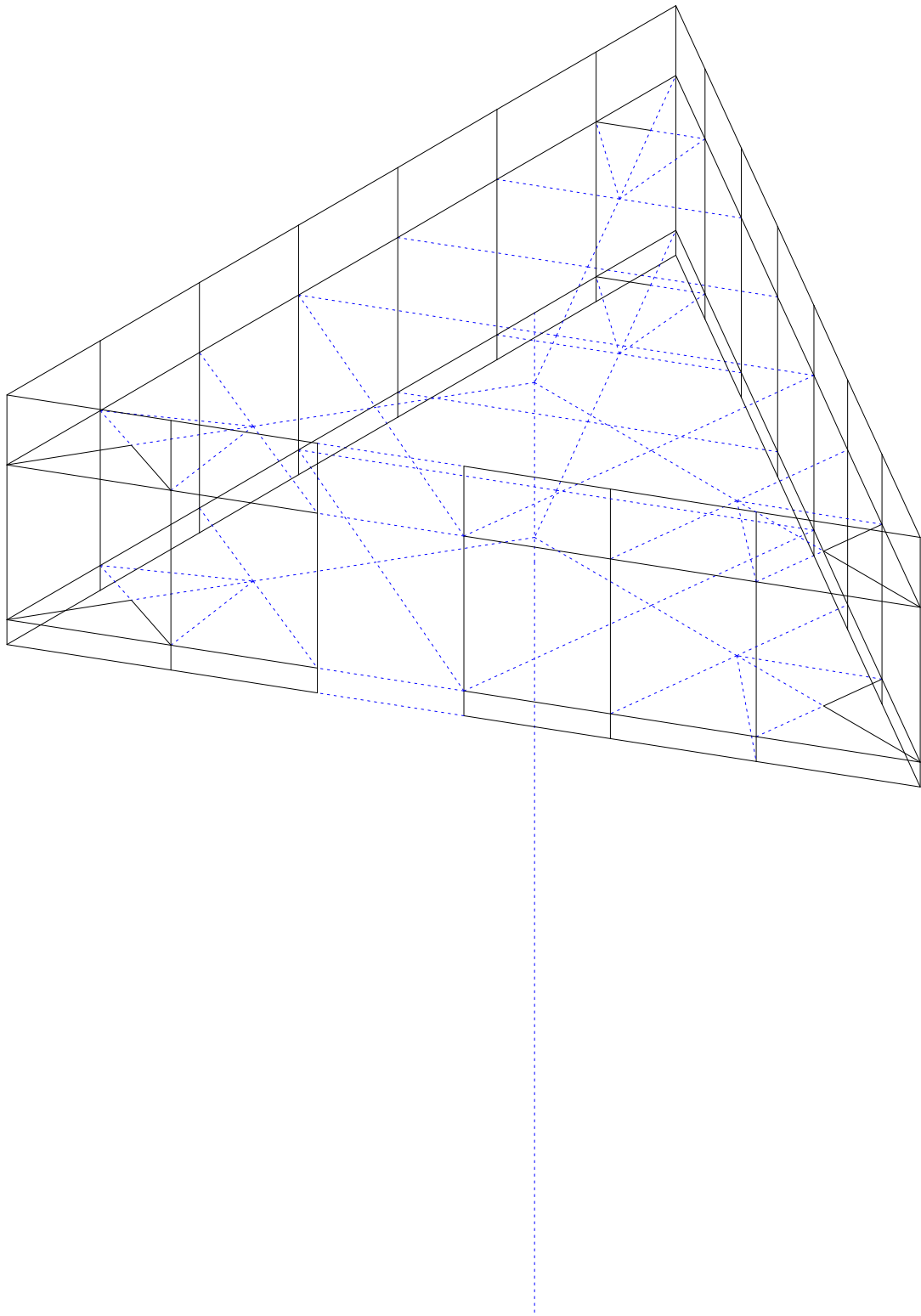
单元荷载序号1分布图（实线表示荷载作用的单元）

(5). 工况号: 4

*输入荷载库中的荷载:

序号	类型	方向	Q1 (kN)	Q2 (kN. m)	X1 (mm)	X2 (mm)
1	•Ö²¼°ÉÔØ	Y	1.42	1.42	0.0	0.0

单元荷载分布图:



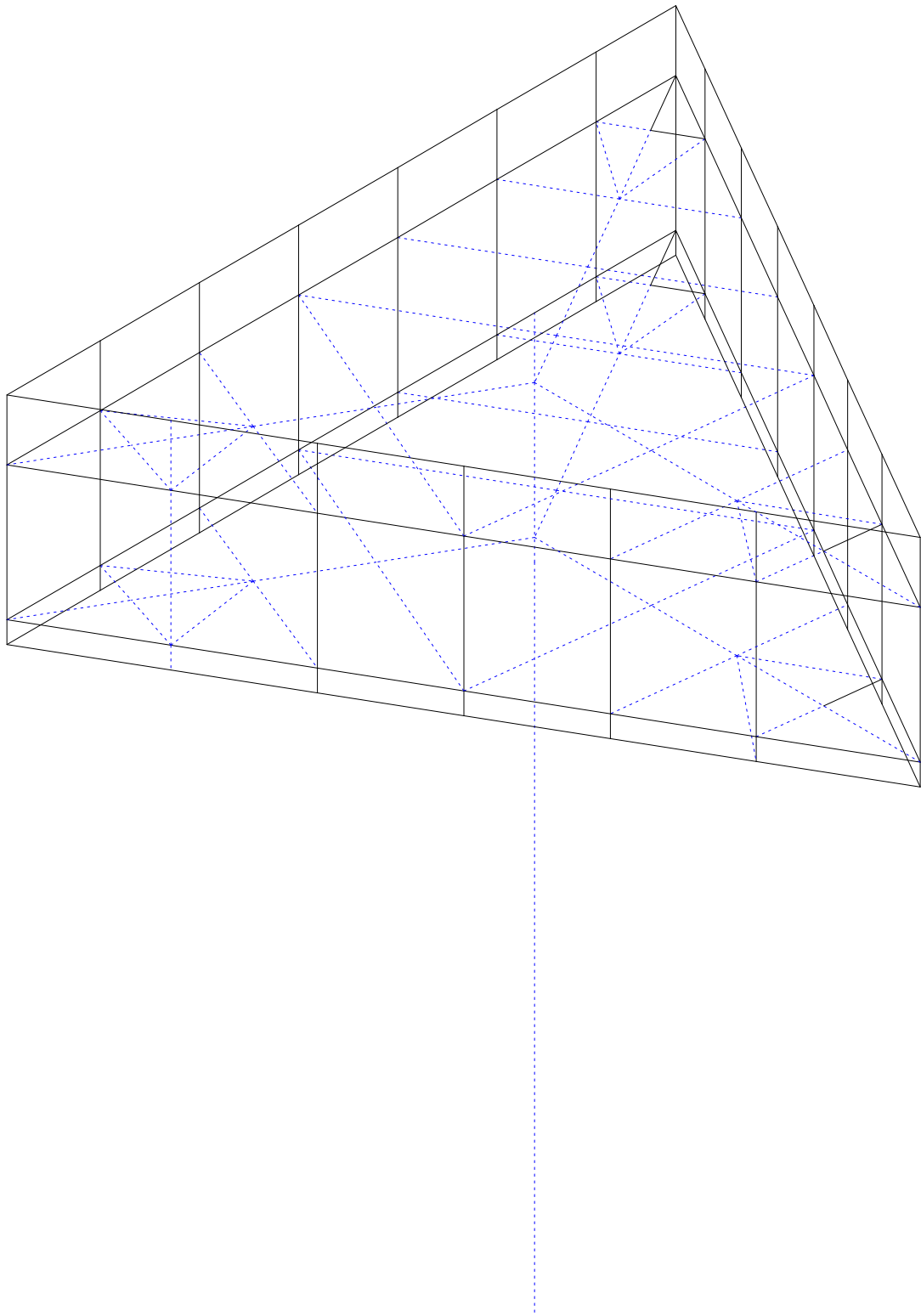
单元荷载序号1分布图（实线表示荷载作用的单元）

(6). 工况号: 5

*输入荷载库中的荷载:

序号	类型	方向	Q1 (kN)	Q2 (kN. m)	X1 (mm)	X2 (mm)
1	•Ö²¼°ÉÔØ	Y	-1.42	-1.42	0.0	0.0

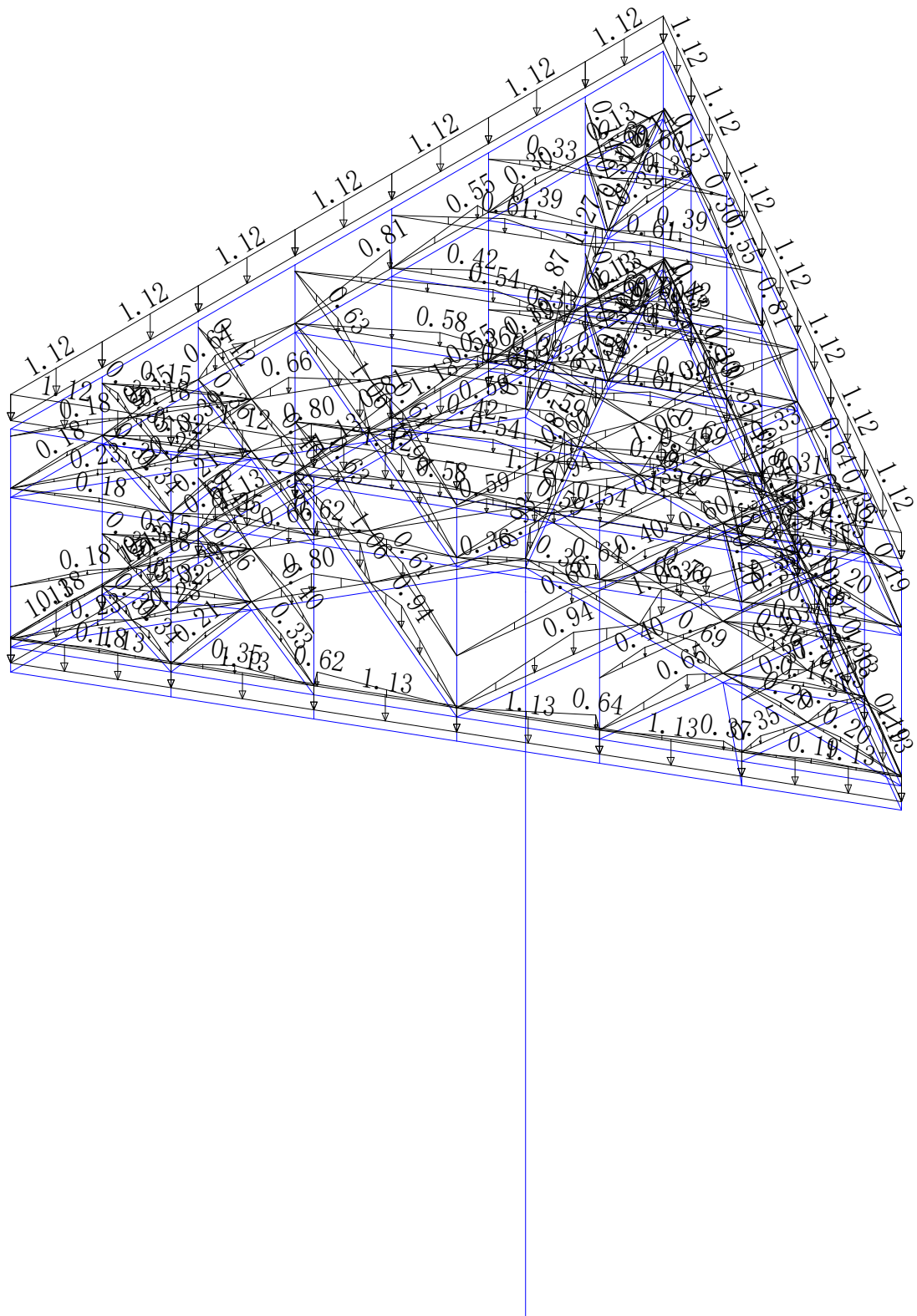
单元荷载分布图:



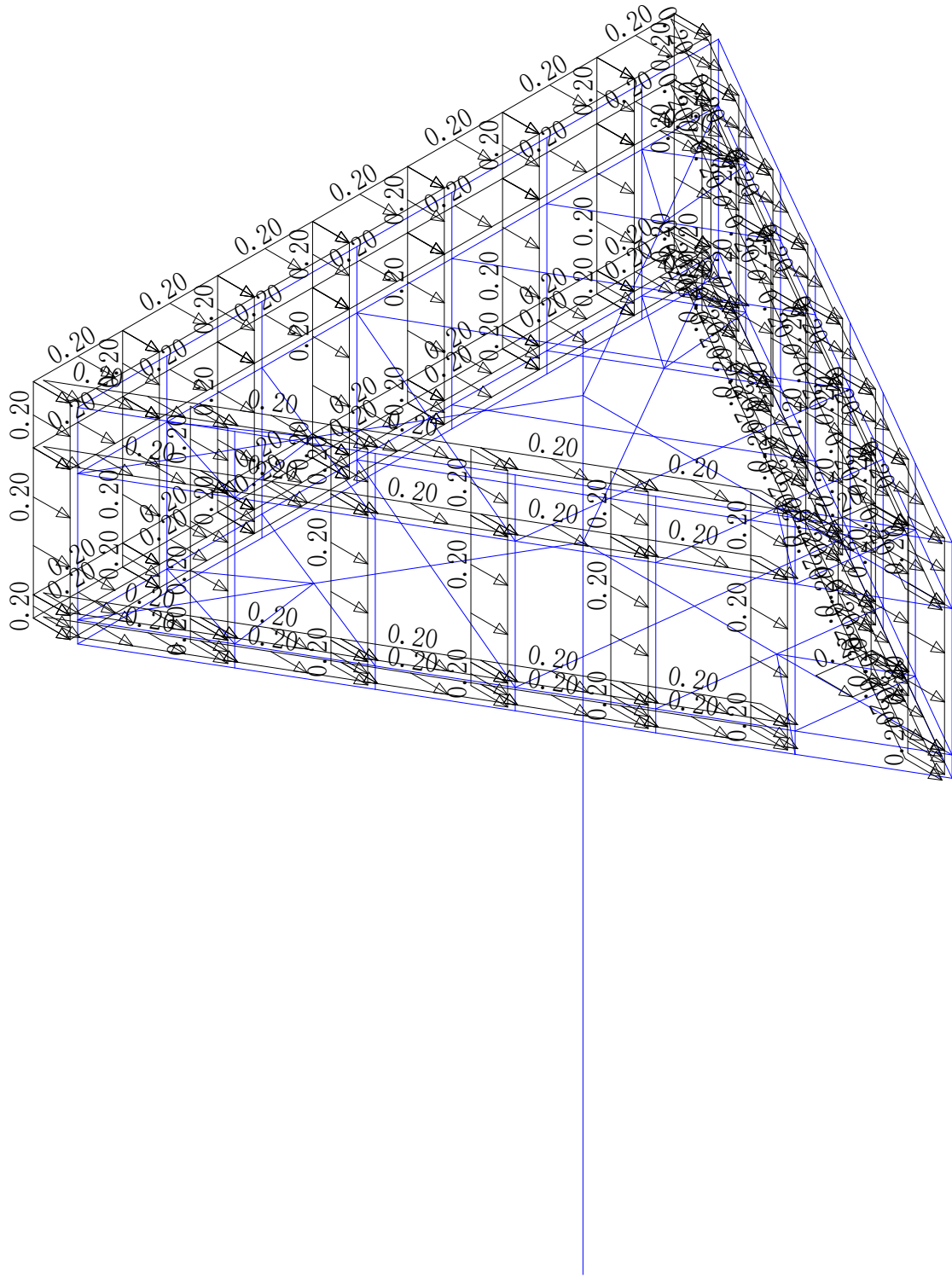
单元荷载序号1分布图（实线表示荷载作用的单元）

**以下为单元荷载图:

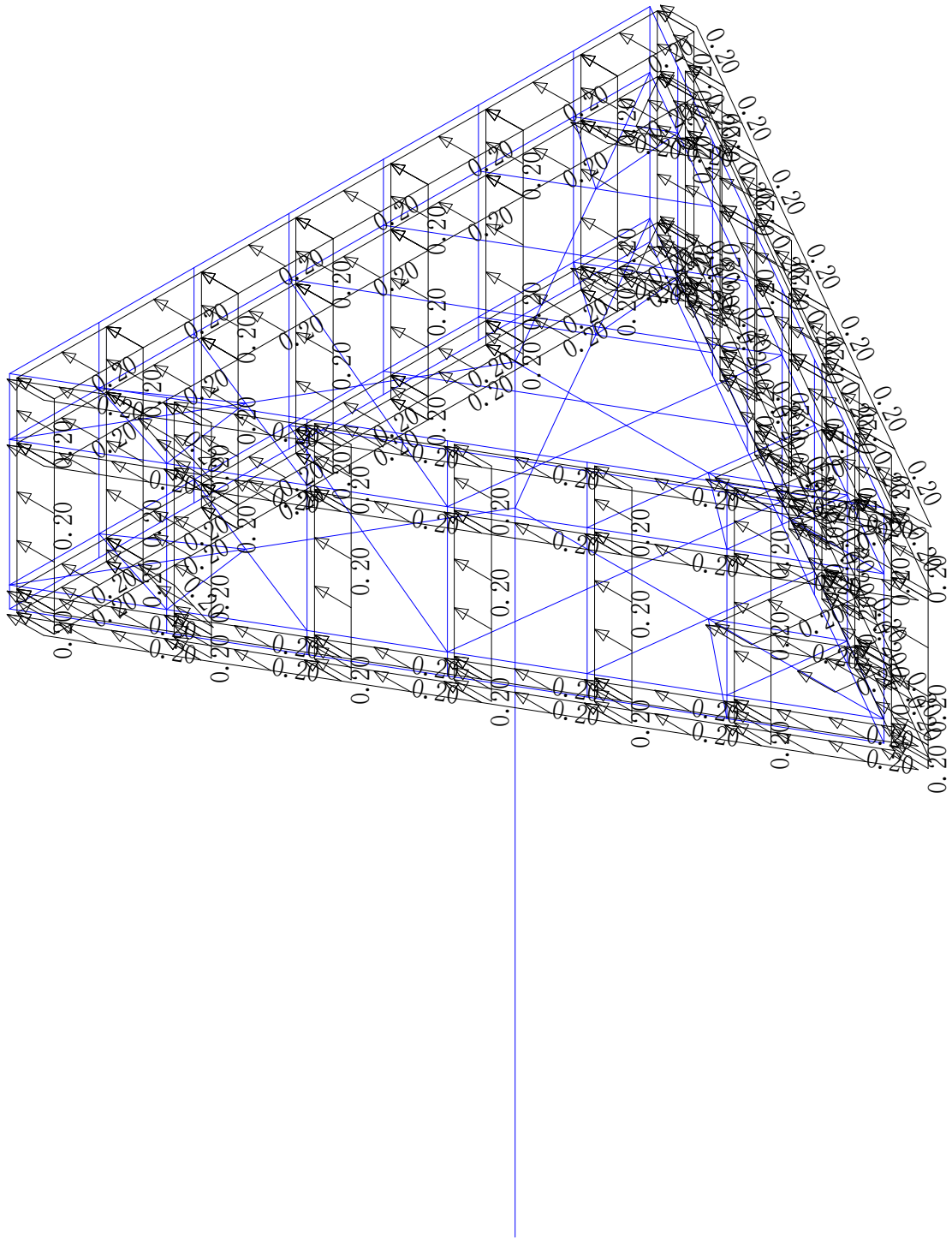
单位: 力(kN); 分布力(kN/m); 弯距(kN. m); 分布弯距(kN. m/m)



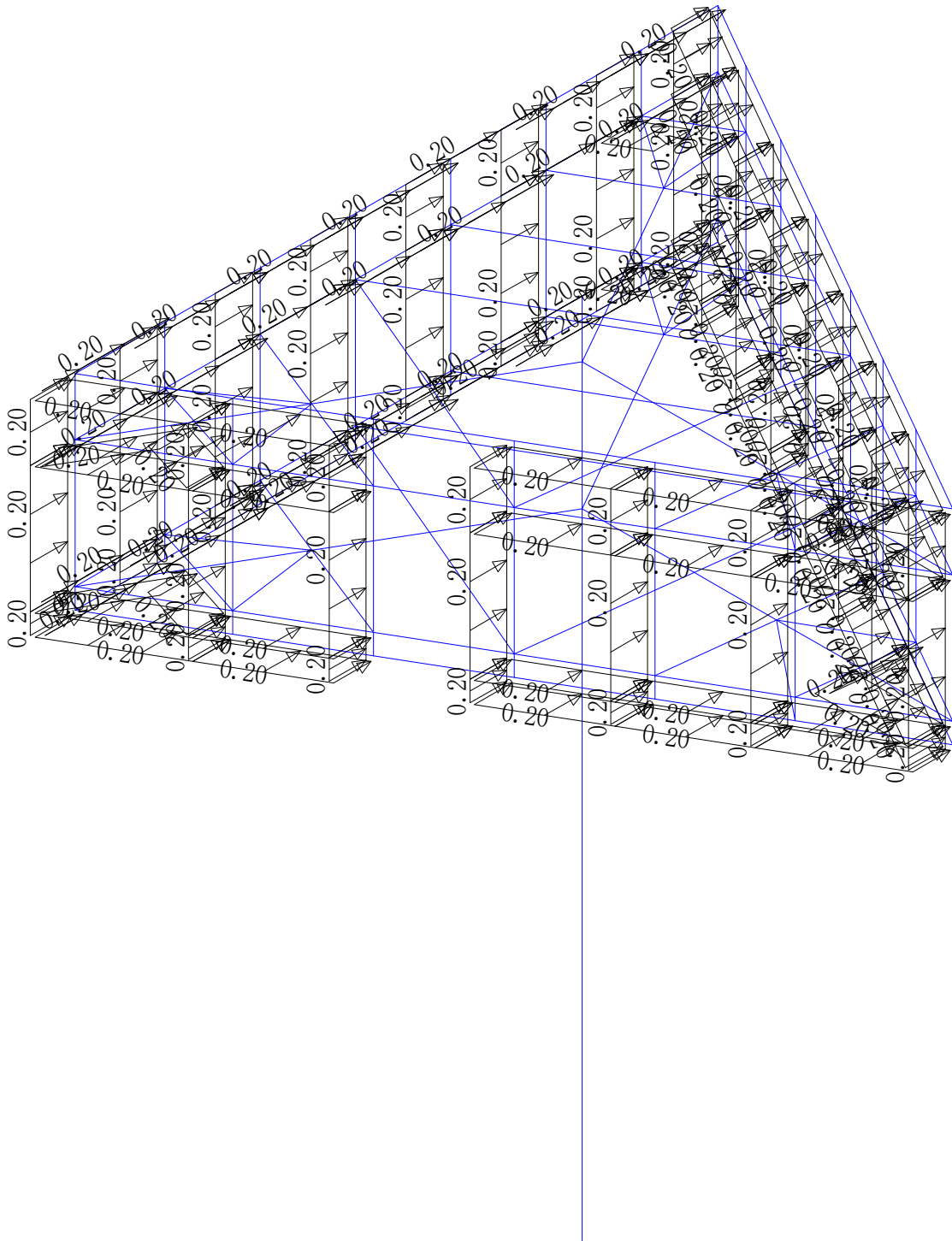
μύ 1 ' ΩιöμΨ0^a °É00%οί¼



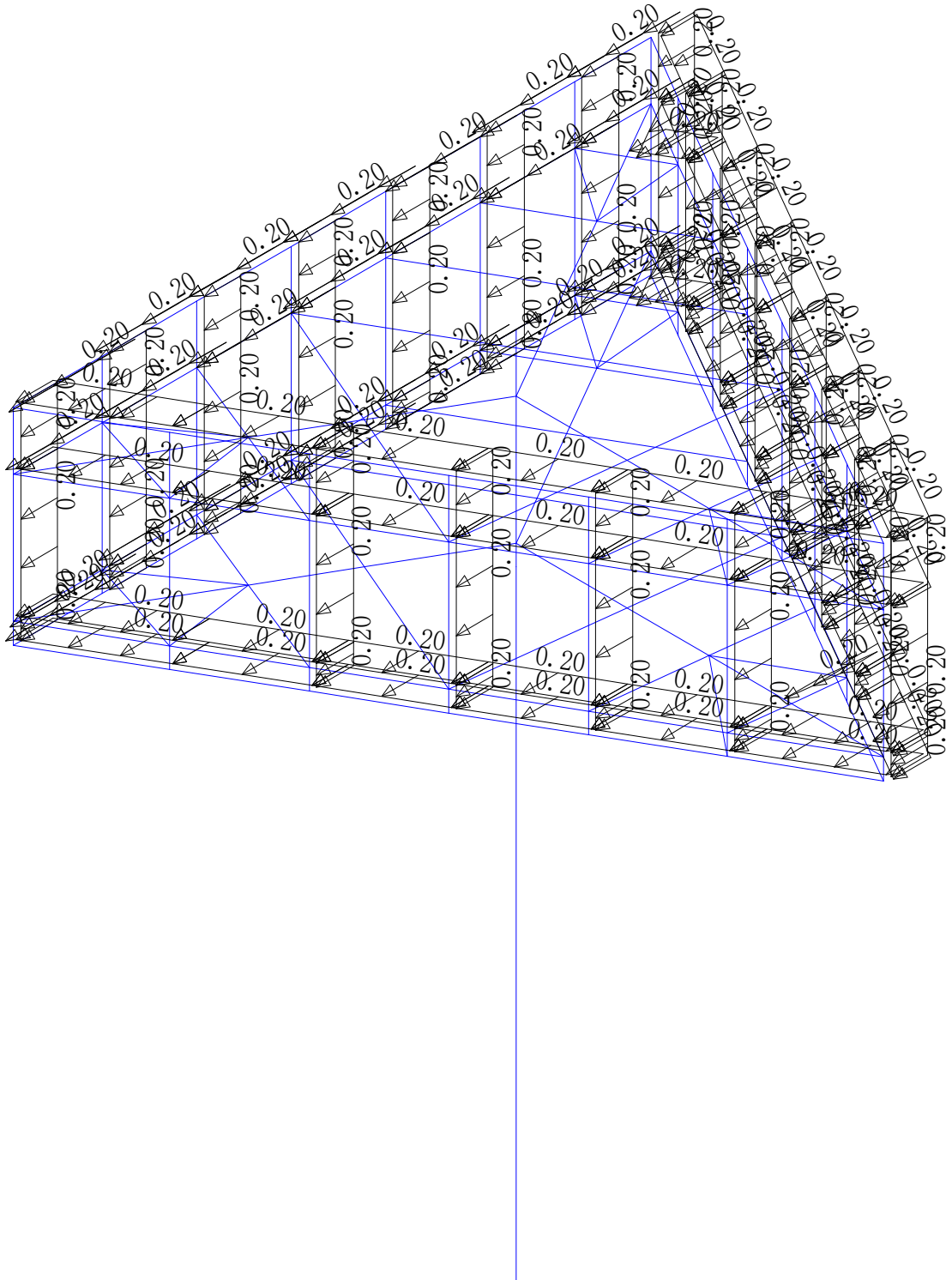
μύ 2 ' ΩζöμΨθ^a°Éθθ%δί¼



μύ 3¹ Ωζöμψθ^a ° Éθθ%δóÍ¼



μύ 4 ' ΩζιöμΨôª °ÉÔØ%òÍ¼



μύ 5¹ Ωιöμϕθ^a °Éθθ%òÍ¼

(二). 其它荷载信息

(三). 荷载组合

- (1) $1.20 \times \text{恒载} + 1.40 \times \text{活载1}$
- (2) $1.20 \times \text{恒载} + 1.40 \times \text{活载2}$
- (3) $1.20 \times \text{恒载} + 1.40 \times \text{活载3}$
- (4) $1.20 \times \text{恒载} + 1.40 \times \text{活载4}$
- (5) $1.20 \times \text{恒载} + 1.40 \times 0.90 \times \text{活载1} + 1.40 \times 0.90 \times \text{活载2}$
- (6) $1.20 \times \text{恒载} + 1.40 \times 0.90 \times \text{活载1} + 1.40 \times 0.90 \times \text{活载3}$
- (7) $1.20 \times \text{恒载} + 1.40 \times 0.90 \times \text{活载1} + 1.40 \times 0.90 \times \text{活载4}$
- (8) $1.20 \times \text{恒载}$

四、内力位移计算结果

(一). 内力

1. 工况内力
2. 组合内力
3. 最不利内力

× 10² (单位: N、Q(kN); M(kN.m); 位置(m))

单元号	名称	组合号	序号	位置	轴力 N	剪力 Q2	剪力 Q3	弯距 M2	弯距 M3
1	N× 'ó	2	1	15.0	-740 .8	-78. 5	-0.0	19.3	-171 .2
	M3× 'ó	3	1	0.0	-838 .5	86.5	0.0	19.3	1512 .7
	N× iD _i	1	1	0.0	-113 3.1	-0.0	-0.0	15.8	11.7
	M3× iD _i	2	1	0.0	-838 .5	-78. 5	-0.0	19.3	-134 8.0
2	N× 'ó	3	1	1.4	0.0	-0.0	-0.0	-0.0	-0.0
	M3× 'ó	2	1	1.4	0.0	-0.0	0.0	0.0	0.0
	N× iD _i	4	1	0.0	-4.9	0.0	-0.0	0.0	0.0
	M3× iD _i	3	1	0.0	-4.9	-0.0	-0.0	0.0	-0.0
3	N× 'ó	5	1	0.0	-1.8	44.7	111. 1	-53. 5	14.2
	M3× 'ó	7	1	0.0	-2.3	48.2	122. 1	-58. 7	15.4
	N×	4	1	0.5	-3.2	36.1	91.0	1.9	-6.5

	$\hat{1}D_i$								
	$M3 \times \hat{1}D_i$	7	1	0.5	-2.6	48.2	122.0	2.3	-8.7
4	$N \times \hat{1}'_o$	5	1	0.0	5.7	2.6	38.1	-58.4	4.5
	$M3 \times \hat{1}'_o$	1	1	0.0	4.5	3.0	39.7	-60.9	4.7
	$N \times \hat{1}D_i$	3	1	3.1	-2.1	1.7	29.3	46.0	-3.0
	$M3 \times \hat{1}D_i$	5	1	3.1	1.2	3.4	38.1	59.7	-4.9
5	$N \times \hat{1}'_o$	5	1	1.4	6.7	-9.5	50.9	8.0	5.3
	$M3 \times \hat{1}'_o$	1	1	1.4	6.0	-9.6	49.4	7.6	5.3
	$N \times \hat{1}D_i$	3	1	0.0	3.4	-6.1	32.1	-40.0	-5.1
	$M3 \times \hat{1}D_i$	5	1	0.0	5.6	-9.9	50.9	-63.2	-8.3
6	$N \times \hat{1}'_o$	1	1	0.0	4.4	-11.8	-6.2	2.8	-6.7
	$M3 \times \hat{1}'_o$	4	1	0.5	1.8	-7.6	-3.7	-0.1	-0.6
	$N \times \hat{1}D_i$	2	1	0.5	1.7	-7.4	-3.6	0.1	-0.7
	$M3 \times \hat{1}D_i$	1	1	0.0	4.4	-11.8	-6.2	2.8	-6.7
7	$N \times \hat{1}'_o$	3	1	3.1	1.4	1.8	5.0	7.3	-3.3
	$M3 \times \hat{1}'_o$	6	1	0.0	-3.3	3.8	7.4	-12.1	5.5
	$N \times \hat{1}D_i$	7	1	0.0	-3.6	3.5	7.2	-12.1	5.3
	$M3 \times \hat{1}D_i$	5	1	3.1	1.0	3.9	7.4	10.9	-5.7
8	$N \times \hat{1}'_o$	2	1	1.4	-2.2	2.3	-1.5	-0.6	-0.2
	$M3 \times \hat{1}'_o$	6	1	0.0	-5.8	5.8	-2.5	1.6	5.9
	$N \times$	1	1	0.0	-5.9	4.9	-2.5	1.9	5.4

	$\hat{1}D_i$								
	$M3 \times \hat{1}D_i$	6	1	1.4	-4.6	5.4	-2.5	-1.9	-2.0
9	$N \times \hat{1}'_o$	3	1	1.4	-4.3	1.0	0.5	1.1	-1.2
	$M3 \times \hat{1}'_o$	3	1	0.0	-5.5	1.3	0.5	0.4	0.4
	$N \times \hat{1}D_i$	1	1	0.0	-9.6	-0.5	-0.7	1.1	-0.8
	$M3 \times \hat{1}D_i$	5	1	0.0	-9.2	-1.4	-0.9	1.1	-1.3
10	$N \times \hat{1}'_o$	6	1	0.5	-1.6	4.8	41.8	15.4	0.3
	$M3 \times \hat{1}'_o$	1	1	0.0	-2.8	5.2	46.3	-6.0	2.8
	$N \times \hat{1}D_i$	2	1	0.0	-4.9	4.3	36.5	-4.6	2.1
	$M3 \times \hat{1}D_i$	2	1	0.5	-4.6	4.4	36.5	13.6	-0.1
11	$N \times \hat{1}'_o$	3	1	0.0	0.7	-0.6	-5.6	6.3	-0.9
	$M3 \times \hat{1}'_o$	6	1	3.1	-4.6	-1.8	-8.4	-16.8	2.9
	$N \times \hat{1}D_i$	5	1	3.1	-6.8	-1.2	-9.1	-18.8	2.7
	$M3 \times \hat{1}D_i$	5	1	0.0	-2.6	-2.0	-9.1	9.3	-2.3
12	$N \times \hat{1}'_o$	6	1	0.0	16.5	-7.2	-0.0	0.0	-17.9
	$M3 \times \hat{1}'_o$	1	1	3.9	15.2	-16.4	0.0	0.0	27.1
	$N \times \hat{1}D_i$	4	1	0.7	7.3	-5.8	-0.0	0.0	-9.0
	$M3 \times \hat{1}D_i$	1	1	0.0	15.2	-7.4	0.0	-0.0	-18.5
13	$N \times \hat{1}'_o$	3	1	0.0	-10.4	-6.7	-0.3	0.1	-4.6
	$M3 \times \hat{1}'_o$	5	1	1.2	-17.2	-15.6	-0.6	-0.3	8.9
	$N \times$	5	1	0.0	-17.	-14.	-0.3	0.2	-9.2

	$\hat{1}D_i$				3	0			
	$M3 \times \hat{1}D_i$	5	1	0.0	-17. 3	-14. 0	-0.3	0.2	-9.2
14	$N \times \hat{1}'_o$	3	1	0.0	-36. 6	-2.6	-0.4	0.3	-0.1
	$M3 \times \hat{1}'_o$	1	1	1.4	-57. 1	-7.5	-0.5	-0.4	8.2
	$N \times \hat{1}D_i$	5	1	0.0	-58. 4	-5.5	-0.5	0.4	-0.9
	$M3 \times \hat{1}D_i$	7	1	0.0	-54. 6	-5.3	-0.6	0.4	-1.3
15	$N \times \hat{1}'_o$	6	1	0.0	10.5	-14. 6	0.3	-0.2	-9.7
	$M3 \times \hat{1}'_o$	6	1	1.2	10.5	-16. 1	0.6	0.3	9.1
	$N \times \hat{1}D_i$	2	1	0.0	5.1	-7.4	0.3	-0.1	-5.2
	$M3 \times \hat{1}D_i$	6	1	0.0	10.5	-14. 6	0.3	-0.2	-9.7
16	$N \times \hat{1}'_o$	6	1	0.0	4.0	-2.2	-0.0	0.0	-5.4
	$M3 \times \hat{1}'_o$	1	1	4.4	2.0	-10. 7	-0.0	-0.0	21.7
	$N \times \hat{1}D_i$	4	1	0.4	-2.0	-2.1	-0.0	0.0	-3.5
	$M3 \times \hat{1}D_i$	5	1	0.0	0.1	-2.5	0.0	0.0	-6.2
17	$N \times \hat{1}'_o$	3	1	0.0	1.1	-2.0	-0.0	0.0	-4.3
	$M3 \times \hat{1}'_o$	1	1	4.4	-3.1	-10. 8	-0.0	-0.0	22.0
	$N \times \hat{1}D_i$	5	1	0.0	-5.2	-2.3	0.0	-0.0	-5.6
	$M3 \times \hat{1}D_i$	1	1	0.0	-3.1	-2.5	-0.0	-0.0	-5.9
18	$N \times \hat{1}'_o$	6	1	0.5	8.3	-10. 1	-0.0	-0.0	-8.0
	$M3 \times \hat{1}'_o$	1	1	3.2	6.4	-15. 9	0.0	0.0	27.8
	$N \times$	2	1	1.1	1.9	-7.9	0.0	-0.0	-1.9

	\hat{D}_i								
	$M3 \times \hat{D}_i$	5	1	0.0	4.0	-10.1	0.0	-0.1	-14.4
19	$N \times \hat{\delta}$	3	1	0.0	-3.1	-6.9	-0.0	0.0	-9.3
	$M3 \times \hat{\delta}$	1	1	3.2	-7.3	-15.9	-0.0	-0.0	28.2
	$N \times \hat{D}_i$	5	1	0.0	-8.7	-9.6	0.0	-0.0	-13.3
	$M3 \times \hat{D}_i$	1	1	0.0	-7.3	-10.2	-0.0	0.0	-14.0
20	$N \times \hat{\delta}$	2	1	0.4	1.9	-2.2	0.0	-0.0	-4.8
	$M3 \times \hat{\delta}$	1	1	4.4	-2.7	-11.2	0.0	0.0	20.8
	$N \times \hat{D}_i$	6	1	1.5	-6.5	-4.8	0.0	-0.0	-3.3
	$M3 \times \hat{D}_i$	6	1	0.0	-6.5	-2.9	0.0	-0.0	-8.8
21	$N \times \hat{\delta}$	5	1	4.0	6.9	-10.5	-0.0	-0.0	16.5
	$M3 \times \hat{\delta}$	1	1	4.4	4.1	-11.2	-0.0	-0.0	21.0
	$N \times \hat{D}_i$	3	1	0.0	-0.6	-2.0	-0.0	0.0	-5.9
	$M3 \times \hat{D}_i$	1	1	0.0	4.1	-2.9	-0.0	0.1	-8.7
22	$N \times \hat{\delta}$	4	1	0.0	-4.8	10.4	-0.0	0.0	17.9
	$M3 \times \hat{\delta}$	1	1	0.0	-9.0	16.2	-0.1	0.1	27.3
	$N \times \hat{D}_i$	6	1	0.0	-9.6	15.5	-0.1	0.1	26.1
	$M3 \times \hat{D}_i$	1	1	3.2	-9.0	10.4	-0.1	-0.1	-15.7
23	$N \times \hat{\delta}$	7	1	1.1	10.8	13.3	0.1	-0.0	10.0
	$M3 \times \hat{\delta}$	1	1	0.0	9.3	15.6	0.0	-0.1	26.6
	$N \times$	3	1	3.0	4.8	6.8	0.0	0.0	-8.0

	\hat{D}_i								
	$M3 \times \hat{D}_i$	1	1	3.2	9.3	9.9	0.0	0.0	-14.5
24	$N \times \hat{\delta}$	7	1	0.2	7.3	-13.8	0.1	-0.1	-7.8
	$M3 \times \hat{\delta}$	1	1	2.1	5.7	-17.3	0.1	0.1	22.5
	$N \times \hat{D}_i$	3	1	1.4	2.6	-10.6	0.0	0.0	6.7
	$M3 \times \hat{D}_i$	1	1	0.0	5.7	-14.5	0.1	-0.0	-10.7
25	$N \times \hat{\delta}$	4	1	0.2	-1.7	-10.5	-0.0	0.0	-6.2
	$M3 \times \hat{\delta}$	1	1	2.1	-4.7	-18.5	-0.1	-0.2	23.3
	$N \times \hat{D}_i$	6	1	0.3	-5.3	-15.3	-0.1	0.1	-6.7
	$M3 \times \hat{D}_i$	1	1	0.0	-4.7	-15.6	-0.1	0.1	-12.3
26	$N \times \hat{\delta}$	3	1	0.0	-1.4	12.0	-0.1	0.0	15.9
	$M3 \times \hat{\delta}$	1	1	0.0	-4.7	18.1	-0.0	-0.0	23.9
	$N \times \hat{D}_i$	5	1	0.0	-6.2	17.2	0.0	-0.0	22.5
	$M3 \times \hat{D}_i$	1	1	2.1	-4.7	15.3	-0.0	-0.0	-11.1
27	$N \times \hat{\delta}$	6	1	0.0	5.7	17.0	0.1	-0.0	21.9
	$M3 \times \hat{\delta}$	1	1	0.0	3.8	18.1	0.1	-0.1	23.1
	$N \times \hat{D}_i$	2	1	0.2	0.4	11.8	0.1	-0.1	12.9
	$M3 \times \hat{D}_i$	5	1	2.1	1.7	15.0	0.2	0.2	-11.8
28	$N \times \hat{\delta}$	5	1	0.0	6.3	-15.5	-0.0	0.1	-4.5
	$M3 \times \hat{\delta}$	6	1	0.9	5.8	-18.0	-0.2	0.0	11.8
	$N \times \hat{D}_i$	4	1	0.9	3.1	-12.0	-0.3	-0.0	7.7

	\hat{D}_i					4			
	$M3 \times \hat{D}_i$	7	1	0.0	5.3	-16.8	-0.1	0.2	-4.9
29	$N \times \hat{\delta}$	2	1	0.0	1.3	-9.9	0.4	-0.3	-3.6
	$M3 \times \hat{\delta}$	1	1	0.9	-1.2	-15.4	0.6	0.2	9.1
	$N \times \hat{D}_i$	6	1	0.0	-3.2	-13.0	0.5	-0.3	-4.2
	$M3 \times \hat{D}_i$	5	1	0.0	0.7	-14.6	0.6	-0.4	-5.1
30	$N \times \hat{\delta}$	5	1	0.0	2.2	17.1	-0.6	0.3	12.8
	$M3 \times \hat{\delta}$	7	1	0.0	-0.1	17.7	-0.4	0.2	13.4
	$N \times \hat{D}_i$	4	1	0.1	-1.2	12.4	-0.2	0.1	8.6
	$M3 \times \hat{D}_i$	1	1	0.9	1.2	16.2	-0.5	-0.2	-2.8
31	$N \times \hat{\delta}$	2	1	0.0	0.0	10.3	-0.0	-0.0	8.7
	$M3 \times \hat{\delta}$	1	1	0.0	-1.9	16.3	0.2	-0.1	12.9
	$N \times \hat{D}_i$	7	1	0.3	-4.1	14.4	0.3	-0.1	7.1
	$M3 \times \hat{D}_i$	6	1	0.9	-2.5	14.8	0.2	0.1	-2.1
32	$N \times \hat{\delta}$	3	1	1.4	-4.9	4.5	1.4	0.9	-3.8
	$M3 \times \hat{\delta}$	6	1	0.0	-10.6	5.6	2.1	-1.6	3.1
	$N \times \hat{D}_i$	1	1	0.0	-11.3	4.5	2.4	-2.1	2.4
	$M3 \times \hat{D}_i$	6	1	1.4	-9.4	5.3	2.1	1.3	-4.5
33	$N \times \hat{\delta}$	1	1	0.0	9.9	0.1	-0.9	0.8	-0.5
	$M3 \times \hat{\delta}$	4	1	0.5	5.1	-1.4	-1.6	-0.2	0.2
	$N \times$	3	1	0.5	5.0	-0.5	-0.9	0.1	0.1

	\hat{D}_i								
	$M3 \times \hat{D}_i$	5	1	0.0	9.6	-0.6	-1.4	0.8	-0.7
34	$N \times \hat{\delta}$	3	1	1.4	-6.5	-2.2	1.9	2.5	2.2
	$M3 \times \hat{\delta}$	5	1	1.4	-11.8	-4.4	4.0	4.3	4.1
	$N \times \hat{D}_i$	1	1	0.0	-13.1	-3.9	3.6	-1.0	-1.8
	$M3 \times \hat{D}_i$	5	1	0.0	-13.0	-4.8	4.0	-1.2	-2.4
35	$N \times \hat{\delta}$	4	1	0.2	-8.2	11.9	-0.1	0.1	11.4
	$M3 \times \hat{\delta}$	1	1	0.0	-13.6	18.4	-0.1	0.1	20.7
	$N \times \hat{D}_i$	1	1	0.0	-13.6	18.4	-0.1	0.1	20.7
	$M3 \times \hat{D}_i$	1	1	2.3	-13.6	15.1	-0.1	-0.1	-18.2
36	$N \times \hat{\delta}$	6	1	0.0	11.5	-12.9	-0.2	0.1	-7.6
	$M3 \times \hat{\delta}$	6	1	1.4	11.5	-14.7	-0.2	-0.1	11.8
	$N \times \hat{D}_i$	2	1	0.2	4.8	-6.9	-0.0	0.0	-2.3
	$M3 \times \hat{D}_i$	6	1	0.0	11.5	-12.9	-0.2	0.1	-7.6
37	$N \times \hat{\delta}$	1	1	0.0	6.6	-2.5	2.2	-1.8	-3.3
	$M3 \times \hat{\delta}$	3	1	0.5	3.2	-1.7	2.1	-0.2	-1.3
	$N \times \hat{D}_i$	2	1	0.5	3.2	-2.0	0.5	-0.6	-1.3
	$M3 \times \hat{D}_i$	1	1	0.0	6.6	-2.5	2.2	-1.8	-3.3
38	$N \times \hat{\delta}$	6	1	0.0	2.2	-1.4	11.8	-18.9	-2.4
	$M3 \times \hat{\delta}$	6	1	3.1	-2.2	-2.2	11.8	17.7	3.3
	$N \times$	2	1	3.1	-2.9	-1.0	8.1	12.7	2.0

	\hat{D}_i								
	$M3 \times \hat{D}_i$	5	1	0.0	1.6	-2.3	12.0	-18.5	-3.1
39	$N \times \hat{\delta}$	4	1	1.4	-4.8	1.8	-2.0	-1.2	-1.4
	$M3 \times \hat{\delta}$	6	1	0.0	-9.8	3.0	-2.0	1.2	2.1
	$N \times \hat{D}_i$	1	1	0.0	-10.2	2.0	-1.7	1.2	1.5
	$M3 \times \hat{D}_i$	3	1	1.4	-4.9	2.6	-2.0	-1.8	-2.0
40	$N \times \hat{\delta}$	1	1	0.0	6.9	-1.1	0.6	1.2	-3.8
	$M3 \times \hat{\delta}$	4	1	0.5	3.4	-2.7	1.1	0.9	-1.6
	$N \times \hat{D}_i$	3	1	0.5	3.3	-1.0	-0.4	0.6	-1.9
	$M3 \times \hat{D}_i$	5	1	0.0	6.7	-1.9	1.1	1.0	-4.0
41	$N \times \hat{\delta}$	3	1	0.0	2.5	-1.8	10.7	-16.4	-3.2
	$M3 \times \hat{\delta}$	6	1	3.1	-3.4	-3.6	15.7	24.8	5.2
	$N \times \hat{D}_i$	4	1	3.1	-3.9	-2.3	10.7	17.0	3.5
	$M3 \times \hat{D}_i$	5	1	0.0	2.0	-3.6	16.0	-24.2	-5.3
42	$N \times \hat{\delta}$	2	1	1.4	-3.6	1.3	-0.0	0.6	0.4
	$M3 \times \hat{\delta}$	6	1	0.0	-7.7	3.8	0.4	-0.3	4.4
	$N \times \hat{D}_i$	1	1	0.0	-8.0	2.7	0.4	0.2	3.7
	$M3 \times \hat{D}_i$	3	1	1.4	-3.7	3.1	0.2	-0.1	-1.1
43	$N \times \hat{\delta}$	1	1	0.0	8.8	-14.1	-5.6	1.0	-2.3
	$M3 \times \hat{\delta}$	5	1	0.5	8.0	-14.9	-5.2	-1.7	4.8
	$N \times \hat{D}_i$	2	1	0.5	4.0	-11.	-3.8	-1.1	3.8

	$\hat{1}D_i$					8			
	$M3 \times \hat{1}D_i$	5	1	0.0	8.3	-15.0	-5.2	0.9	-2.7
44	$N \times \hat{1}'_o$	3	1	0.0	3.4	-0.8	3.7	-6.3	-1.5
	$M3 \times \hat{1}'_o$	6	1	3.1	-0.8	-2.1	5.6	8.1	3.1
	$N \times \hat{1}D_i$	2	1	3.1	-3.7	-0.9	4.1	6.6	1.9
	$M3 \times \hat{1}D_i$	5	1	0.0	0.7	-2.2	5.9	-9.1	-2.9
45	$N \times \hat{1}'_o$	3	1	1.4	-3.8	5.7	-1.6	-2.0	-4.7
	$M3 \times \hat{1}'_o$	6	1	0.0	-8.8	7.4	-2.4	0.5	4.4
	$N \times \hat{1}D_i$	1	1	0.0	-9.4	6.3	-2.9	1.1	3.7
	$M3 \times \hat{1}D_i$	6	1	1.4	-7.7	7.1	-2.4	-2.9	-5.7
46	$N \times \hat{1}'_o$	4	1	0.0	2.6	-1.9	-9.9	15.0	-2.9
	$M3 \times \hat{1}'_o$	6	1	3.1	-3.3	-3.1	-15.4	-24.7	4.5
	$N \times \hat{1}D_i$	2	1	3.1	-3.7	-1.5	-10.7	-17.0	2.8
	$M3 \times \hat{1}D_i$	5	1	0.0	2.1	-3.2	-15.7	23.6	-4.6
47	$N \times \hat{1}'_o$	2	1	1.4	-3.5	1.3	0.4	0.3	0.1
	$M3 \times \hat{1}'_o$	6	1	0.0	-7.5	4.4	0.3	0.6	4.5
	$N \times \hat{1}D_i$	1	1	0.0	-7.8	3.2	0.4	0.2	3.8
	$M3 \times \hat{1}D_i$	6	1	1.4	-6.4	4.0	0.3	1.0	-1.4
48	$N \times \hat{1}'_o$	1	1	0.0	8.7	8.4	-1.1	-2.1	2.6
	$M3 \times \hat{1}'_o$	1	1	0.0	8.7	8.4	-1.1	-2.1	2.6
	$N \times$	3	1	0.5	4.1	4.4	0.1	-1.4	-0.6

	\hat{D}_i								
	$M3 \times \hat{D}_i$	1	1	0.5	8.3	8.4	-1.1	-2.6	-1.6
49	$N \times \hat{\delta}$	6	1	0.0	2.0	-0.3	$-\frac{12.5}{5}$	18.4	-0.5
	$M3 \times \hat{\delta}$	6	1	3.1	-2.5	-1.1	$-\frac{12.5}{5}$	$-\frac{20.4}{4}$	1.8
	$N \times \hat{D}_i$	2	1	3.1	-2.9	-0.3	-8.4	$-\frac{14.2}{2}$	1.1
	$M3 \times \hat{D}_i$	5	1	0.0	1.6	-1.3	$-\frac{12.6}{6}$	18.0	-1.3
50	$N \times \hat{\delta}$	2	1	0.0	-6.3	0.2	-0.0	0.0	-0.1
	$M3 \times \hat{\delta}$	1	1	2.3	$-\frac{11.0}{0}$	-1.2	-0.0	0.0	0.7
	$N \times \hat{D}_i$	7	1	0.6	$-\frac{14.0}{0}$	0.3	-0.0	0.0	-0.3
	$M3 \times \hat{D}_i$	1	1	0.9	$-\frac{11.0}{0}$	-0.1	-0.0	0.0	-0.3
51	$N \times \hat{\delta}$	5	1	0.0	6.3	0.5	0.1	-0.1	-0.0
	$M3 \times \hat{\delta}$	1	1	2.3	5.9	-1.2	0.0	0.0	0.7
	$N \times \hat{D}_i$	4	1	0.2	-1.4	0.2	0.0	-0.1	-0.2
	$M3 \times \hat{D}_i$	1	1	0.9	5.9	-0.1	0.0	-0.0	-0.3
52	$N \times \hat{\delta}$	3	1	0.2	-1.0	0.3	0.1	-0.1	0.0
	$M3 \times \hat{\delta}$	1	1	2.6	-4.8	-0.9	0.1	0.1	0.5
	$N \times \hat{D}_i$	5	1	2.4	-6.4	-0.8	0.1	0.1	0.3
	$M3 \times \hat{D}_i$	1	1	1.1	-4.8	0.1	0.1	-0.1	-0.3
53	$N \times \hat{\delta}$	6	1	0.0	4.1	0.7	-0.2	0.3	0.2
	$M3 \times \hat{\delta}$	1	1	2.6	1.1	-0.9	-0.2	-0.2	0.5
	$N \times$	2	1	0.0	-2.6	0.3	-0.1	0.2	0.0

	$\hat{1}D_i$								
	$M3 \times \hat{1}D_i$	1	1	1.1	1.1	0.1	-0.2	0.1	-0.3
54	$N \times \hat{1}'_o$	5	1	0.2	14.7	17.4	-0.0	-0.0	19.6
	$M3 \times \hat{1}'_o$	1	1	0.0	14.2	18.4	-0.0	0.0	24.6
	$N \times \hat{1}D_i$	4	1	0.0	7.2	11.9	-0.1	0.1	16.0
	$M3 \times \hat{1}D_i$	1	1	2.7	14.2	14.7	-0.0	-0.1	-19.6
55	$N \times \hat{1}'_o$	7	1	0.0	20.4	-9.2	0.0	-0.0	-18.4
	$M3 \times \hat{1}'_o$	1	1	3.4	18.3	-18.1	0.0	0.0	26.5
	$N \times \hat{1}D_i$	2	1	0.0	10.1	-6.5	0.0	-0.0	-12.6
	$M3 \times \hat{1}D_i$	1	1	0.0	18.3	-9.8	0.0	-0.0	-19.5
56	$N \times \hat{1}'_o$	7	1	0.0	4.8	2.9	-39.8	61.4	4.6
	$M3 \times \hat{1}'_o$	1	1	0.0	3.5	3.0	-40.7	62.4	4.7
	$N \times \hat{1}D_i$	3	1	3.1	-2.8	1.7	-29.6	-46.6	-3.0
	$M3 \times \hat{1}D_i$	5	1	3.1	-0.3	3.4	-39.2	-61.4	-4.8
57	$N \times \hat{1}'_o$	3	1	0.0	-11.3	-6.4	-0.0	0.0	-12.4
	$M3 \times \hat{1}'_o$	1	1	3.4	-20.0	-18.2	-0.0	-0.1	26.7
	$N \times \hat{1}D_i$	5	1	0.0	-20.9	-9.7	-0.0	0.1	-19.1
	$M3 \times \hat{1}D_i$	1	1	0.0	-20.0	-9.8	-0.0	0.1	-19.4
58	$N \times \hat{1}'_o$	3	1	3.3	-8.4	-9.0	-0.0	-0.0	10.2
	$M3 \times \hat{1}'_o$	1	1	3.9	-13.5	-16.3	-0.0	-0.0	27.0
	$N \times$	7	1	0.0	-14.	-6.9	-0.0	0.0	-17.

	$\hat{1}\hat{D}_i$				6				5
	$M3 \times \hat{1}\hat{D}_i$	1	1	0.0	-13.5	-7.3	-0.0	0.0	-18.2
59	$N \times \hat{1}'\hat{o}$	2	1	0.4	-12.1	11.6	-0.1	0.1	10.6
	$M3 \times \hat{1}'\hat{o}$	1	1	0.0	-18.5	18.8	-0.2	0.2	24.6
	$N \times \hat{1}\hat{D}_i$	7	1	0.2	-19.1	17.7	-0.2	0.2	19.4
	$M3 \times \hat{1}\hat{D}_i$	1	1	2.7	-18.5	14.1	-0.2	-0.2	-19.1
60	$N \times \hat{1}'\hat{o}$	7	1	0.0	14.6	17.4	0.0	-0.0	19.5
	$M3 \times \hat{1}'\hat{o}$	1	1	0.0	13.3	18.3	0.1	-0.1	20.5
	$N \times \hat{1}\hat{D}_i$	3	1	0.0	7.8	12.1	0.4	-0.2	13.5
	$M3 \times \hat{1}\hat{D}_i$	1	1	2.3	13.3	15.0	0.1	0.1	-18.3
61	$N \times \hat{1}'\hat{o}$	4	1	0.0	-2.6	0.5	0.0	-0.0	0.3
	$M3 \times \hat{1}'\hat{o}$	1	1	0.0	-9.5	0.9	0.0	0.0	0.5
	$N \times \hat{1}\hat{D}_i$	1	1	2.0	-9.5	-0.4	0.0	0.0	-0.1
	$M3 \times \hat{1}\hat{D}_i$	1	1	1.3	-9.5	0.0	0.0	0.0	-0.3
62	$N \times \hat{1}'\hat{o}$	3	1	0.0	-1.1	0.4	-0.1	0.1	0.2
	$M3 \times \hat{1}'\hat{o}$	1	1	0.0	-5.8	0.8	-0.2	0.1	0.4
	$N \times \hat{1}\hat{D}_i$	5	1	0.0	-7.9	0.8	-0.2	0.1	0.4
	$M3 \times \hat{1}\hat{D}_i$	1	1	1.3	-5.8	-0.0	-0.2	-0.1	-0.2
63	$N \times \hat{1}'\hat{o}$	7	1	0.2	10.1	0.8	-0.0	-0.0	0.3
	$M3 \times \hat{1}'\hat{o}$	1	1	0.0	5.7	0.9	-0.0	0.0	0.5
	$N \times$	2	1	0.0	3.6	0.5	-0.0	0.0	0.3

	$\hat{1}D_i$								
	$M3 \times \hat{1}D_i$	1	1	1.3	5.7	0.1	-0.0	-0.0	-0.3
64	$N \times \hat{1}'_o$	6	1	2.0	5.3	-0.4	0.2	0.3	-0.0
	$M3 \times \hat{1}'_o$	1	1	0.0	1.3	0.9	0.2	-0.2	0.5
	$N \times \hat{1}D_i$	2	1	0.2	-3.5	0.4	0.1	-0.1	0.2
	$M3 \times \hat{1}D_i$	1	1	1.3	1.3	0.0	0.2	0.1	-0.2
65	$N \times \hat{1}'_o$	1	1	0.0	10.6	6.3	0.5	4.9	0.3
	$M3 \times \hat{1}'_o$	6	1	0.0	10.2	6.6	0.3	4.9	0.4
	$N \times \hat{1}D_i$	2	1	0.5	5.5	4.3	0.6	3.7	-2.1
	$M3 \times \hat{1}D_i$	7	1	0.5	10.0	6.8	1.8	5.2	-3.0
66	$N \times \hat{1}'_o$	3	1	3.1	0.8	-0.5	3.9	4.1	0.4
	$M3 \times \hat{1}'_o$	3	1	3.1	0.8	-0.5	3.9	4.1	0.4
	$N \times \hat{1}D_i$	7	1	0.0	-4.5	-0.1	4.7	-9.9	-0.1
	$M3 \times \hat{1}D_i$	2	1	0.0	-4.0	-0.5	3.5	-7.4	-0.5
67	$N \times \hat{1}'_o$	2	1	0.5	-739.0	-78.5	-0.0	19.3	-132.0
	$M3 \times \hat{1}'_o$	3	1	0.0	-740.8	86.5	0.0	19.3	215.0
	$N \times \hat{1}D_i$	1	1	0.0	-1035.4	-0.0	-0.0	15.8	11.7
	$M3 \times \hat{1}D_i$	2	1	0.0	-740.8	-78.5	-0.0	19.3	-171.2
68	$N \times \hat{1}'_o$	3	1	0.0	1.1	-1.0	3.9	-5.0	-2.0
	$M3 \times \hat{1}'_o$	6	1	3.1	-3.5	-2.6	5.5	9.9	3.6
	$N \times$	7	1	3.1	-3.8	-2.2	5.3	9.8	3.4

	\hat{D}_i								
	$M3 \times \hat{D}_i$	5	1	0.0	0.7	-2.7	5.5	-7.3	-3.8
69	$N \times \hat{\delta}$	4	1	1.4	-5.3	1.7	-0.6	-0.7	-0.3
	$M3 \times \hat{\delta}$	6	1	0.0	-10.7	3.9	-0.5	-0.9	4.0
	$N \times \hat{D}_i$	1	1	0.0	-11.1	3.1	-0.5	-0.8	3.6
	$M3 \times \hat{D}_i$	6	1	1.4	-9.6	3.5	-0.5	-1.6	-1.1
70	$N \times \hat{\delta}$	1	1	0.0	9.7	-10.2	-3.7	1.3	-5.3
	$M3 \times \hat{\delta}$	1	1	0.5	9.3	-10.2	-3.7	-0.5	-0.2
	$N \times \hat{D}_i$	2	1	0.5	4.8	-6.0	-1.8	0.1	-0.5
	$M3 \times \hat{D}_i$	1	1	0.0	9.7	-10.2	-3.7	1.3	-5.3
71	$N \times \hat{\delta}$	4	1	0.0	-360.1	-5.4	-43.1	21.0	-0.5
	$M3 \times \hat{\delta}$	3	1	3.1	-374.9	-51.5	-0.7	-6.9	127.8
	$N \times \hat{D}_i$	1	1	3.1	-520.6	-7.2	0.7	-3.8	20.3
	$M3 \times \hat{D}_i$	2	1	3.1	-375.4	37.0	-0.1	-5.5	-86.3
72	$N \times \hat{\delta}$	5	1	0.0	15.4	0.6	-0.1	0.1	0.1
	$M3 \times \hat{\delta}$	1	1	2.5	13.2	-1.0	-0.1	-0.1	0.6
	$N \times \hat{D}_i$	3	1	2.5	6.1	-0.5	0.1	-0.0	0.3
	$M3 \times \hat{D}_i$	1	1	1.0	13.2	0.0	-0.1	0.0	-0.3
73	$N \times \hat{\delta}$	2	1	0.0	0.5	0.3	0.1	-0.1	-0.0
	$M3 \times \hat{\delta}$	1	1	2.5	-4.0	-1.0	0.1	0.1	0.6
	$N \times \hat{D}_i$	6	1	2.5	-7.6	-1.0	0.3	0.2	0.6

	$\hat{1}D_i$								
	$M3 \times \hat{1}D_i$	1	1	1.0	-4.0	-0.0	0.1	-0.0	-0.3
74	$N \times \hat{1}'_o$	5	1	0.0	60.1	2.3	8.6	-12. 2	2.1
	$M3 \times \hat{1}'_o$	1	1	0.0	57.6	2.4	8.3	-11. 8	2.1
	$N \times \hat{1}D_i$	3	1	2.4	35.4	0.5	5.2	5.0	-1.2
	$M3 \times \hat{1}D_i$	7	1	2.4	52.9	1.0	7.6	7.6	-2.0
75	$N \times \hat{1}'_o$	5	1	0.0	3.6	0.6	-0.1	0.1	0.0
	$M3 \times \hat{1}'_o$	1	1	2.3	0.5	-1.2	-0.1	-0.1	0.7
	$N \times \hat{1}D_i$	3	1	0.0	-3.9	0.2	-0.1	0.1	-0.1
	$M3 \times \hat{1}D_i$	1	1	1.0	0.5	-0.1	-0.1	0.0	-0.4
76	$N \times \hat{1}'_o$	2	1	3.1	0.3	-1.3	2.7	1.6	2.4
	$M3 \times \hat{1}'_o$	6	1	3.1	-1.6	-2.8	4.2	4.4	3.8
	$N \times \hat{1}D_i$	6	1	0.0	-5.5	-2.0	4.2	-8.7	-3.7
	$M3 \times \hat{1}D_i$	5	1	0.0	-4.2	-2.8	3.5	-8.4	-4.1
77	$N \times \hat{1}'_o$	3	1	1.4	-6.7	-1.4	0.4	3.3	0.6
	$M3 \times \hat{1}'_o$	5	1	1.4	-11. 6	-2.8	2.5	4.8	1.1
	$N \times \hat{1}D_i$	1	1	0.0	-13. 1	-2.6	1.6	2.3	-2.5
	$M3 \times \hat{1}D_i$	5	1	0.0	-12. 8	-3.2	2.5	1.3	-3.1
78	$N \times \hat{1}'_o$	1	1	0.0	9.8	3.1	-13. 3	8.6	1.5
	$M3 \times \hat{1}'_o$	7	1	0.0	9.5	3.4	-12. 4	8.1	1.7
	$N \times$	2	1	0.5	4.9	1.4	-9.2	1.8	0.1

	\hat{D}_i								
	$M3 \times \hat{D}_i$	3	1	0.5	5.1	2.8	-9.0	2.0	-0.1
79	$N \times \hat{\delta}$	6	1	3.1	3.0	5.0	-0.9	-1.4	-8.2
	$M3 \times \hat{\delta}$	6	1	0.0	-1.8	5.8	-0.9	1.4	8.5
	$N \times \hat{D}_i$	2	1	0.0	-2.6	3.4	-0.1	-0.0	5.8
	$M3 \times \hat{D}_i$	1	1	3.1	2.6	5.5	-0.6	-1.1	-8.5
80	$N \times \hat{\delta}$	1	1	0.0	3.8	-6.8	-13. 2	3.3	-1.9
	$M3 \times \hat{\delta}$	5	1	0.5	3.4	-7.0	-13. 5	-3.4	1.6
	$N \times \hat{D}_i$	2	1	0.5	0.9	-5.6	-10. 0	-2.5	1.3
	$M3 \times \hat{D}_i$	5	1	0.0	3.5	-7.1	-13. 5	3.3	-1.9
81	$N \times \hat{\delta}$	3	1	1.4	-0.2	1.0	0.2	0.1	-0.8
	$M3 \times \hat{\delta}$	6	1	0.0	-3.0	1.7	0.1	-0.1	1.2
	$N \times \hat{D}_i$	5	1	0.0	-3.6	1.0	0.0	-0.1	0.9
	$M3 \times \hat{D}_i$	6	1	1.4	-2.4	1.4	0.1	0.1	-1.0
82	$N \times \hat{\delta}$	2	1	3.1	1.6	-2.8	-1.0	-2.0	4.7
	$M3 \times \hat{\delta}$	1	1	3.1	1.3	-4.9	-1.8	-2.9	7.5
	$N \times \hat{D}_i$	3	1	0.0	-3.4	-2.8	-0.6	1.0	-4.9
	$M3 \times \hat{D}_i$	1	1	0.0	-3.1	-4.9	-1.8	2.8	-7.7
83	$N \times \hat{\delta}$	3	1	1.4	-5.4	-0.7	-2.3	-1.3	-0.4
	$M3 \times \hat{\delta}$	2	1	1.4	-5.6	-1.6	-1.6	-1.0	-0.2
	$N \times$	1	1	0.0	-11.	-1.8	-3.8	2.4	-3.1

	$\hat{1}\hat{D}_i$				2				
	$M3 \times \hat{1}\hat{D}_i$	5	1	0.0	-10.9	-2.5	-3.3	2.1	-3.7
84	$N \times \hat{1}'\hat{o}$	1	1	0.0	9.8	1.0	-11.0	2.2	2.3
	$M3 \times \hat{1}'\hat{o}$	6	1	0.0	9.3	1.5	-10.9	2.4	2.5
	$N \times \hat{1}\hat{D}_i$	2	1	0.5	4.9	0.1	-6.4	-1.4	1.1
	$M3 \times \hat{1}\hat{D}_i$	2	1	0.0	5.2	-0.1	-6.4	1.8	1.1
85	$N \times \hat{1}'\hat{o}$	6	1	2.4	10.2	-0.7	0.2	0.1	0.3
	$M3 \times \hat{1}'\hat{o}$	6	1	0.0	9.7	1.1	-0.1	-0.1	0.8
	$N \times \hat{1}\hat{D}_i$	2	1	2.4	0.3	-0.6	-0.1	-0.0	0.3
	$M3 \times \hat{1}\hat{D}_i$	5	1	1.4	2.5	-0.1	0.0	0.0	-0.2
86	$N \times \hat{1}'\hat{o}$	6	1	0.0	8.4	0.7	0.3	-0.2	0.2
	$M3 \times \hat{1}'\hat{o}$	6	1	2.2	7.9	-1.2	0.0	0.1	0.7
	$N \times \hat{1}\hat{D}_i$	2	1	0.0	-1.8	0.6	-0.1	-0.0	0.1
	$M3 \times \hat{1}\hat{D}_i$	1	1	0.9	4.1	0.1	0.1	-0.0	-0.3
87	$N \times \hat{1}'\hat{o}$	6	1	2.2	4.1	-1.6	0.2	0.1	0.7
	$M3 \times \hat{1}'\hat{o}$	1	1	2.2	2.3	-1.7	0.0	0.1	0.8
	$N \times \hat{1}\hat{D}_i$	4	1	0.0	-2.2	0.6	0.3	-0.2	0.2
	$M3 \times \hat{1}\hat{D}_i$	1	1	0.9	2.3	0.1	0.0	0.0	-0.3
88	$N \times \hat{1}'\hat{o}$	6	1	0.0	6.3	1.5	-0.0	0.1	0.9
	$M3 \times \hat{1}'\hat{o}$	1	1	0.0	3.5	1.6	-0.2	0.2	1.0
	$N \times$	4	1	2.3	-1.9	-0.9	0.1	-0.1	0.2

	\hat{D}_i								
	$M3 \times \hat{D}_i$	1	1	1.3	3.5	0.1	-0.2	-0.1	-0.4
89	$N \times \hat{\delta}$	3	1	0.0	-3.4	0.9	0.1	-0.0	0.5
	$M3 \times \hat{\delta}$	1	1	0.0	-7.4	1.2	-0.1	0.1	0.7
	$N \times \hat{D}_i$	7	1	2.3	-12. 3	-1.3	0.1	-0.1	0.4
	$M3 \times \hat{D}_i$	1	1	1.3	-7.4	-0.0	-0.1	-0.0	-0.3
90	$N \times \hat{\delta}$	3	1	0.0	-8.7	0.9	0.1	-0.0	0.6
	$M3 \times \hat{\delta}$	1	1	0.0	-13. 9	1.2	-0.1	0.1	0.8
	$N \times \hat{D}_i$	7	1	2.3	-20. 5	-0.7	0.2	0.0	0.2
	$M3 \times \hat{D}_i$	1	1	1.3	-13. 9	0.0	-0.1	0.0	-0.2
91	$N \times \hat{\delta}$	2	1	1.9	-3.1	-0.3	0.1	0.0	0.1
	$M3 \times \hat{\delta}$	1	1	0.0	-6.9	0.8	-0.0	0.1	0.6
	$N \times \hat{D}_i$	7	1	1.9	-11. 4	-0.3	0.1	0.0	0.1
	$M3 \times \hat{D}_i$	4	1	1.1	-9.7	0.0	-0.0	-0.0	-0.0
92	$N \times \hat{\delta}$	6	1	2.8	5.9	-0.9	-0.2	-0.1	0.5
	$M3 \times \hat{\delta}$	1	1	0.0	2.7	1.2	-0.0	0.1	0.9
	$N \times \hat{D}_i$	2	1	0.0	-0.8	1.0	-0.0	0.1	0.7
	$M3 \times \hat{D}_i$	5	1	1.4	-0.0	0.1	-0.0	0.0	-0.3
93	$N \times \hat{\delta}$	4	1	2.5	5.6	-1.0	0.2	0.0	0.6
	$M3 \times \hat{\delta}$	6	1	2.5	3.7	-1.3	0.0	-0.1	0.8
	$N \times$	2	1	0.0	-3.9	0.8	0.1	-0.0	0.3

	$\hat{1}D_i$								
	$M3 \times \hat{1}D_i$	1	1	1.2	0.3	-0.1	-0.1	-0.0	-0.3
94	$N \times \hat{1}'_o$	7	1	2.5	8.1	-1.1	0.2	0.1	0.4
	$M3 \times \hat{1}'_o$	1	1	0.0	3.8	2.0	-0.1	0.1	0.8
	$N \times \hat{1}D_i$	2	1	0.0	0.7	1.1	0.1	0.1	0.5
	$M3 \times \hat{1}D_i$	1	1	1.2	3.8	0.0	-0.1	0.0	-0.4
95	$N \times \hat{1}'_o$	7	1	0.0	6.6	1.4	0.1	-0.1	0.9
	$M3 \times \hat{1}'_o$	1	1	0.0	2.8	1.4	0.1	-0.1	0.9
	$N \times \hat{1}D_i$	2	1	0.0	-1.3	1.0	0.3	-0.2	0.6
	$M3 \times \hat{1}D_i$	1	1	1.5	2.8	-0.0	0.1	0.1	-0.4
96	$N \times \hat{1}'_o$	4	1	0.0	1.1	0.7	0.4	-0.2	0.3
	$M3 \times \hat{1}'_o$	1	1	2.5	-8.0	-1.3	0.1	0.1	0.8
	$N \times \hat{1}D_i$	5	1	2.5	-9.3	-1.3	0.2	0.1	0.8
	$M3 \times \hat{1}D_i$	1	1	1.0	-8.0	0.1	0.1	-0.0	-0.3
97	$N \times \hat{1}'_o$	4	1	2.8	0.9	-0.8	0.4	0.2	0.5
	$M3 \times \hat{1}'_o$	1	1	0.0	-4.7	1.2	0.0	-0.1	0.8
	$N \times \hat{1}D_i$	6	1	2.8	-5.5	-1.0	0.2	0.1	0.5
	$M3 \times \hat{1}D_i$	1	1	1.4	-4.7	0.1	0.0	-0.0	-0.3
98	$N \times \hat{1}'_o$	3	1	2.4	-1.9	-0.5	0.2	0.1	0.2
	$M3 \times \hat{1}'_o$	1	1	0.0	-6.8	1.0	-0.0	0.1	0.6
	$N \times$	5	1	2.4	-9.3	-0.6	-0.2	-0.1	0.3

	\hat{D}_i								
	$M3 \times \hat{D}_i$	1	1	1.4	-6.8	-0.1	-0.0	0.0	-0.1
99	$N \times \hat{\delta}$	3	1	0.0	-0.1	0.5	0.2	-0.1	0.1
	$M3 \times \hat{\delta}$	1	1	2.2	-4.1	-1.0	-0.0	-0.1	0.5
	$N \times \hat{D}_i$	5	1	0.0	-6.5	0.7	-0.2	0.0	0.2
	$M3 \times \hat{D}_i$	1	1	1.1	-4.1	-0.1	-0.0	-0.0	-0.2
100	$N \times \hat{\delta}$	3	1	2.2	-1.5	-0.9	0.1	0.0	0.5
	$M3 \times \hat{\delta}$	1	1	2.2	-4.7	-1.7	-0.0	-0.0	0.8
	$N \times \hat{D}_i$	7	1	0.0	-6.5	0.7	0.3	-0.1	0.1
	$M3 \times \hat{D}_i$	1	1	0.9	-4.7	0.0	-0.0	0.0	-0.3
101	$N \times \hat{\delta}$	3	1	0.0	-2.2	0.9	0.2	-0.1	0.6
	$M3 \times \hat{\delta}$	1	1	0.0	-8.8	1.5	0.1	-0.1	0.9
	$N \times \hat{D}_i$	7	1	2.3	-10.2	-1.4	0.3	0.2	0.3
	$M3 \times \hat{D}_i$	1	1	1.3	-8.8	0.2	0.1	0.0	-0.4
102	$N \times \hat{\delta}$	6	1	0.0	10.6	1.0	0.2	-0.1	0.6
	$M3 \times \hat{\delta}$	1	1	0.0	9.7	1.1	0.1	-0.1	0.6
	$N \times \hat{D}_i$	4	1	2.3	4.5	-0.7	0.3	0.2	0.2
	$M3 \times \hat{D}_i$	1	1	1.3	9.7	-0.1	0.1	0.1	-0.3
103	$N \times \hat{\delta}$	1	1	0.0	23.5	1.1	0.1	-0.1	0.7
	$M3 \times \hat{\delta}$	1	1	0.0	23.5	1.1	0.1	-0.1	0.7
	$N \times \hat{D}_i$	4	1	2.3	11.2	-0.5	0.3	0.1	0.1

	$\hat{1}\mathcal{D}_i$								
	$M3 \times \hat{1}\mathcal{D}_i$	1	1	1.3	23.5	-0.0	0.1	-0.0	-0.2
104	$N \times \hat{1}'_o$	5	1	1.9	14.4	-0.3	0.1	-0.0	0.1
	$M3 \times \hat{1}'_o$	1	1	0.0	13.9	0.7	-0.0	-0.0	0.5
	$N \times \hat{1}\mathcal{D}_i$	4	1	1.9	5.9	-0.2	0.2	0.0	0.1
	$M3 \times \hat{1}\mathcal{D}_i$	6	1	1.2	12.7	-0.0	-0.1	-0.0	-0.0
105	$N \times \hat{1}'_o$	6	1	0.0	11.1	0.8	-0.3	0.2	0.4
	$M3 \times \hat{1}'_o$	1	1	2.8	8.4	-1.0	-0.1	-0.2	0.7
	$N \times \hat{1}\mathcal{D}_i$	2	1	0.0	2.4	0.7	-0.1	0.1	0.4
	$M3 \times \hat{1}\mathcal{D}_i$	1	1	1.4	8.4	-0.1	-0.1	-0.0	-0.2
106	$N \times \hat{1}'_o$	7	1	2.5	7.6	-0.9	0.3	0.1	0.5
	$M3 \times \hat{1}'_o$	1	1	0.0	5.5	1.2	-0.0	-0.0	0.5
	$N \times \hat{1}\mathcal{D}_i$	2	1	0.0	1.2	0.8	0.2	-0.1	0.3
	$M3 \times \hat{1}\mathcal{D}_i$	1	1	1.2	5.5	-0.1	-0.0	-0.1	-0.2
107	$N \times \hat{1}'_o$	4	1	2.5	-1.1	-0.6	0.3	0.2	0.2
	$M3 \times \hat{1}'_o$	1	1	0.0	-7.6	1.9	0.0	0.0	0.9
	$N \times \hat{1}\mathcal{D}_i$	5	1	0.0	-8.1	1.8	0.2	-0.0	0.9
	$M3 \times \hat{1}\mathcal{D}_i$	1	1	1.2	-7.6	0.1	0.0	0.0	-0.3
108	$N \times \hat{1}'_o$	4	1	0.6	1.7	0.6	-0.1	0.1	0.1
	$M3 \times \hat{1}'_o$	1	1	0.0	-2.9	1.3	-0.1	0.1	0.8
	$N \times$	5	1	0.0	-4.0	1.2	0.0	0.1	0.8

	$\hat{1}D_i$								
	$M3 \times \hat{1}D_i$	1	1	1.5	-2.9	-0.0	-0.1	-0.0	-0.4
109	$N \times \hat{1}'_o$	7	1	0.0	18.1	0.9	0.3	-0.1	0.4
	$M3 \times \hat{1}'_o$	1	1	2.5	15.6	-1.1	-0.0	-0.0	0.7
	$N \times \hat{1}D_i$	2	1	2.5	9.6	-0.8	0.2	0.0	0.5
	$M3 \times \hat{1}D_i$	1	1	1.0	15.6	0.1	-0.0	0.0	-0.3
110	$N \times \hat{1}'_o$	7	1	2.8	13.6	-0.8	0.3	0.2	0.5
	$M3 \times \hat{1}'_o$	1	1	0.0	11.7	1.0	-0.0	0.0	0.7
	$N \times \hat{1}D_i$	3	1	2.8	6.5	-0.7	0.2	0.1	0.4
	$M3 \times \hat{1}D_i$	1	1	1.4	11.7	0.1	-0.0	0.0	-0.2
111	$N \times \hat{1}'_o$	5	1	2.4	1.5	-6.3	-1.0	0.2	5.1
	$M3 \times \hat{1}'_o$	6	1	2.4	0.4	-6.7	-1.9	-0.6	5.6
	$N \times \hat{1}D_i$	4	1	2.4	-1.0	-3.9	-1.0	-0.9	3.5
	$M3 \times \hat{1}D_i$	6	1	0.2	0.9	-0.0	-1.6	3.3	-1.9
112	$N \times \hat{1}'_o$	5	1	2.2	8.1	-4.8	-0.7	-0.8	3.4
	$M3 \times \hat{1}'_o$	6	1	2.2	7.3	-5.5	-0.7	-1.0	4.1
	$N \times \hat{1}D_i$	4	1	2.2	3.8	-3.2	0.1	-0.6	2.6
	$M3 \times \hat{1}D_i$	3	1	0.0	5.9	-0.3	-0.1	-0.1	-1.2
113	$N \times \hat{1}'_o$	1	1	0.4	10.7	2.7	-1.2	-0.5	0.9
	$M3 \times \hat{1}'_o$	5	1	0.0	10.0	3.9	-1.2	0.1	2.4
	$N \times$	4	1	2.2	6.0	-1.8	-0.2	-1.2	1.1

	\hat{D}_i								
	$M3 \times \hat{D}_i$	5	1	1.3	10.3	0.1	-1.1	-1.4	-0.2
114	$N \times \hat{\delta}$	6	1	0.0	12.9	3.3	0.7	-2.8	1.1
	$M3 \times \hat{\delta}$	5	1	0.0	11.9	4.0	0.2	-2.0	1.9
	$N \times \hat{D}_i$	4	1	2.3	8.1	-1.7	0.3	-0.9	0.6
	$M3 \times \hat{D}_i$	5	1	1.3	12.2	-0.0	0.3	-1.7	-0.8
115	$N \times \hat{\delta}$	6	1	0.0	18.4	1.1	1.0	-1.9	-1.3
	$M3 \times \hat{\delta}$	6	1	2.3	17.9	-5.7	0.7	0.0	4.0
	$N \times \hat{D}_i$	4	1	2.3	11.4	-3.0	0.7	-0.3	2.2
	$M3 \times \hat{D}_i$	6	1	0.4	18.3	0.0	0.9	-1.6	-1.5
116	$N \times \hat{\delta}$	1	1	0.0	21.2	4.3	1.8	-1.0	2.5
	$M3 \times \hat{\delta}$	5	1	0.0	19.9	4.3	1.5	-1.2	2.7
	$N \times \hat{D}_i$	4	1	2.3	12.9	-1.3	1.6	2.2	0.4
	$M3 \times \hat{D}_i$	5	1	1.3	20.2	0.3	1.7	0.9	-0.4
117	$N \times \hat{\delta}$	6	1	0.0	16.5	8.1	2.7	3.3	5.6
	$M3 \times \hat{\delta}$	5	1	0.0	14.6	9.3	3.0	2.1	6.4
	$N \times \hat{D}_i$	4	1	1.9	9.7	2.5	2.1	5.4	-3.5
	$M3 \times \hat{D}_i$	5	1	1.9	15.0	3.7	3.3	8.0	-5.7
118	$N \times \hat{\delta}$	7	1	0.0	14.7	1.4	-2.1	7.7	-2.2
	$M3 \times \hat{\delta}$	5	1	2.8	12.3	-7.0	-2.3	0.7	5.6
	$N \times$	2	1	2.8	8.6	-4.4	-1.5	0.5	3.8

	$\hat{1}D_i$								
	$M3 \times \hat{1}D_i$	5	1	0.5	12.8	-0.0	-2.6	6.4	-2.7
119	$N \times \hat{1}'_o$	7	1	0.0	16.0	4.6	-1.0	1.6	2.8
	$M3 \times \hat{1}'_o$	6	1	0.0	14.7	4.9	-1.2	1.9	3.3
	$N \times \hat{1}D_i$	2	1	2.5	9.8	-1.7	-0.6	-1.0	0.6
	$M3 \times \hat{1}D_i$	6	1	1.7	15.1	-0.0	-1.4	-0.3	-0.9
120	$N \times \hat{1}'_o$	7	1	0.8	10.7	2.0	-0.8	-1.6	-0.2
	$M3 \times \hat{1}'_o$	6	1	0.0	9.2	4.8	-0.6	-0.9	2.9
	$N \times \hat{1}D_i$	2	1	2.5	6.7	-1.8	-0.2	-1.4	0.7
	$M3 \times \hat{1}D_i$	6	1	1.7	9.6	-0.2	-0.8	-2.0	-1.0
121	$N \times \hat{1}'_o$	7	1	0.0	8.3	3.4	1.1	-2.9	1.4
	$M3 \times \hat{1}'_o$	5	1	2.5	5.4	-4.3	0.6	-1.0	2.5
	$N \times \hat{1}D_i$	2	1	2.5	4.7	-2.2	0.5	-0.6	1.4
	$M3 \times \hat{1}D_i$	5	1	1.0	5.7	0.1	0.4	-1.7	-0.6
122	$N \times \hat{1}'_o$	7	1	0.0	8.9	4.1	1.2	-1.0	2.4
	$M3 \times \hat{1}'_o$	6	1	0.0	6.6	4.4	0.9	-1.1	2.8
	$N \times \hat{1}D_i$	2	1	2.5	4.7	-1.7	0.8	0.9	0.8
	$M3 \times \hat{1}D_i$	6	1	1.5	6.9	0.1	0.7	0.1	-0.5
123	$N \times \hat{1}'_o$	7	1	2.8	3.6	-6.3	1.2	-0.7	5.4
	$M3 \times \hat{1}'_o$	6	1	2.8	1.5	-6.4	1.4	-0.1	5.6
	$N \times$	3	1	2.8	1.0	-3.8	1.2	0.2	3.7

	$\hat{1}\hat{D}_i$								
	$M3 \times \hat{1}\hat{D}_i$	1	1	0.7	1.9	0.0	1.1	-2.6	-1.4
124	$N \times \hat{1}'\hat{o}$	7	1	2.8	13.1	-5.5	-7.0	-13.2	4.3
	$M3 \times \hat{1}'\hat{o}$	1	1	2.8	10.6	-5.8	-7.7	-14.0	4.5
	$N \times \hat{1}\hat{D}_i$	3	1	2.8	6.0	-3.0	-4.5	-8.5	2.6
	$M3 \times \hat{1}\hat{D}_i$	1	1	0.9	10.6	-0.1	-7.7	0.4	-1.1
125	$N \times \hat{1}'\hat{o}$	4	1	2.5	-27.8	-1.6	2.3	1.4	0.7
	$M3 \times \hat{1}'\hat{o}$	1	1	0.0	-46.4	4.5	2.9	-5.3	2.9
	$N \times \hat{1}\hat{D}_i$	5	1	0.0	-48.3	4.3	3.3	-5.6	2.7
	$M3 \times \hat{1}\hat{D}_i$	1	1	1.5	-46.4	0.1	2.9	-1.0	-0.5
126	$N \times \hat{1}'\hat{o}$	4	1	2.5	-24.1	-1.0	0.3	1.1	-0.0
	$M3 \times \hat{1}'\hat{o}$	1	1	0.0	-38.5	5.3	-0.3	1.7	3.7
	$N \times \hat{1}\hat{D}_i$	5	1	0.0	-40.4	5.1	-0.4	1.9	3.6
	$M3 \times \hat{1}\hat{D}_i$	1	1	1.7	-38.5	0.3	-0.3	1.2	-0.9
127	$N \times \hat{1}'\hat{o}$	4	1	0.2	-26.6	1.9	-0.9	0.9	0.9
	$M3 \times \hat{1}'\hat{o}$	1	1	0.0	-41.8	4.1	-1.0	0.8	2.0
	$N \times \hat{1}\hat{D}_i$	5	1	0.0	-42.7	3.9	-0.6	0.4	2.0
	$M3 \times \hat{1}\hat{D}_i$	1	1	1.2	-41.8	0.3	-1.0	-0.4	-0.7
128	$N \times \hat{1}'\hat{o}$	4	1	2.5	-35.0	-1.9	1.7	1.9	1.0
	$M3 \times \hat{1}'\hat{o}$	1	1	2.5	-56.8	-4.1	1.8	2.3	2.2
	$N \times$	1	1	0.0	-56.	3.5	1.8	-2.2	1.4

	$\hat{1}\mathcal{D}_i$				8				
	$M3 \times \hat{1}\mathcal{D}_i$	1	1	1.2	$-\frac{56}{8}$	-0.3	1.8	0.1	-0.5
129	$N \times \hat{1}'\acute{o}$	4	1	2.8	$-\frac{36}{7}$	-0.6	0.4	2.0	-1.0
	$M3 \times \hat{1}'\acute{o}$	1	1	0.0	$-\frac{59}{5}$	6.5	0.6	1.9	5.2
	$N \times \hat{1}\mathcal{D}_i$	1	1	0.0	$-\frac{59}{5}$	6.5	0.6	1.9	5.2
	$M3 \times \hat{1}\mathcal{D}_i$	1	1	2.1	$-\frac{59}{5}$	0.1	0.6	3.0	-1.7
130	$N \times \hat{1}'\acute{o}$	3	1	1.9	$-\frac{40}{1}$	-4.9	0.6	2.5	3.7
	$M3 \times \hat{1}'\acute{o}$	7	1	1.9	$-\frac{61}{2}$	-7.8	-0.1	3.2	5.6
	$N \times \hat{1}\mathcal{D}_i$	7	1	0.0	$-\frac{61}{4}$	-2.4	0.3	3.0	-3.9
	$M3 \times \hat{1}\mathcal{D}_i$	7	1	0.0	$-\frac{61}{4}$	-2.4	0.3	3.0	-3.9
131	$N \times \hat{1}'\acute{o}$	3	1	2.3	$-\frac{44}{1}$	-2.6	-1.5	-1.2	2.0
	$M3 \times \hat{1}'\acute{o}$	1	1	2.3	$-\frac{64}{4}$	-4.5	-2.3	-1.6	2.9
	$N \times \hat{1}\mathcal{D}_i$	7	1	0.0	$-\frac{68}{0}$	2.2	-1.9	3.4	0.4
	$M3 \times \hat{1}\mathcal{D}_i$	7	1	0.8	$-\frac{67}{9}$	0.0	-2.0	1.9	-0.5
132	$N \times \hat{1}'\acute{o}$	3	1	2.3	$-\frac{38}{0}$	-1.1	0.0	-1.0	0.1
	$M3 \times \hat{1}'\acute{o}$	1	1	0.0	$-\frac{53}{7}$	4.8	-0.4	-0.9	3.0
	$N \times \hat{1}\mathcal{D}_i$	7	1	0.0	$-\frac{57}{6}$	4.6	-0.2	-0.7	2.9
	$M3 \times \hat{1}\mathcal{D}_i$	1	1	1.5	$-\frac{53}{7}$	0.1	-0.4	-1.5	-0.8
133	$N \times \hat{1}'\acute{o}$	3	1	2.3	$-\frac{29}{6}$	-2.7	0.3	-0.5	1.8
	$M3 \times \hat{1}'\acute{o}$	1	1	2.3	$-\frac{40}{4}$	-5.1	0.2	-1.1	3.2
	$N \times$	7	1	0.0	-44.	1.8	0.1	-1.5	-0.5

	$\hat{1}\hat{D}_i$				2				
	$M3 \times \hat{1}\hat{D}_i$	1	1	0.6	-40.4	0.1	0.2	-1.4	-1.2
134	$N \times \hat{1}'\hat{o}$	3	1	2.2	-27.9	-2.5	0.8	0.8	1.8
	$M3 \times \hat{1}'\hat{o}$	1	1	2.2	-39.8	-5.1	1.3	1.2	3.5
	$N \times \hat{1}\hat{D}_i$	7	1	0.0	-42.9	1.5	1.9	-2.3	-0.3
	$M3 \times \hat{1}\hat{D}_i$	1	1	0.5	-39.8	-0.1	1.3	-0.9	-0.8
135	$N \times \hat{1}'\hat{o}$	3	1	2.2	-26.5	-0.6	0.6	1.3	-0.2
	$M3 \times \hat{1}'\hat{o}$	5	1	0.0	-39.7	4.4	0.4	0.6	2.9
	$N \times \hat{1}\hat{D}_i$	7	1	0.0	-41.8	4.4	0.7	0.6	2.9
	$M3 \times \hat{1}\hat{D}_i$	2	1	1.8	-30.4	0.1	-0.0	0.8	-0.5
136	$N \times \hat{1}'\hat{o}$	3	1	0.0	-15.8	0.1	1.7	-4.6	-1.1
	$M3 \times \hat{1}'\hat{o}$	1	1	2.4	-24.5	-6.4	2.7	-0.9	5.2
	$N \times \hat{1}\hat{D}_i$	7	1	2.4	-26.4	-6.2	2.8	-0.9	5.1
	$M3 \times \hat{1}\hat{D}_i$	7	1	0.2	-26.2	0.3	2.3	-6.7	-1.6
137	$N \times \hat{1}'\hat{o}$	2	1	0.0	7.5	113.1	0.5	-1.3	517.0
	$M3 \times \hat{1}'\hat{o}$	1	1	0.0	-7.1	163.4	0.7	-0.7	752.7
	$N \times \hat{1}\hat{D}_i$	3	1	0.0	-21.4	119.1	0.9	-0.8	551.3
	$M3 \times \hat{1}\hat{D}_i$	2	1	2.7	7.5	98.8	0.5	-0.1	229.6
138	$N \times \hat{1}'\hat{o}$	2	1	0.0	7.3	-67.1	-1.5	3.0	83.8
	$M3 \times \hat{1}'\hat{o}$	1	1	2.0	-7.5	-112.7	-2.4	-1.1	332.4
	$N \times$	3	1	0.0	-21.	-72.	-1.7	1.6	90.9

	\hat{D}_i				7	7			
	$M3 \times \hat{D}_i$	2	1	0.0	7.3	-67.1	-1.5	3.0	83.8
139	$N \times \hat{\delta}$	2	1	0.0	4.3	43.1	1.0	-3.0	86.9
	$M3 \times \hat{\delta}$	6	1	0.0	-11.7	61.3	0.2	-2.6	123.2
	$N \times \hat{D}_i$	3	1	0.0	-11.7	47.6	-0.2	-1.4	94.6
	$M3 \times \hat{D}_i$	3	1	2.0	-11.7	37.3	-0.2	-1.8	9.1
140	$N \times \hat{\delta}$	2	1	0.9	4.2	-9.7	0.6	0.2	-0.6
	$M3 \times \hat{\delta}$	1	1	2.3	-3.7	-20.0	1.0	1.9	20.9
	$N \times \hat{D}_i$	3	1	0.2	-11.0	-5.9	0.8	-0.1	-6.6
	$M3 \times \hat{D}_i$	1	1	0.0	-3.7	-7.8	1.0	-0.4	-10.4
141	$N \times \hat{\delta}$	5	1	0.9	75.3	162.7	-3.2	-8.2	613.4
	$M3 \times \hat{\delta}$	1	1	0.0	65.3	169.7	-2.1	-7.8	766.2
	$N \times \hat{D}_i$	3	1	0.2	32.3	114.8	-0.1	-8.7	491.9
	$M3 \times \hat{D}_i$	3	1	2.7	32.3	101.6	-0.1	-8.8	222.9
142	$N \times \hat{\delta}$	5	1	0.5	76.1	-108.8	4.4	7.4	157.3
	$M3 \times \hat{\delta}$	5	1	2.0	76.1	-118.7	4.4	14.0	329.6
	$N \times \hat{D}_i$	3	1	1.7	32.7	-79.5	2.8	7.9	196.5
	$M3 \times \hat{D}_i$	3	1	0.0	32.7	-70.2	2.8	3.2	71.0
143	$N \times \hat{\delta}$	2	1	0.2	11.1	40.6	15.3	6.0	77.5
	$M3 \times \hat{\delta}$	5	1	0.0	10.5	53.6	20.5	5.1	109.7
	$N \times$	3	1	0.0	-3.3	37.6	13.1	3.1	75.3

	$\hat{1}D_i$								
	$M3 \times \hat{1}D_i$	3	1	2.0	-3.3	27.2	13.1	29.6	9.9
144	$N \times \hat{1}'_o$	2	1	0.0	7.3	-4.9	-15.0	-0.1	-7.9
	$M3 \times \hat{1}'_o$	5	1	2.3	5.5	-19.4	-20.3	-45.8	19.4
	$N \times \hat{1}D_i$	6	1	0.4	-6.4	-8.7	-18.5	-6.9	-8.0
	$M3 \times \hat{1}D_i$	1	1	0.0	-0.2	-7.3	-20.0	0.0	-11.1
145	$N \times \hat{1}'_o$	2	1	1.3	-2.4	-4.9	0.0	-0.0	-2.1
	$M3 \times \hat{1}'_o$	1	1	3.9	-6.7	-14.2	0.0	0.0	25.1
	$N \times \hat{1}D_i$	6	1	1.6	-8.1	-7.6	0.0	0.0	-1.3
	$M3 \times \hat{1}D_i$	1	1	0.0	-6.7	-5.1	0.0	-0.0	-11.5
146	$N \times \hat{1}'_o$	4	1	0.3	-0.4	-5.3	0.0	-0.0	-5.5
	$M3 \times \hat{1}'_o$	1	1	3.4	-3.5	-16.0	0.0	0.0	27.8
	$N \times \hat{1}D_i$	5	1	0.0	-3.7	-7.1	0.0	-0.0	-10.3
	$M3 \times \hat{1}D_i$	1	1	0.0	-3.5	-7.6	0.0	-0.0	-10.9
147	$N \times \hat{1}'_o$	5	1	0.7	6.0	-5.6	-0.0	0.0	-7.7
	$M3 \times \hat{1}'_o$	1	1	3.9	2.7	-14.3	-0.0	-0.0	25.4
	$N \times \hat{1}D_i$	3	1	0.0	-2.4	-3.9	-0.0	0.0	-8.5
	$M3 \times \hat{1}D_i$	6	1	0.0	-1.0	-5.3	-0.0	0.0	-12.0
148	$N \times \hat{1}'_o$	7	1	0.0	6.6	-7.2	-0.0	0.0	-10.6
	$M3 \times \hat{1}'_o$	1	1	3.4	3.9	-15.9	-0.0	-0.0	27.3
	$N \times$	2	1	0.0	1.9	-5.3	-0.0	0.0	-7.7

	$\hat{1}\mathcal{D}_i$								
	$M3 \times \hat{1}\mathcal{D}_i$	5	1	0.0	3.1	-7.5	-0.0	0.0	-11.1
149	$N \times \hat{1}'_o$	2	1	0.2	2.2	0.6	-0.0	-0.1	0.3
	$M3 \times \hat{1}'_o$	1	1	0.0	-2.2	0.8	0.3	-0.4	0.4
	$N \times \hat{1}\mathcal{D}_i$	6	1	0.0	-5.5	0.8	0.6	-0.5	0.4
	$M3 \times \hat{1}\mathcal{D}_i$	1	1	1.1	-2.2	0.0	0.3	-0.1	-0.1
150	$N \times \hat{1}'_o$	2	1	0.0	5.5	0.8	-0.1	-0.2	0.4
	$M3 \times \hat{1}'_o$	1	1	0.0	-0.5	1.0	0.4	-0.5	0.5
	$N \times \hat{1}\mathcal{D}_i$	3	1	0.0	-6.1	0.8	0.6	-0.5	0.4
	$M3 \times \hat{1}\mathcal{D}_i$	1	1	1.2	-0.5	0.0	0.4	-0.0	-0.3
151	$N \times \hat{1}'_o$	5	1	0.2	7.0	0.8	0.0	-0.1	0.1
	$M3 \times \hat{1}'_o$	1	1	2.3	3.5	-1.7	0.3	0.4	0.8
	$N \times \hat{1}\mathcal{D}_i$	3	1	0.8	-2.0	0.3	0.4	-0.0	-0.2
	$M3 \times \hat{1}\mathcal{D}_i$	1	1	1.2	3.5	-0.1	0.3	0.1	-0.3
152	$N \times \hat{1}'_o$	5	1	0.0	10.1	1.2	-0.3	0.2	0.6
	$M3 \times \hat{1}'_o$	1	1	2.3	7.7	-2.0	0.1	0.1	0.7
	$N \times \hat{1}\mathcal{D}_i$	3	1	0.0	1.8	0.8	0.4	-0.2	0.4
	$M3 \times \hat{1}\mathcal{D}_i$	1	1	1.2	7.7	0.1	0.1	0.1	-0.3
153	$N \times \hat{1}'_o$	5	1	2.1	7.1	-1.6	-0.4	-0.3	0.5
	$M3 \times \hat{1}'_o$	1	1	2.3	5.0	-1.8	-0.3	-0.4	0.9
	$N \times$	3	1	0.0	0.6	0.7	-0.6	0.4	0.2

	$\hat{1}D_i$								
	$M3 \times \hat{1}D_i$	1	1	1.2	5.0	-0.1	-0.3	-0.1	-0.3
154	$N \times \hat{1}'_o$	2	1	0.2	4.3	0.7	-0.5	0.3	0.2
	$M3 \times \hat{1}'_o$	1	1	0.0	0.5	1.1	-0.4	0.5	0.5
	$N \times \hat{1}D_i$	3	1	0.0	-3.5	0.7	-0.0	0.3	0.3
	$M3 \times \hat{1}D_i$	1	1	1.2	0.5	0.1	-0.4	0.0	-0.3
155	$N \times \hat{1}'_o$	2	1	0.0	1.8	0.7	0.2	0.1	0.4
	$M3 \times \hat{1}'_o$	1	1	0.0	-1.8	0.9	-0.3	0.4	0.5
	$N \times \hat{1}D_i$	6	1	0.0	-4.4	0.9	-0.6	0.5	0.5
	$M3 \times \hat{1}D_i$	1	1	1.3	-1.8	-0.1	-0.3	0.0	-0.1
156	$N \times \hat{1}'_o$	5	1	0.6	12.9	0.4	-0.3	0.1	0.0
	$M3 \times \hat{1}'_o$	1	1	0.0	12.3	0.6	-0.2	0.3	0.4
	$N \times \hat{1}D_i$	4	1	1.9	6.4	-0.3	-0.2	-0.1	0.1
	$M3 \times \hat{1}D_i$	5	1	1.1	12.9	0.0	-0.2	0.0	-0.1
157	$N \times \hat{1}'_o$	5	1	0.0	3.9	0.8	-0.6	0.4	0.4
	$M3 \times \hat{1}'_o$	1	1	2.3	1.3	-0.9	-0.3	-0.3	0.4
	$N \times \hat{1}D_i$	3	1	0.2	-3.0	0.6	0.1	0.1	0.2
	$M3 \times \hat{1}D_i$	1	1	1.2	1.3	-0.0	-0.3	-0.0	-0.2
158	$N \times \hat{1}'_o$	2	1	0.0	-4.5	0.6	-0.4	0.2	0.2
	$M3 \times \hat{1}'_o$	1	1	2.3	$-\frac{10}{2}$	-1.6	-0.2	-0.2	0.8
	$N \times$	6	1	0.0	-12.	0.7	0.2	0.0	0.2

	\hat{D}_i				5				
	$M3 \times \hat{D}_i$	1	1	1.2	-10.2	-0.1	-0.2	-0.0	-0.3
159	$N \times \hat{\delta}$	2	1	0.0	-10.8	0.7	-0.4	0.2	0.3
	$M3 \times \hat{\delta}$	1	1	2.3	-19.6	-1.9	-0.1	-0.1	0.7
	$N \times \hat{D}_i$	6	1	0.0	-21.3	1.1	0.2	-0.1	0.5
	$M3 \times \hat{D}_i$	1	1	1.2	-19.6	0.1	-0.1	-0.0	-0.3
160	$N \times \hat{\delta}$	2	1	0.8	-7.7	0.2	0.3	0.0	-0.1
	$M3 \times \hat{\delta}$	1	1	2.3	-13.7	-1.7	0.2	0.2	0.8
	$N \times \hat{D}_i$	6	1	0.0	-14.9	0.8	-0.2	0.0	0.3
	$M3 \times \hat{D}_i$	1	1	1.2	-13.7	-0.1	0.2	0.0	-0.3
161	$N \times \hat{\delta}$	5	1	0.0	1.2	0.9	0.0	-0.3	0.5
	$M3 \times \hat{\delta}$	1	1	0.0	-0.7	1.0	0.3	-0.4	0.5
	$N \times \hat{D}_i$	3	1	2.1	-3.3	-0.6	-0.1	0.1	0.2
	$M3 \times \hat{D}_i$	1	1	1.2	-0.7	0.1	0.3	-0.0	-0.2
162	$N \times \hat{\delta}$	7	1	2.2	12.9	-0.5	0.2	0.1	0.2
	$M3 \times \hat{\delta}$	1	1	0.0	11.5	0.8	0.2	-0.3	0.4
	$N \times \hat{D}_i$	3	1	1.8	6.9	-0.3	0.3	0.1	0.0
	$M3 \times \hat{D}_i$	1	1	1.1	11.5	0.1	0.2	-0.1	-0.1
163	$N \times \hat{\delta}$	5	1	0.2	44.9	-1.7	4.6	-8.7	-3.6
	$M3 \times \hat{\delta}$	5	1	2.2	44.9	-7.6	5.1	1.0	5.7
	$N \times$	3	1	0.0	27.2	-1.2	4.1	-7.1	-2.7

	$\hat{1}D_i$								
	$M3 \times \hat{1}D_i$	5	1	0.0	44.9	-1.2	4.6	-9.6	-3.9
164	$N \times \hat{1}'_o$	5	1	0.0	46.9	3.9	2.7	-2.1	1.9
	$M3 \times \hat{1}'_o$	6	1	0.0	38.8	4.1	3.4	-2.0	2.3
	$N \times \hat{1}D_i$	3	1	0.0	27.5	2.0	2.4	-1.3	1.0
	$M3 \times \hat{1}D_i$	1	1	1.3	44.1	-0.0	3.2	2.2	-0.7
165	$N \times \hat{1}'_o$	5	1	0.0	43.3	6.0	1.2	2.7	4.3
	$M3 \times \hat{1}'_o$	1	1	0.0	40.0	6.3	1.5	2.8	4.6
	$N \times \hat{1}D_i$	3	1	0.0	24.8	3.4	1.2	1.8	2.6
	$M3 \times \hat{1}D_i$	1	1	1.9	40.0	0.3	1.5	5.6	-1.9
166	$N \times \hat{1}'_o$	5	1	0.0	41.1	3.3	-0.9	5.5	1.1
	$M3 \times \hat{1}'_o$	7	1	2.3	36.2	-3.7	-0.5	4.1	1.6
	$N \times \hat{1}D_i$	3	1	0.2	23.1	1.5	0.0	3.4	0.3
	$M3 \times \hat{1}D_i$	1	1	1.2	37.5	-0.1	-0.5	4.9	-0.7
167	$N \times \hat{1}'_o$	5	1	0.2	45.4	0.3	-1.7	4.7	-1.8
	$M3 \times \hat{1}'_o$	1	1	2.3	41.8	-6.4	-1.4	2.1	4.6
	$N \times \hat{1}D_i$	3	1	0.0	25.5	0.3	-0.6	3.7	-1.0
	$M3 \times \hat{1}D_i$	7	1	0.2	40.5	0.1	-1.4	4.9	-1.9
168	$N \times \hat{1}'_o$	5	1	0.8	48.7	1.4	-3.1	1.6	-0.2
	$M3 \times \hat{1}'_o$	5	1	0.0	48.7	3.7	-3.3	4.1	1.7
	$N \times$	3	1	0.0	27.8	2.1	-1.9	3.3	1.1

	\hat{D}_i								
	$M3 \times \hat{D}_i$	1	1	1.2	45.6	0.1	-3.3	0.8	-0.6
169	$N \times \hat{\delta}$	5	1	0.0	46.2	-3.0	-5.1	9.8	-4.8
	$M3 \times \hat{\delta}$	5	1	1.9	46.2	-8.5	-5.5	-0.1	5.9
	$N \times \hat{D}_i$	3	1	0.0	27.5	-2.3	-4.4	7.4	-3.2
	$M3 \times \hat{D}_i$	5	1	0.0	46.2	-3.0	-5.1	9.8	-4.8
170	$N \times \hat{\delta}$	2	1	0.0	-57. 6	-0.7	3.2	-4.2	-1.3
	$M3 \times \hat{\delta}$	1	1	1.9	-91. 5	-5.7	4.6	2.1	3.8
	$N \times \hat{D}_i$	6	1	0.0	-96. 4	-0.2	4.2	-6.2	-1.7
	$M3 \times \hat{D}_i$	6	1	0.0	-96. 4	-0.2	4.2	-6.2	-1.7
171	$N \times \hat{\delta}$	2	1	0.0	-48. 4	1.6	1.3	-0.2	0.7
	$M3 \times \hat{\delta}$	1	1	0.0	-78. 2	3.8	1.5	-0.6	1.9
	$N \times \hat{D}_i$	6	1	0.0	-83. 7	3.5	1.1	-0.5	1.7
	$M3 \times \hat{D}_i$	1	1	1.2	-78. 2	0.3	1.5	1.2	-0.4
172	$N \times \hat{\delta}$	2	1	0.0	-42. 0	3.1	0.6	0.8	2.4
	$M3 \times \hat{\delta}$	1	1	0.0	-67. 2	6.2	0.5	1.0	4.5
	$N \times \hat{D}_i$	6	1	0.0	-72. 8	5.9	0.3	0.8	4.3
	$M3 \times \hat{D}_i$	7	1	2.1	-66. 2	-0.1	0.5	2.1	-1.8
173	$N \times \hat{\delta}$	2	1	0.0	-37. 1	1.7	0.5	0.8	0.6
	$M3 \times \hat{\delta}$	7	1	0.0	-57. 2	3.5	0.5	1.3	1.4
	$N \times$	6	1	0.2	-63.	2.8	0.6	1.5	0.6

	$\hat{1}D_i$				7				
	$M3 \times \hat{1}D_i$	1	1	1.2	-58. 2	0.0	0.6	2.0	-0.7
174	$N \times \hat{1}'_o$	2	1	0.0	-41. 4	0.1	0.0	1.5	-1.2
	$M3 \times \hat{1}'_o$	1	1	2.3	-64. 7	-6.3	-0.9	1.2	4.6
	$N \times \hat{1}D_i$	6	1	0.0	-69. 4	0.6	-1.5	3.8	-1.8
	$M3 \times \hat{1}D_i$	1	1	0.2	-64. 7	0.1	-0.9	3.1	-1.9
175	$N \times \hat{1}'_o$	2	1	0.0	-49. 0	1.3	-0.6	2.1	0.4
	$M3 \times \hat{1}'_o$	1	1	2.3	-77. 0	-4.5	-1.5	-0.1	2.7
	$N \times \hat{1}D_i$	6	1	0.2	-81. 1	1.8	-1.6	2.7	0.0
	$M3 \times \hat{1}D_i$	1	1	0.8	-77. 0	0.2	-1.5	2.1	-0.6
176	$N \times \hat{1}'_o$	2	1	0.0	-57. 5	0.0	-3.3	4.6	-1.0
	$M3 \times \hat{1}'_o$	1	1	2.2	-89. 5	-5.5	-4.6	-2.8	3.8
	$N \times \hat{1}D_i$	6	1	0.7	-93. 1	-1.1	-4.4	3.8	-0.9
	$M3 \times \hat{1}D_i$	6	1	0.4	-93. 1	-0.1	-4.3	5.4	-1.2
177	$N \times \hat{1}'_o$	6	1	0.0	63.8	160. 6	-9.4	26.7	665. 1
	$M3 \times \hat{1}'_o$	1	1	0.0	56.8	163. 3	-5.4	16.3	673. 0
	$N \times \hat{1}D_i$	4	1	0.0	26.1	113. 0	-6.9	20.1	455. 7
	$M3 \times \hat{1}D_i$	4	1	2.7	26.1	98.7	-6.9	1.2	168. 6
178	$N \times \hat{1}'_o$	6	1	0.0	63.2	-102 .1	-4.5	8.1	25.9
	$M3 \times \hat{1}'_o$	1	1	2.1	56.4	-117 .0	-2.2	-1.8	253. 2
	$N \times$	4	1	0.9	25.7	-74.	-2.8	2.1	75.1

	\hat{D}_i					3			
	$M3 \times \hat{D}_i$	4	1	0.0	25.7	-69.5	-2.8	4.5	12.8
179	$N \times \hat{\delta}$	6	1	0.0	74.2	66.0	2.7	-7.8	28.7
	$M3 \times \hat{\delta}$	6	1	0.0	74.2	66.0	2.7	-7.8	28.7
	$N \times \hat{D}_i$	4	1	0.0	38.1	46.3	2.2	-4.4	15.1
	$M3 \times \hat{D}_i$	1	1	2.1	69.4	54.9	2.1	1.8	-99.8
180	$N \times \hat{\delta}$	6	1	0.0	74.2	-6.8	2.4	-3.1	-116.8
	$M3 \times \hat{\delta}$	2	1	2.1	43.7	-13.3	-1.2	-4.9	-63.5
	$N \times \hat{D}_i$	4	1	2.1	38.7	-13.0	0.6	-0.3	-65.7
	$M3 \times \hat{D}_i$	1	1	0.0	69.7	-6.0	0.7	-3.3	-117.3
181	$N \times \hat{\delta}$	6	1	0.0	11.8	155.1	-5.3	13.2	635.7
	$M3 \times \hat{\delta}$	1	1	0.0	2.0	161.1	2.3	-7.7	662.4
	$N \times \hat{D}_i$	4	1	0.9	-14.2	112.3	-3.7	5.4	379.7
	$M3 \times \hat{D}_i$	3	1	2.7	11.3	98.9	-7.0	-0.9	173.8
182	$N \times \hat{\delta}$	6	1	0.0	11.1	-96.8	0.1	1.0	22.7
	$M3 \times \hat{\delta}$	1	1	2.1	1.8	-114.7	3.5	1.5	248.8
	$N \times \hat{D}_i$	4	1	0.3	-14.6	-75.1	0.4	0.7	47.5
	$M3 \times \hat{D}_i$	3	1	0.0	10.6	-69.4	-1.3	3.7	18.4
183	$N \times \hat{\delta}$	3	1	1.9	4.3	36.8	-0.2	-4.1	-59.0
	$M3 \times \hat{\delta}$	7	1	0.0	-11.5	64.9	-1.2	1.6	29.0
	$N \times \hat{D}_i$	4	1	0.0	-12.	50.0	0.0	-0.7	24.4

	$\hat{1}D_i$				5				
	$M3 \times \hat{1}D_i$	1	1	2.1	-3.1	53.5	-3.0	-0.7	-96.3
184	$N \times \hat{1}'_o$	3	1	0.0	4.2	-3.8	1.1	1.9	-78.6
	$M3 \times \hat{1}'_o$	3	1	2.1	4.2	-14.5	1.1	4.2	-59.3
	$N \times \hat{1}D_i$	4	1	2.1	-11.6	-16.3	-0.7	0.7	-62.4
	$M3 \times \hat{1}D_i$	7	1	0.0	-10.4	-7.7	-0.5	2.3	-114.4
185	$N \times \hat{1}'_o$	4	1	0.0	0.9	-10.1	-0.4	0.3	-4.6
	$M3 \times \hat{1}'_o$	1	1	1.1	-0.1	-16.7	-0.4	-0.2	11.1
	$N \times \hat{1}D_i$	6	1	0.1	-1.0	-13.9	-0.4	0.3	-4.6
	$M3 \times \hat{1}D_i$	5	1	0.0	0.7	-15.5	-0.5	0.3	-6.9
186	$N \times \hat{1}'_o$	4	1	0.0	2.0	-11.0	-0.1	-0.0	-2.8
	$M3 \times \hat{1}'_o$	1	1	1.4	-2.6	-18.4	-0.0	-0.0	20.2
	$N \times \hat{1}D_i$	6	1	1.4	-3.2	-18.0	-0.1	-0.0	19.4
	$M3 \times \hat{1}D_i$	6	1	0.0	-2.8	-16.2	0.0	-0.0	-5.0
187	$N \times \hat{1}'_o$	7	1	0.0	4.8	-16.2	0.1	-0.1	-6.1
	$M3 \times \hat{1}'_o$	6	1	1.1	4.4	-18.9	0.2	0.0	13.6
	$N \times \hat{1}D_i$	2	1	0.8	2.5	-11.0	0.0	-0.0	4.6
	$M3 \times \hat{1}D_i$	1	1	0.0	4.4	-17.3	0.1	-0.2	-6.7
188	$N \times \hat{1}'_o$	7	1	0.0	7.4	-15.8	0.0	-0.1	-5.5
	$M3 \times \hat{1}'_o$	1	1	1.4	5.8	-18.8	0.1	0.1	19.8
	$N \times$	3	1	1.4	2.3	-11.	0.0	0.1	12.2

	\hat{D}_i					5			
	$M3 \times \hat{D}_i$	1	1	0.0	5.8	-17.0	0.1	-0.1	-5.7
189	$N \times \hat{\delta}$	3	1	0.0	-2.5	11.9	0.1	-0.0	16.9
	$M3 \times \hat{\delta}$	1	1	0.0	-5.5	18.1	0.0	-0.0	25.3
	$N \times \hat{D}_i$	5	1	0.2	-6.6	17.0	0.0	0.0	20.6
	$M3 \times \hat{D}_i$	1	1	2.3	-5.5	14.8	0.0	0.1	-12.0
190	$N \times \hat{\delta}$	2	1	0.4	-2.7	10.7	0.0	-0.0	12.5
	$M3 \times \hat{\delta}$	1	1	0.0	-5.1	17.2	0.1	-0.1	26.9
	$N \times \hat{D}_i$	6	1	0.7	-5.7	15.8	0.1	-0.1	14.8
	$M3 \times \hat{D}_i$	1	1	2.7	-5.1	13.4	0.1	0.1	-14.1
191	$N \times \hat{\delta}$	6	1	0.0	6.1	16.9	-0.1	0.0	23.3
	$M3 \times \hat{\delta}$	1	1	0.0	4.3	17.9	-0.1	0.1	24.5
	$N \times \hat{D}_i$	2	1	0.0	0.8	11.9	-0.1	0.1	16.0
	$M3 \times \hat{D}_i$	5	1	2.3	2.3	14.5	-0.1	-0.2	-12.5
192	$N \times \hat{\delta}$	5	1	0.0	8.9	15.7	-0.0	0.1	25.3
	$M3 \times \hat{\delta}$	1	1	0.0	7.9	16.4	-0.0	0.0	26.4
	$N \times \hat{D}_i$	3	1	0.0	3.7	10.7	-0.0	0.0	17.0
	$M3 \times \hat{D}_i$	1	1	2.7	7.9	12.7	-0.0	-0.0	-12.7
193	$N \times \hat{\delta}$	1	1	0.0	3.4	47.2	-118.8	58.9	16.0
	$M3 \times \hat{\delta}$	1	1	0.0	3.4	47.2	-118.8	58.9	16.0
	$N \times$	3	1	0.5	0.3	33.2	-90.	-0.9	-5.4

	$\hat{1}D_i$						9		
	$M3 \times \hat{1}D_i$	1	1	0.5	3.1	47.2	-118.8	-0.5	-7.6
194	$N \times \hat{1}'_o$	2	1	1.4	1.7	-6.0	-37.4	-4.6	2.9
	$M3 \times \hat{1}'_o$	7	1	1.4	-0.3	-8.4	-48.4	-5.1	4.1
	$N \times \hat{1}D_i$	6	1	0.0	-2.3	-7.1	-43.6	56.7	-6.5
	$M3 \times \hat{1}D_i$	7	1	0.0	-1.4	-8.4	-48.8	62.9	-7.7
195	$N \times \hat{1}'_o$	1	1	0.0	4.5	1.4	6.5	-0.1	3.8
	$M3 \times \hat{1}'_o$	6	1	0.0	4.3	2.8	5.7	0.1	4.2
	$N \times \hat{1}D_i$	4	1	0.5	1.7	1.2	3.7	1.5	2.0
	$M3 \times \hat{1}D_i$	3	1	0.5	1.8	2.5	3.3	1.7	1.8
196	$N \times \hat{1}'_o$	2	1	0.0	2.6	4.2	0.2	-0.4	6.9
	$M3 \times \hat{1}'_o$	1	1	0.0	2.2	7.0	0.4	-0.5	10.8
	$N \times \hat{1}D_i$	3	1	3.1	-4.0	4.3	0.2	0.6	-7.2
	$M3 \times \hat{1}D_i$	1	1	3.1	-3.6	7.0	0.4	0.9	-10.9
197	$N \times \hat{1}'_o$	3	1	1.4	-1.9	-0.5	1.7	1.8	-1.2
	$M3 \times \hat{1}'_o$	2	1	1.4	-2.0	-2.3	1.1	1.5	-0.5
	$N \times \hat{1}D_i$	1	1	0.0	-5.5	-1.9	2.5	-0.6	-4.1
	$M3 \times \hat{1}D_i$	5	1	0.0	-5.3	-3.0	2.2	-0.4	-5.1
198	$N \times \hat{1}'_o$	1	1	0.0	9.1	0.6	12.2	-1.9	2.8
	$M3 \times \hat{1}'_o$	6	1	0.0	8.7	0.8	11.7	-1.9	2.9
	$N \times$	4	1	0.5	4.5	0.2	7.4	1.9	1.5

	\hat{D}_i								
	$M3 \times \hat{D}_i$	2	1	0.0	4.9	-0.2	7.6	-1.7	1.4
199	$N \times \hat{\delta}$	2	1	0.0	1.7	3.1	0.7	-1.5	5.3
	$M3 \times \hat{\delta}$	1	1	0.0	1.3	5.5	1.3	-2.0	8.5
	$N \times \hat{D}_i$	6	1	3.1	-3.4	5.0	1.1	1.9	-8.2
	$M3 \times \hat{D}_i$	1	1	3.1	-3.1	5.5	1.3	2.0	-8.6
200	$N \times \hat{\delta}$	3	1	1.4	-5.0	-0.6	2.7	2.0	-0.7
	$M3 \times \hat{\delta}$	2	1	1.4	-5.1	-1.6	1.8	1.5	-0.5
	$N \times \hat{D}_i$	1	1	0.0	-10.5	-1.7	4.1	-2.0	-3.4
	$M3 \times \hat{D}_i$	5	1	0.0	-10.1	-2.5	3.5	-1.6	-4.0
201	$N \times \hat{\delta}$	1	1	0.0	10.3	3.1	12.5	-7.3	2.3
	$M3 \times \hat{\delta}$	6	1	0.0	9.9	3.8	12.0	-7.2	2.6
	$N \times \hat{D}_i$	4	1	0.5	5.1	1.7	8.9	-1.3	0.4
	$M3 \times \hat{D}_i$	4	1	0.5	5.1	1.7	8.9	-1.3	0.4
202	$N \times \hat{\delta}$	2	1	3.1	0.8	-1.6	-2.4	-1.5	2.9
	$M3 \times \hat{\delta}$	6	1	3.1	-1.2	-3.3	-3.7	-3.8	4.7
	$N \times \hat{D}_i$	6	1	0.0	-5.3	-2.5	-3.7	7.7	-4.4
	$M3 \times \hat{D}_i$	5	1	0.0	-3.8	-3.3	-3.1	7.6	-4.8
203	$N \times \hat{\delta}$	3	1	1.4	-6.6	-1.0	-0.2	-2.6	0.1
	$M3 \times \hat{\delta}$	4	1	1.4	-6.7	-1.8	-1.6	-3.3	0.3
	$N \times$	1	1	0.0	-13.	-2.1	-1.1	-1.8	-2.7

	$\hat{1}\hat{D}_i$				1				
	$M3 \times \hat{1}\hat{D}_i$	5	1	0.0	-12.6	-2.7	-2.0	-1.0	-3.3
204	$N \times \hat{1}'\hat{o}$	1	1	0.0	10.9	-1.7	2.4	-4.7	-2.3
	$M3 \times \hat{1}'\hat{o}$	4	1	0.5	5.3	-0.8	2.7	-2.4	-1.0
	$N \times \hat{1}\hat{D}_i$	4	1	0.5	5.3	-0.8	2.7	-2.4	-1.0
	$M3 \times \hat{1}\hat{D}_i$	5	1	0.0	10.4	-2.1	2.0	-4.4	-2.3
205	$N \times \hat{1}'\hat{o}$	4	1	3.1	1.4	0.6	-2.8	-2.7	-1.0
	$M3 \times \hat{1}'\hat{o}$	6	1	0.0	-3.2	1.3	-4.8	9.6	1.6
	$N \times \hat{1}\hat{D}_i$	5	1	0.0	-3.8	0.6	-4.7	9.4	1.3
	$M3 \times \hat{1}\hat{D}_i$	5	1	3.1	0.4	1.4	-4.7	-5.2	-1.9
206	$N \times \hat{1}'\hat{o}$	3	1	1.4	-6.4	0.2	-0.9	-1.3	0.6
	$M3 \times \hat{1}'\hat{o}$	5	1	1.4	-11.5	-0.9	-1.7	-2.4	1.9
	$N \times \hat{1}\hat{D}_i$	1	1	0.0	-13.1	-0.2	-1.5	-0.1	1.0
	$M3 \times \hat{1}\hat{D}_i$	2	1	0.0	-7.7	-1.7	-1.4	-0.1	-0.3
207	$N \times \hat{1}'\hat{o}$	1	1	0.0	7.3	-14.4	5.1	-2.9	-7.2
	$M3 \times \hat{1}'\hat{o}$	7	1	0.5	6.6	-14.1	4.8	-0.4	0.1
	$N \times \hat{1}\hat{D}_i$	4	1	0.5	3.2	-8.6	2.7	-0.7	-0.2
	$M3 \times \hat{1}\hat{D}_i$	1	1	0.0	7.3	-14.4	5.1	-2.9	-7.2
208	$N \times \hat{1}'\hat{o}$	3	1	0.0	1.4	-1.5	-4.0	5.6	-2.8
	$M3 \times \hat{1}'\hat{o}$	1	1	3.1	-3.5	-3.2	-6.1	-10.4	4.8
	$N \times$	5	1	3.1	-3.5	-2.7	-6.0	-10.	4.5

	\hat{D}_i							0	
	$M3 \times \hat{D}_i$	5	1	0.0	0.9	-3.5	-6.0	8.5	-5.1
209	$N \times \hat{\delta}$	2	1	1.4	-3.8	2.2	1.2	0.4	-0.2
	$M3 \times \hat{\delta}$	6	1	0.0	-8.4	6.0	2.2	-1.3	6.0
	$N \times \hat{D}_i$	1	1	0.0	-8.8	5.1	2.2	-1.6	5.5
	$M3 \times \hat{D}_i$	6	1	1.4	-7.3	5.7	2.2	1.8	-2.2
210	$N \times \hat{\delta}$	7	1	0.0	68.7	-169.7	-7.8	7.8	455.2
	$M3 \times \hat{\delta}$	1	1	1.4	55.2	-180.0	-3.0	7.2	696.1
	$N \times \hat{D}_i$	2	1	0.1	30.2	-118.9	-12.8	-0.1	329.4
	$M3 \times \hat{D}_i$	2	1	0.0	30.2	-118.3	-12.8	1.4	315.8
211	$N \times \hat{\delta}$	7	1	0.0	68.7	148.3	1.7	-7.9	455.6
	$M3 \times \hat{\delta}$	7	1	0.0	68.7	148.3	1.7	-7.9	455.6
	$N \times \hat{D}_i$	2	1	0.0	30.2	104.8	-2.2	-1.4	316.2
	$M3 \times \hat{D}_i$	2	1	2.0	30.2	93.5	-2.2	-5.7	117.8
212	$N \times \hat{\delta}$	7	1	0.2	68.7	102.8	1.3	-4.3	157.3
	$M3 \times \hat{\delta}$	7	1	0.0	68.7	103.6	1.3	-4.5	174.5
	$N \times \hat{D}_i$	2	1	0.0	30.3	73.4	-0.5	-5.7	119.5
	$M3 \times \hat{D}_i$	5	1	2.0	44.5	87.0	0.4	-5.2	-25.5
213	$N \times \hat{\delta}$	7	1	0.0	78.0	53.8	2.1	-2.1	-17.2
	$M3 \times \hat{\delta}$	4	1	0.0	61.7	42.4	2.1	-3.1	-8.5
	$N \times$	2	1	0.0	41.4	38.5	2.6	-6.8	-13.

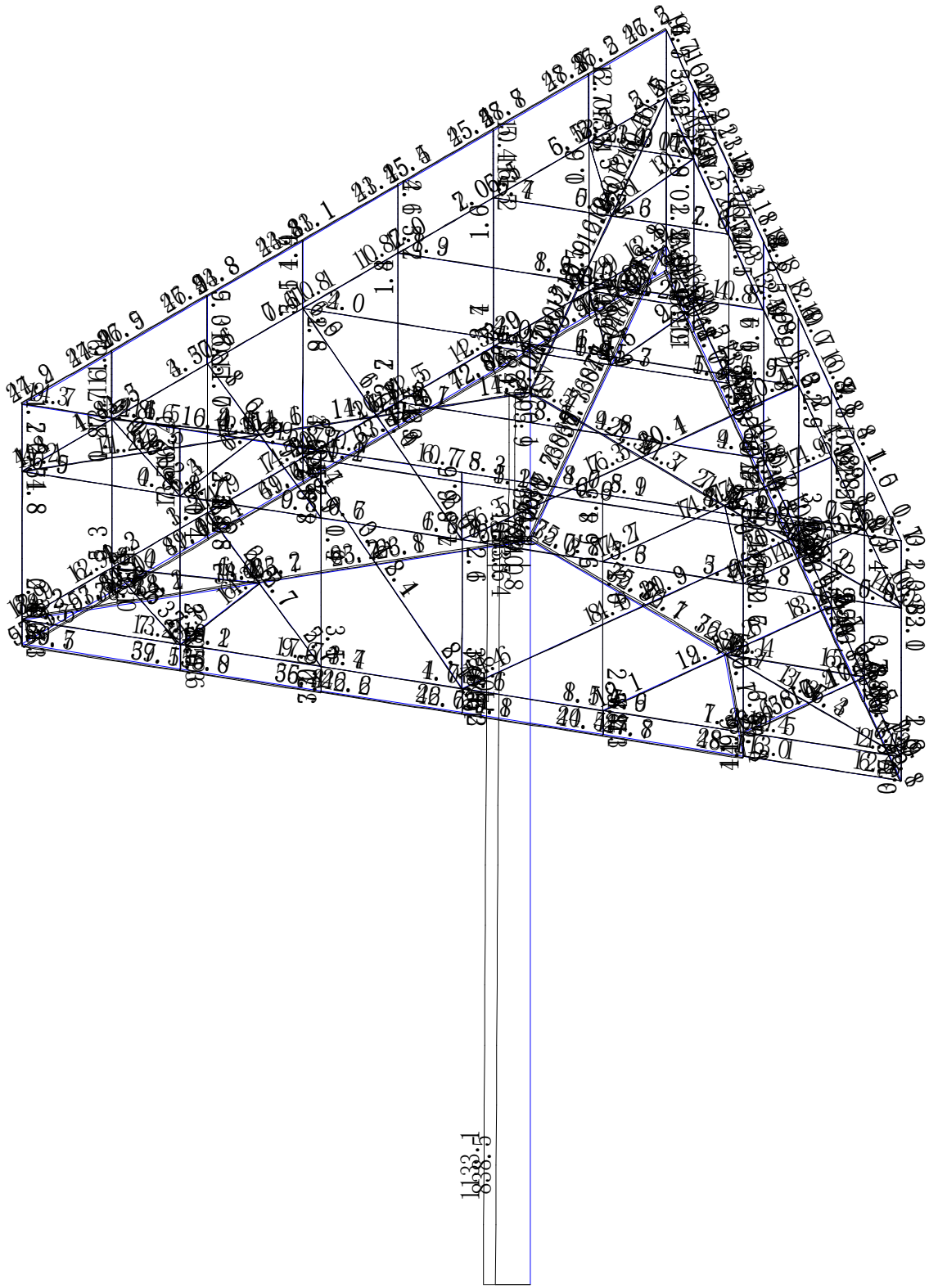
	\hat{D}_i								9
	$M3 \times \hat{D}_i$	1	1	2.0	69.1	42.4	1.0	3.5	-117.1
214	$N \times \hat{\delta}$	7	1	0.0	78.1	7.8	-3.3	1.9	-106.8
	$M3 \times \hat{\delta}$	2	1	0.0	41.8	5.6	-0.4	-1.7	-75.4
	$N \times \hat{D}_i$	2	1	0.4	41.8	3.6	-0.4	-1.8	-77.3
	$M3 \times \hat{D}_i$	6	1	1.6	75.4	-0.1	-6.6	-3.1	-114.7
215	$N \times \hat{\delta}$	4	1	0.0	17.0	-114.8	-6.7	-10.7	302.4
	$M3 \times \hat{\delta}$	1	1	1.4	1.8	-176.5	0.2	-7.1	677.6
	$N \times \hat{D}_i$	2	1	0.0	-12.0	-119.1	-11.9	-13.3	319.4
	$M3 \times \hat{D}_i$	4	1	0.0	17.0	-114.8	-6.7	-10.7	302.4
216	$N \times \hat{\delta}$	4	1	0.3	17.0	99.5	-6.7	8.6	269.2
	$M3 \times \hat{\delta}$	1	1	0.0	1.8	146.4	-4.6	7.4	440.1
	$N \times \hat{D}_i$	2	1	0.0	-12.0	105.6	-9.1	13.4	319.9
	$M3 \times \hat{D}_i$	4	1	2.0	17.0	90.0	-6.7	-2.6	111.4
217	$N \times \hat{\delta}$	4	1	1.8	16.9	60.4	-2.8	-7.6	-6.9
	$M3 \times \hat{\delta}$	1	1	0.0	1.8	101.1	-1.6	-1.6	163.5
	$N \times \hat{D}_i$	2	1	0.0	-12.0	74.4	-3.6	-4.8	121.7
	$M3 \times \hat{D}_i$	1	1	2.0	1.8	88.5	-1.6	-4.8	-26.3
218	$N \times \hat{\delta}$	4	1	0.7	6.6	33.2	3.0	-5.8	-37.4
	$M3 \times \hat{\delta}$	2	1	0.0	-12.0	39.8	4.0	-11.7	-13.4
	$N \times \hat{D}_i$	2	1	0.0	-12.0	39.8	4.0	-11.7	-13.4

	\hat{D}_i				0			7	4
	$M3 \times \hat{D}_i$	1	1	2.0	-4.4	40.7	2.0	-0.5	-114.5
219	$N \times \hat{\delta}$	4	1	0.1	6.4	7.3	1.6	-1.4	-71.8
	$M3 \times \hat{\delta}$	4	1	0.0	6.4	8.0	1.6	-1.7	-70.8
	$N \times \hat{D}_i$	2	1	0.0	-11.5	8.8	2.6	-3.6	-76.0
	$M3 \times \hat{D}_i$	1	1	1.6	-4.0	0.4	1.3	1.8	-112.6
220	$N \times \hat{\delta}$	1	1	0.0	4.6	-0.0	-9.0	1.5	2.5
	$M3 \times \hat{\delta}$	6	1	0.0	4.4	0.5	-9.2	1.7	2.7
	$N \times \hat{D}_i$	8	1	0.5	1.9	-0.1	-5.5	-1.6	1.6
	$M3 \times \hat{D}_i$	2	1	0.0	2.2	-0.7	-4.9	0.9	1.3
221	$N \times \hat{\delta}$	2	1	0.0	1.8	3.6	-2.1	2.9	6.0
	$M3 \times \hat{\delta}$	1	1	0.0	1.6	6.2	-3.3	4.6	9.6
	$N \times \hat{D}_i$	3	1	3.1	-3.2	3.7	-1.9	-3.2	-6.3
	$M3 \times \hat{D}_i$	1	1	3.1	-2.9	6.2	-3.3	-5.7	-9.7
222	$N \times \hat{\delta}$	3	1	1.4	-2.1	-0.0	-2.4	-1.7	-1.2
	$M3 \times \hat{\delta}$	2	1	1.4	-2.3	-1.1	-2.7	-1.7	-0.9
	$N \times \hat{D}_i$	1	1	0.0	-5.7	-0.9	-4.3	2.8	-3.0
	$M3 \times \hat{D}_i$	5	1	0.0	-5.5	-1.8	-4.3	2.8	-3.7

, ÷ D § 0! × e° ïïÄ × î' óÖ § × ù • ' Á! Ée¼EÖμ (μ¥Î»£° kN; çkN. m)

节点号	ì0ÖE	组合号	组合序号	Nx	Ny	Nz	Mx	My	Mz
	$N_x \times \hat{\delta}$	3	1	86.5	0.0	838.	19.3	1512	-18.

1	ó					5		.7	6
	$N_y \times \hat{i}'$	3	1	86.5	0.0	838.5	19.3	1512.7	-18.6
	$N_z \times \hat{i}'$	1	1	-0.0	-0.0	1133.1	15.8	11.7	0.0
	$M_x \times \hat{i}'$	4	1	-0.0	-82.0	838.5	1441.9	13.3	2.4
	$M_y \times \hat{i}'$	3	1	86.5	0.0	838.5	19.3	1512.7	-18.6
	$M_z \times \hat{i}'$	2	1	-78.5	-0.0	838.5	19.3	-1348.0	13.7
	${}^\circ \ddot{A}_i \times \hat{i}'$	1	1	-0.0	-0.0	1133.1	15.8	11.7	0.0
	$N_x \times \hat{i} \Delta$	2	1	-78.5	-0.0	838.5	19.3	-1348.0	13.7
	$N_y \times \hat{i} \Delta$	4	1	-0.0	-82.0	838.5	1441.9	13.3	2.4
	$N_z \times \hat{i} \Delta$	2	1	-78.5	-0.0	838.5	19.3	-1348.0	13.7
	$M_x \times \hat{i} \Delta$	1	1	-0.0	-0.0	1133.1	15.8	11.7	0.0
	$M_y \times \hat{i} \Delta$	2	1	-78.5	-0.0	838.5	19.3	-1348.0	13.7
	$M_z \times \hat{i} \Delta$	3	1	86.5	0.0	838.5	19.3	1512.7	-18.6



ÖαÁ' N ° uÂçÍ¼(μΨÎ»£° kN)

íä¼à M3 ° üÂçÍ¼(μ¥Î»£° kN. m)

ÖáÁ! N × î´óμÄÇ° 10 , öμ¥Ôª μÄÄÚÁ! (μ¥Î»£° M, KN, KN. M)

序号	单元号	组合号	组合序	位置	轴力N	剪力Q2	剪力Q3	扭矩M	弯距M2	弯距M3
1	214	7	1	0.00 0	78.1	7.8	-3.3	41.8	1.9	-106.8
2	213	7	1	0.00 0	78.0	53.8	2.1	39.6	-2.1	-17.2
3	142	5	1	0.50 4	76.1	-108.8	4.4	-5.1	7.4	157.3
4	141	5	1	0.90 5	75.3	162.7	-3.2	-5.3	-8.2	613.4
5	179	6	1	0.00 0	74.2	66.0	2.7	-40.4	-7.8	28.7
6	180	6	1	0.00 0	74.2	-6.8	2.4	-44.2	-3.1	-116.8
7	212	7	1	0.16 7	68.7	102.8	1.3	39.7	-4.3	157.3
8	211	7	1	0.00 0	68.7	148.3	1.7	40.2	-7.9	455.6
9	210	7	1	0.00 0	68.7	-169.7	-7.8	40.8	7.8	455.2
10	177	6	1	0.00 0	63.8	160.6	-9.4	-43.4	26.7	665.1

ÖáÁ! N × îÐ; μÄÇ° 10 , öμ¥Ôª μÄÄÚÁ! (μ¥Î»£° M, KN, KN. M)

序号	单元号	组合号	组合序	位置	轴力N	剪力Q2	剪力Q3	扭矩M	弯距M2	弯距M3
1	1	1	1	0.00 0	-1133. 1	-0.0	-0.0	0.0	15.8	11.7
2	67	1	1	0.00 0	-1035. 4	-0.0	-0.0	0.0	15.8	11.7
3	71	1	1	3.10 0	-520.6	-7.2	0.7	-1.4	-3.8	20.3
4	170	6	1	0.00 0	-96.4	-0.2	4.2	-4.4	-6.2	-1.7
5	176	6	1	0.72 4	-93.1	-1.1	-4.4	5.8	3.8	-0.9

6	171	6	1	0.00 0	-83.7	3.5	1.1	-4.4	-0.5	1.7
7	175	6	1	0.19 2	-81.1	1.8	-1.6	5.1	2.7	0.0
8	172	6	1	0.00 0	-72.8	5.9	0.3	-2.7	0.8	4.3
9	174	6	1	0.00 0	-69.4	0.6	-1.5	2.6	3.8	-1.8
10	131	7	1	0.00 0	-68.0	2.2	-1.9	1.6	3.4	0.4

Íä%ä M3 × î' óμÄÇ° 10 , öμΨÔª μÄÄÜÁ! (μΨÎ»£° M, KN, KN. M)

序号	单元号	组合号	组合序	位置	轴力N	剪力Q2	剪力Q3	扭矩M	弯距M2	弯距M3
1	1	3	1	0.00 0	-838.5	86.5	0.0	-18.6	19.3	1512.7
2	141	1	1	0.00 0	65.3	169.7	-2.1	-5.5	-7.8	766.2
3	137	1	1	0.00 0	-7.1	163.4	0.7	-4.9	-0.7	752.7
4	210	1	1	1.38 2	55.2	-180.0	-3.0	44.6	7.2	696.1
5	215	1	1	1.38 2	1.8	-176.5	0.2	48.7	-7.1	677.6
6	177	1	1	0.00 0	56.8	163.3	-5.4	-39.8	16.3	673.0
7	181	1	1	0.00 0	2.0	161.1	2.3	-44.4	-7.7	662.4
8	211	7	1	0.00 0	68.7	148.3	1.7	40.2	-7.9	455.6
9	216	1	1	0.00 0	1.8	146.4	-4.6	47.9	7.4	440.1
10	138	1	1	2.01 4	-7.5	-112.7	-2.4	-4.5	-1.1	332.4

Íä%ä M3 × îĐ; μÄÇ° 10 , öμΨÔª μÄÄÜÁ! (μΨÎ»£° M, KN, KN. M)

序号	单元号	组合号	组合序	位置	轴力N	剪力Q2	剪力Q3	扭矩M	弯距M2	弯距M3
1	1	2	1	0.00 0	-838.5	-78.5	-0.0	13.7	19.3	-1348. 0

2	67	2	1	0.00 0	-740.8	-78.5	-0.0	13.7	19.3	-171.2
3	180	1	1	0.00 0	69.7	-6.0	0.7	-43.4	-3.3	-117.3
4	213	1	1	2.00 0	69.1	42.4	1.0	42.2	3.5	-117.1
5	214	6	1	1.61 8	75.4	-0.1	-6.6	44.9	-3.1	-114.7
6	218	1	1	2.00 0	-4.4	40.7	2.0	46.3	-0.5	-114.5
7	184	7	1	0.00 0	-10.4	-7.7	-0.5	-51.3	2.3	-114.4
8	219	1	1	1.61 8	-4.0	0.4	1.3	50.1	1.8	-112.6
9	179	1	1	2.08 6	69.4	54.9	2.1	-38.3	1.8	-99.8
10	183	1	1	2.08 6	-3.1	53.5	-3.0	-44.1	-0.7	-96.3

(二). 位移

1. 工况位移

2. 组合位移

表 10 组合位移 (mm)

序号	节点号	组合号	组合序号	X向位移	Y向位移	Z向位移	位移平方和
1	94	3	1	-39.9	0.5	-20.9	45.0
2	93	3	1	-39.8	0.5	-20.7	44.8
3	95	3	1	-39.7	0.6	-20.3	44.6
4	92	3	1	-39.1	0.5	-19.7	43.8
5	96	3	1	-39.1	0.6	-20.8	44.3
6	62	3	1	-38.8	0.7	-22.1	44.7
7	61	3	1	-38.7	0.7	-15.9	41.9
8	60	3	1	-38.5	1.0	-9.4	39.7
9	59	3	1	-38.3	1.4	-4.3	38.6
10	91	3	1	-38.2	0.4	-19.6	42.9

表 10 组合位移 (mm)

序号	节点号	组合号	组合序	X向位	Y向位	Z向位	位移平方
----	-----	-----	-----	-----	-----	-----	------

五、设计验算结果

本工程有1种材料：Q235钢(A3钢)

设计验算结果表 (强度和整体稳定为(应力/设计强度))

单元号	强度	绕2轴整体稳定	绕3轴整体稳定	绕2轴抗剪应力比	绕3轴抗剪应力比	绕2轴长细比	绕3轴长细比	绕2轴W/1	绕3轴W/1	结果
1	0.36	0.36	0.36	0.00	0.00	30	30	1/31777	1/33016	满足
2	0.00	0.00	0.00	0.00	0.00	4	4	1/361	1/376	满足
3	0.66	0.97	1.00	0.25	0.31	3	14	0	0	满足
4	0.51	0.54	0.84	0.02	0.10	19	86	0	0	满足
5	0.67	0.67	0.67	0.05	0.13	9	39	0	0	满足
6	0.30	0.30	0.30	0.06	0.02	3	14	0	0	满足
7	0.30	0.34	0.37	0.02	0.02	19	86	0	0	满足
8	0.10	0.31	0.27	0.03	0.01	9	39	0	0	满足
9	0.07	0.07	0.07	0.01	0.00	9	39	0	0	满足
10	0.13	0.19	0.19	0.03	0.12	3	14	0	0	满足
11	0.19	0.23	0.32	0.01	0.02	19	86	0	0	满足
12	0.48	0.58	0.48	0.11	0.00	138	38	0	0	满足
13	0.21	0.21	0.22	0.10	0.00	43	12	0	0	满足
14	0.26	0.28	0.27	0.05	0.00	50	14	1/6938	0	满足

15	0.2 0	0.20	0.20	0.10	0.00	43	12	0	0	满足
16	0.3 7	0.52	0.37	0.07	0.00	155	42	0	0	满足
17	0.3 8	0.55	0.38	0.07	0.00	155	42	0	0	满足
18	0.4 9	0.61	0.49	0.10	0.00	114	31	0	0	满足
19	0.4 9	0.65	0.50	0.10	0.00	114	31	0	0	满足
20	0.3 6	0.53	0.36	0.07	0.00	155	42	0	0	满足
21	0.3 7	0.51	0.37	0.07	0.00	155	42	0	0	满足
22	0.4 9	0.64	0.49	0.10	0.00	114	31	0	0	满足
23	0.4 7	0.58	0.47	0.10	0.00	114	31	0	0	满足
24	0.4 0	0.41	0.40	0.11	0.00	73	20	0	0	满足
25	0.4 2	0.44	0.42	0.12	0.00	73	20	0	0	满足
26	0.4 2	0.44	0.42	0.12	0.00	73	20	0	0	满足
27	0.4 2	0.43	0.42	0.12	0.00	73	20	0	0	满足
28	0.2 2	0.22	0.22	0.12	0.00	33	9	1/549 5	0	满足
29	0.1 9	0.19	0.20	0.10	0.00	33	9	1/667 0	0	满足
30	0.2 5	0.25	0.25	0.11	0.00	33	9	0	0	满足
31	0.2 3	0.23	0.24	0.11	0.00	33	9	0	0	满足
32	0.2 1	0.21	0.21	0.03	0.01	9	39	0	0	满足
33	0.0 4	0.04	0.04	0.01	0.00	3	14	0	0	满足
34	0.1 3	0.23	0.21	0.02	0.01	9	39	0	0	满足

35	0.3 9	0.43	0.39	0.12	0.00	82	22	0	0	满足
36	0.2 3	0.23	0.23	0.09	0.00	50	14	1/789 1	0	满足
37	0.1 5	0.15	0.15	0.01	0.01	3	14	0	0	满足
38	0.2 2	0.26	0.34	0.01	0.03	19	86	0	0	满足
39	0.1 0	0.12	0.11	0.02	0.01	9	39	0	0	满足
40	0.1 8	0.18	0.18	0.01	0.00	3	14	0	0	满足
41	0.3 5	0.39	0.49	0.02	0.04	19	86	0	0	满足
42	0.0 7	0.23	0.19	0.02	0.00	9	39	0	0	满足
43	0.1 3	0.25	0.21	0.08	0.01	3	14	0	0	满足
44	0.1 7	0.20	0.23	0.01	0.02	19	86	0	0	满足
45	0.2 6	0.26	0.26	0.04	0.01	9	39	0	0	满足
46	0.3 2	0.35	0.46	0.02	0.04	19	86	0	0	满足
47	0.0 8	0.24	0.20	0.02	0.00	9	39	0	0	满足
48	0.0 9	0.13	0.12	0.04	0.00	3	14	0	0	满足
49	0.1 6	0.19	0.30	0.01	0.03	19	86	0	0	满足
50	0.1 3	0.25	0.30	0.02	0.00	39	121	0	0	满足
51	0.1 2	0.24	0.20	0.02	0.00	39	121	0	0	满足
52	0.1 1	0.19	0.23	0.02	0.00	44	136	0	0	满足
53	0.1 1	0.18	0.19	0.02	0.00	44	136	0	1/566 02	满足
54	0.4 5	0.47	0.45	0.12	0.00	94	26	0	0	满足

55	0.4 8	0.53	0.48	0.12	0.00	120	33	0	0	满足
56	0.5 1	0.55	0.86	0.02	0.10	19	86	0	0	满足
57	0.4 9	0.63	0.50	0.12	0.00	120	33	0	0	满足
58	0.4 8	0.66	0.49	0.11	0.00	138	38	0	0	满足
59	0.4 7	0.55	0.47	0.12	0.00	94	26	0	0	满足
60	0.3 8	0.38	0.38	0.12	0.00	82	22	0	0	满足
61	0.1 1	0.19	0.21	0.02	0.00	38	117	0	0	满足
62	0.1 0	0.16	0.20	0.01	0.00	38	117	0	1/765 66	满足
63	0.1 1	0.16	0.13	0.02	0.00	38	117	0	0	满足
64	0.1 0	0.16	0.17	0.01	0.00	38	117	0	0	满足
65	0.1 6	0.16	0.16	0.04	0.01	3	14	0	0	满足
66	0.0 7	0.07	0.11	0.00	0.01	19	86	0	0	满足
67	0.2 3	0.23	0.23	0.00	0.00	1	1	0	0	满足
68	0.2 1	0.23	0.26	0.01	0.02	19	86	0	0	满足
69	0.0 8	0.22	0.19	0.02	0.00	9	39	0	0	满足
70	0.2 4	0.24	0.24	0.05	0.01	3	14	0	0	满足
71	0.1 3	0.13	0.13	0.00	0.00	9	9	0	0	满足
72	0.1 4	0.14	0.14	0.02	0.00	43	132	0	0	满足
73	0.1 3	0.21	0.25	0.02	0.00	43	132	0	0	满足
74	0.1 9	0.19	0.19	0.01	0.02	15	65	0	0	满足

75	0.1 2	0.25	0.23	0.02	0.00	40	123	0	0	满足
76	0.2 2	0.23	0.26	0.01	0.01	19	86	0	0	满足
77	0.1 6	0.16	0.16	0.02	0.01	9	39	0	0	满足
78	0.0 7	0.10	0.12	0.02	0.03	3	14	0	0	满足
79	0.3 7	0.44	0.39	0.03	0.01	19	86	0	0	满足
80	0.7 5	0.75	0.75	0.12	0.17	9	27	0	0	满足
81	0.3 0	0.43	0.37	0.03	0.01	24	74	0	0	满足
82	0.3 4	0.40	0.35	0.03	0.01	19	86	0	0	满足
83	0.1 8	0.18	0.18	0.01	0.01	9	39	0	0	满足
84	0.0 6	0.11	0.10	0.01	0.03	3	14	0	0	满足
85	0.1 4	0.22	0.22	0.02	0.00	42	130	0	0	满足
86	0.1 3	0.20	0.20	0.02	0.00	37	116	0	0	满足
87	0.1 2	0.24	0.24	0.03	0.00	37	116	0	0	满足
88	0.1 6	0.31	0.31	0.03	0.01	40	123	0	0	满足
89	0.1 4	0.26	0.32	0.02	0.00	40	123	0	0	满足
90	0.1 8	0.31	0.40	0.02	0.00	40	123	0	0	满足
91	0.1 1	0.21	0.23	0.01	0.00	32	99	0	0	满足
92	0.1 4	0.26	0.26	0.02	0.00	48	149	0	1/913 33	满足
93	0.1 3	0.23	0.25	0.02	0.00	43	133	0	1/871 48	满足
94	0.1 5	0.25	0.25	0.03	0.00	43	133	0	0	满足

95	0.1 4	0.27	0.27	0.03	0.00	43	133	0	0	满足
96	0.1 5	0.29	0.34	0.02	0.00	43	133	0	0	满足
97	0.1 3	0.27	0.30	0.02	0.00	48	149	0	1/792 49	满足
98	0.1 2	0.22	0.27	0.02	0.00	42	130	0	0	满足
99	0.0 9	0.17	0.19	0.02	0.00	37	116	0	0	满足
100	0.1 3	0.26	0.28	0.03	0.00	37	116	0	0	满足
101	0.1 6	0.32	0.36	0.03	0.00	40	123	0	0	满足
102	0.1 2	0.17	0.17	0.02	0.00	40	123	0	0	满足
103	0.1 7	0.17	0.17	0.02	0.00	40	123	0	1/999 74	满足
104	0.1 1	0.11	0.11	0.01	0.00	32	99	0	0	满足
105	0.1 4	0.20	0.21	0.02	0.01	48	149	0	0	满足
106	0.1 0	0.15	0.16	0.02	0.00	43	133	0	1/613 27	满足
107	0.1 5	0.30	0.33	0.03	0.00	43	133	0	0	满足
108	0.1 3	0.26	0.28	0.03	0.00	43	133	0	0	满足
109	0.1 5	0.17	0.17	0.02	0.00	43	133	0	0	满足
110	0.1 4	0.18	0.18	0.02	0.00	48	149	0	0	满足
111	0.1 0	0.30	0.27	0.04	0.00	15	67	0	1/858 19	满足
112	0.0 7	0.21	0.18	0.03	0.00	13	60	0	1/470 78	满足
113	0.0 6	0.11	0.11	0.02	0.00	13	60	0	1/373 26	满足
114	0.0 6	0.08	0.08	0.02	0.00	14	64	0	1/375 63	满足

115	0.0 9	0.20	0.17	0.03	0.00	14	64	0	1/415 87	满足
116	0.0 7	0.11	0.12	0.02	0.01	14	64	0	1/808 98	满足
117	0.2 9	0.35	0.31	0.05	0.01	12	52	0	0	满足
118	0.1 6	0.31	0.30	0.04	0.01	17	77	0	0	满足
119	0.0 7	0.14	0.14	0.03	0.00	15	69	0	0	满足
120	0.0 7	0.13	0.14	0.02	0.00	15	69	0	1/751 08	满足
121	0.0 5	0.11	0.12	0.02	0.00	15	69	0	1/721 33	满足
122	0.0 5	0.12	0.12	0.02	0.00	15	69	0	0	满足
123	0.1 0	0.30	0.27	0.03	0.00	17	77	0	0	满足
124	0.1 5	0.25	0.29	0.03	0.02	17	77	0	0	满足
125	0.1 1	0.19	0.21	0.02	0.01	15	69	0	0	满足
126	0.0 9	0.23	0.21	0.03	0.00	15	69	0	0	满足
127	0.0 7	0.13	0.14	0.02	0.00	15	69	0	1/709 48	满足
128	0.0 9	0.15	0.17	0.02	0.01	15	69	0	1/881 89	满足
129	0.1 4	0.33	0.32	0.03	0.00	17	77	0	0	满足
130	0.2 3	0.35	0.32	0.04	0.00	12	52	0	0	满足
131	0.1 1	0.20	0.21	0.02	0.01	14	64	0	0	满足
132	0.1 0	0.20	0.20	0.02	0.00	14	64	0	0	满足
133	0.0 9	0.20	0.19	0.03	0.00	14	64	0	0	满足
134	0.0 9	0.22	0.20	0.03	0.00	13	60	0	0	满足

135	0.0 8	0.16	0.17	0.02	0.00	13	60	0	0	满足
136	0.1 3	0.32	0.31	0.03	0.01	15	67	0	0	满足
137	0.3 9	0.40	0.40	0.00	0.00	10	10	1/433 5	0	满足
138	0.1 8	0.18	0.18	0.00	0.00	7	7	1/493 4	0	满足
139	0.0 7	0.07	0.07	0.00	0.00	7	7	1/878 4	0	满足
140	0.0 1	0.01	0.01	0.00	0.00	8	8	0	0	满足
141	0.4 1	0.41	0.41	0.00	0.00	10	10	1/441 0	0	满足
142	0.1 8	0.18	0.18	0.00	0.00	7	7	0	0	满足
143	0.0 6	0.06	0.06	0.00	0.00	7	7	1/743 82	0	满足
144	0.0 3	0.03	0.03	0.00	0.00	8	8	0	0	满足
145	0.4 4	0.59	0.44	0.09	0.00	138	38	0	0	满足
146	0.4 8	0.59	0.48	0.10	0.00	120	33	0	0	满足
147	0.4 4	0.56	0.44	0.09	0.00	138	38	0	0	满足
148	0.4 7	0.56	0.47	0.10	0.00	120	33	0	0	满足
149	0.1 0	0.18	0.19	0.01	0.01	32	99	0	0	满足
150	0.1 2	0.19	0.23	0.02	0.01	40	123	0	0	满足
151	0.1 5	0.27	0.28	0.03	0.01	40	123	1/346 7	0	满足
152	0.1 4	0.21	0.21	0.03	0.00	40	123	1/300 4	0	满足
153	0.1 6	0.28	0.28	0.03	0.01	40	123	1/312 6	0	满足
154	0.1 2	0.19	0.22	0.02	0.01	40	123	1/383 0	0	满足

155	0.1 1	0.20	0.22	0.02	0.01	37	116	0	0	满足
156	0.1 0	0.10	0.10	0.01	0.01	32	99	0	0	满足
157	0.0 9	0.15	0.17	0.01	0.01	40	123	0	0	满足
158	0.1 5	0.28	0.34	0.03	0.01	40	123	1/396 4	0	满足
159	0.1 6	0.28	0.38	0.03	0.00	40	123	1/325 5	0	满足
160	0.1 7	0.31	0.38	0.03	0.01	40	123	1/349 8	0	满足
161	0.1 0	0.18	0.20	0.02	0.01	40	123	1/483 3	0	满足
162	0.1 1	0.11	0.12	0.01	0.01	37	116	0	0	满足
163	0.2 5	0.30	0.28	0.04	0.01	13	60	0	1/252 38	满足
164	0.0 9	0.09	0.10	0.02	0.01	14	64	0	1/115 79	满足
165	0.1 4	0.23	0.21	0.03	0.00	14	64	0	1/887 8	满足
166	0.0 9	0.09	0.09	0.02	0.00	14	64	1/200 01	1/910 4	满足
167	0.1 4	0.23	0.21	0.03	0.00	14	64	0	1/910 4	满足
168	0.0 8	0.08	0.08	0.02	0.01	14	64	0	1/124 95	满足
169	0.2 9	0.32	0.29	0.04	0.02	12	52	0	1/307 54	满足
170	0.1 8	0.30	0.29	0.03	0.01	12	52	0	0	满足
171	0.1 0	0.16	0.18	0.02	0.00	14	64	0	1/552 14	满足
172	0.1 4	0.29	0.28	0.03	0.00	14	64	0	1/247 55	满足
173	0.0 9	0.12	0.14	0.02	0.00	14	64	1/188 75	1/180 64	满足
174	0.1 5	0.30	0.29	0.03	0.00	14	64	0	1/214 22	满足

175	0.1 2	0.19	0.21	0.02	0.00	14	64	0	1/431 54	满足
176	0.1 6	0.30	0.30	0.03	0.01	13	60	0	0	满足
177	0.3 6	0.36	0.36	0.00	0.00	10	10	1/645 4	0	满足
178	0.1 4	0.14	0.14	0.00	0.00	8	8	1/960 4	0	满足
179	0.0 6	0.06	0.06	0.00	0.00	8	8	1/311 05	0	满足
180	0.0 7	0.07	0.07	0.00	0.00	8	8	0	0	满足
181	0.3 5	0.36	0.36	0.00	0.00	10	10	1/679 2	0	满足
182	0.1 3	0.13	0.13	0.00	0.00	8	8	1/101 24	0	满足
183	0.0 5	0.05	0.05	0.00	0.00	8	8	1/325 43	0	满足
184	0.0 6	0.06	0.06	0.00	0.00	8	8	0	0	满足
185	0.2 2	0.22	0.23	0.11	0.00	39	11	0	1/562 69	满足
186	0.3 5	0.35	0.35	0.12	0.00	50	14	1/338 4	0	满足
187	0.2 5	0.25	0.25	0.12	0.00	39	11	0	0	满足
188	0.3 6	0.36	0.36	0.12	0.00	50	14	1/319 1	0	满足
189	0.4 5	0.48	0.45	0.12	0.00	80	22	0	0	满足
190	0.4 7	0.55	0.48	0.11	0.00	94	26	1/120 7	0	满足
191	0.4 4	0.46	0.44	0.12	0.00	80	22	0	1/623 11	满足
192	0.4 7	0.51	0.47	0.11	0.00	94	26	1/124 3	0	满足
193	0.6 1	1.00	1.02	0.24	0.30	3	14	0	0	满足
194	0.6 4	0.64	0.64	0.04	0.12	9	39	0	0	满足

195	0.0 8	0.19	0.16	0.01	0.02	3	14	0	0	满足
196	0.4 7	0.56	0.47	0.04	0.00	19	86	0	0	满足
197	0.2 3	0.23	0.23	0.02	0.01	9	39	0	0	满足
198	0.0 7	0.14	0.12	0.00	0.03	3	14	0	0	满足
199	0.3 8	0.44	0.38	0.03	0.00	19	86	0	0	满足
200	0.2 0	0.20	0.20	0.01	0.01	9	39	0	0	满足
201	0.0 8	0.12	0.12	0.02	0.03	3	14	0	0	满足
202	0.2 4	0.27	0.28	0.02	0.01	19	86	0	0	满足
203	0.1 7	0.17	0.17	0.01	0.01	9	39	0	0	满足
204	0.1 3	0.13	0.13	0.01	0.01	3	14	0	0	满足
205	0.1 3	0.13	0.17	0.01	0.01	19	86	0	0	满足
206	0.0 5	0.10	0.09	0.01	0.01	9	39	0	0	满足
207	0.3 2	0.32	0.32	0.07	0.01	3	14	0	0	满足
208	0.2 7	0.30	0.32	0.02	0.02	19	86	0	0	满足
209	0.1 1	0.32	0.27	0.03	0.01	9	39	0	0	满足
210	0.3 7	0.37	0.37	0.00	0.00	5	5	1/770 0	0	满足
211	0.2 5	0.25	0.25	0.00	0.00	7	7	1/668 4	0	满足
212	0.1 0	0.10	0.10	0.00	0.00	7	7	1/119 83	0	满足
213	0.0 7	0.07	0.07	0.00	0.00	7	7	1/514 34	0	满足
214	0.0 7	0.07	0.07	0.00	0.00	6	6	0	0	满足

215	0.3 5	0.36	0.36	0.00	0.00	5	5	1/849 5	0	满足
216	0.2 3	0.24	0.24	0.00	0.00	7	7	1/751 0	0	满足
217	0.0 9	0.09	0.09	0.00	0.00	7	7	1/139 30	0	满足
218	0.0 6	0.06	0.06	0.00	0.00	7	7	1/664 68	0	满足
219	0.0 6	0.06	0.06	0.00	0.00	6	6	0	0	满足
220	0.0 6	0.12	0.11	0.00	0.02	3	14	0	0	满足
221	0.4 4	0.51	0.47	0.03	0.01	19	86	0	0	满足
222	0.1 7	0.17	0.17	0.01	0.01	9	39	0	0	满足

最严控制表 (强度和整体稳定为(应力/设计强度))

	强度	绕2 轴 整体 稳定	绕3 轴 整体 稳定	绕2 轴 抗剪 应力 比	绕3 轴 抗剪 应力 比	绕2 轴 长细 比	绕3 轴 长细 比	绕2轴 W/1	绕3轴 W/1
所在单元	80	193	193	3	3	16	92	2	2
数值	0.7 5	1.00	1.02	0.25	0.31	155	149	1/361	1/376

“强度应力比”最大的前10个单元的验算结果(所在组合号/情况号)

序号	单元号	强度	绕2 轴 整体 稳定	绕3 轴 整体 稳定	绕2 轴 抗剪 应力 比	绕3 轴 抗剪 应力 比	绕2 轴 长细 比	绕3 轴 长细 比	绕2 轴 W/1	绕3 轴 W/1	结果
1	80	0.75 (5/1)	0.75	0.75	0.12	0.17	9	27	0	0	满足
2	5	0.67 (5/1)	0.67	0.67	0.05	0.13	9	39	0	0	满足
3	3	0.66	0.97	1.00	0.25	0.31	3	14	0	0	满足

		(7/1)									
4	194	0.64 (7/1)	0.64	0.64	0.04	0.12	9	39	0	0	满足
5	193	0.61 (1/1)	1.00	1.02	0.24	0.30	3	14	0	0	满足
6	56	0.51 (1/1)	0.55	0.86	0.02	0.10	19	86	0	0	满足
7	4	0.51 (1/1)	0.54	0.84	0.02	0.10	19	86	0	0	满足
8	19	0.49 (1/1)	0.65	0.50	0.10	0.00	114	31	0	0	满足
9	57	0.49 (1/1)	0.63	0.50	0.12	0.00	120	33	0	0	满足
10	22	0.49 (1/1)	0.64	0.49	0.10	0.00	114	31	0	0	满足

按“强度应力比”统计结果表

范围	单元号	>1.05	1.05~1.00	1.00~0.80	0.80~0.60	0 · 6 0 ~ 0 · 0 0
单元数	0	0	0	5	217	

“绕2轴整体稳定应力比”最大的前10个单元的验算结果（所在组合号/情况号）

序号	单元号	强度	绕2轴 整体 稳定	绕3 轴 整体 稳定	绕2 轴 抗剪 应力 比	绕3 轴 抗剪 应力 比	绕2 轴 长细 比	绕3 轴 长细 比	绕2 轴 W/1	绕3 轴 W/1	结果
1	193	0.6 1	1.00 (1/1)	1.02	0.24	0.30	3	14	0	0	满足
2	3	0.6 6	0.97 (7/1)	1.00	0.25	0.31	3	14	0	0	满足
3	80	0.7 5	0.75 (5/1)	0.75	0.12	0.17	9	27	0	0	满足

4	5	0.6 7	0.67 (5/1)	0.67	0.05	0.13	9	39	0	0	满足
5	58	0.4 8	0.66 (1/1)	0.49	0.11	0.00	138	38	0	0	满足
6	19	0.4 9	0.65 (1/1)	0.50	0.10	0.00	114	31	0	0	满足
7	22	0.4 9	0.64 (1/1)	0.49	0.10	0.00	114	31	0	0	满足
8	194	0.6 4	0.64 (7/1)	0.64	0.04	0.12	9	39	0	0	满足
9	57	0.4 9	0.63 (1/1)	0.50	0.12	0.00	120	33	0	0	满足
10	18	0.4 9	0.61 (1/1)	0.49	0.10	0.00	114	31	0	0	满足

按“绕2轴整体稳定应力比”统计结果表

范围	单元号	>1.05	1.05~1.00	1.00~0.80	0.80~0.60	0 · 6 0 ~ 0 · 0 0
单元数	0	1	1	8	212	

“绕3轴整体稳定应力比”最大的前 10 个单元的验算结果（所在组合号 / 情况号）

序号	单元号	强度	绕2轴整体稳定	绕3轴整体稳定	绕2轴抗剪应力比	绕3轴抗剪应力比	绕2轴长细比	绕3轴长细比	绕2轴 W/1	绕3轴 W/1	结果
1	193	0.6 1	1.00	1.02 (1/1)	0.24	0.30	3	14	0	0	满足
2	3	0.6 6	0.97	1.00 (7/1)	0.25	0.31	3	14	0	0	满足
3	56	0.5 1	0.55	0.86 (1/1)	0.02	0.10	19	86	0	0	满足
4	4	0.5	0.54	0.84	0.02	0.10	19	86	0	0	满足

		1		(1/1)							
5	80	0.7 5	0.75	0.75 (5/1)	0.12	0.17	9	27	0	0	满足
6	5	0.6 7	0.67	0.67 (5/1)	0.05	0.13	9	39	0	0	满足
7	194	0.6 4	0.64	0.64 (7/1)	0.04	0.12	9	39	0	0	满足
8	57	0.4 9	0.63	0.50 (1/1)	0.12	0.00	120	33	0	0	满足
9	19	0.4 9	0.65	0.50 (1/1)	0.10	0.00	114	31	0	0	满足
10	22	0.4 9	0.64	0.49 (1/1)	0.10	0.00	114	31	0	0	满足

按“绕3轴整体稳定应力比”统计结果表

范围	单元号	>1.05	1.05~1.00	1.00~0.80	0.80~0.60	0 · 6 0 ~ 0 · 0 0
单元数	0	1	3	3	215	

“绕2轴长细比”最大的前10个单元的验算结果

序号	单元号	强度	绕2轴整体稳定	绕3轴整体稳定	绕2轴抗剪应力比	绕3轴抗剪应力比	绕2轴长细比	绕3轴长细比	绕2轴W/1	绕3轴W/1	结果
1	16	0.3 7	0.52	0.37	0.07	0.00	155	42	0	0	满足
2	17	0.3 8	0.55	0.38	0.07	0.00	155	42	0	0	满足
3	21	0.3 7	0.51	0.37	0.07	0.00	155	42	0	0	满足
4	20	0.3 6	0.53	0.36	0.07	0.00	155	42	0	0	满足

5	12	0.4 8	0.58	0.48	0.11	0.00	138	38	0	0	满足
6	58	0.4 8	0.66	0.49	0.11	0.00	138	38	0	0	满足
7	145	0.4 4	0.59	0.44	0.09	0.00	138	38	0	0	满足
8	147	0.4 4	0.56	0.44	0.09	0.00	138	38	0	0	满足
9	57	0.4 9	0.63	0.50	0.12	0.00	120	33	0	0	满足
10	55	0.4 8	0.53	0.48	0.12	0.00	120	33	0	0	满足

按“绕2轴长细比”统计结果表

范围	单元号	>180	180~150	150~120	120~80	8 0 ~ 1
单元数	0	4	8	10	200	

“绕3轴长细比”最大的前 10 个单元的验算结果

序号	单元号	强度	绕2轴整体稳定	绕3轴整体稳定	绕2轴抗剪应力比	绕3轴抗剪应力比	绕2轴长细比	绕3轴长细比	绕2轴 W/1	绕3轴 W/1	结果
1	92	0.1 4	0.26	0.26	0.02	0.00	48	149	0	0	满足
2	105	0.1 4	0.20	0.21	0.02	0.01	48	149	0	0	满足
3	110	0.1 4	0.18	0.18	0.02	0.00	48	149	0	0	满足
4	97	0.1 3	0.27	0.30	0.02	0.00	48	149	0	0	满足
5	52	0.1 1	0.19	0.23	0.02	0.00	44	136	0	0	满足
6	53	0.1 1	0.18	0.19	0.02	0.00	44	136	0	0	满足
7	109	0.1 5	0.17	0.17	0.02	0.00	43	133	0	0	满足

8	95	0.1 4	0.27	0.27	0.03	0.00	43	133	0	0	满足
9	96	0.1 5	0.29	0.34	0.02	0.00	43	133	0	0	满足
10	94	0.1 5	0.25	0.25	0.03	0.00	43	133	0	0	满足

按“绕3轴长细比”统计结果表

范围	单元号	>180	180~150	150~120	120~80	8 0 ~ 1
单元数	0	0	37	34	151	

基础部分

1 计算依据的规范和规程

- 1.1 《建筑地基基础设计规范》(GB 50007--2011)
- 1.2 《混凝土结构设计规范》(GB 50010--2011)
- 1.3 《建筑抗震设计规范》(GB 50011--2010)
- 1.4 《建筑结构荷载规范》(GB 50009--2012)

2 几何数据及材料

- 2.1 基础混凝土等级: C30; 抗压强度 $f_c=14.3$ (MPa); 抗拉强度 $f_t=1.43$ (MPa)
- 2.2 钢筋等级: HRB335; 强度设计值 $f_y=300$ (MPa); 纵筋合力点至近边距离 $a_s=50$ (mm)
- 2.3 基础类型: 锥型基础
- 2.4 基础长 $l=8100$ (mm); 基础宽 $b=8100$ (mm); 基础高 $h=3300$ (mm)
- 2.5 柱高 $H_c=450$ (mm); 柱宽 $B_c=450$ (mm);
柱周加大尺寸(相当于杯口厚度) $a_c=50$ (mm); 加大高度 $h_c=2400$ (mm)
- 2.6 基础端部高 $h_1=450$ (mm)
- 2.7 基础底面积 $A=l*b=8100*8100=65.610$ (m²)

$$\text{基础顶部面积 } A_t=(H_c+2*a_c)*(B_c+2*a_c)=(450+2*50)*(450+2*50)=0.302(\text{m}^2)$$

$$\begin{aligned} \text{基础体积 } V_{jc}= & l*b*h_1+[(B_c+2*a_c)*(H_c+2*a_c)+(1-H_c-2*a_c)*(b-B_c-2*a_c)/3 \\ & + (1-H_c-2*a_c)*(B_c+2*a_c)/2+(b-B_c-2*a_c)*(H_c+2*a_c)/2]*(h-h_1-h_c) \\ & + (H_c+2*a_c)*(B_c+2*a_c)*h_c \end{aligned}$$

$$=8100*8100*450+[(450+2*50)*(450+2*50)+(8100-450-2*50)*(8100-450-2*50)/3$$

$$\begin{aligned} & + (8100-450-2*50)*(450+2*50)/2+(8100-450-2*50)*(450+2*50)/2]*(3300-450-2400) \\ & + (450+2*50)*(450+2*50)*2400 \\ & =40.806(\text{m}^3) \end{aligned}$$

2.8 基础自重和上部土重

$$\text{基础混凝土的容重 } \gamma_c=25.00(\text{kN}/\text{m}^3)$$

$$\text{基础顶面以上土的容重 } \gamma_s=18(\text{kN}/\text{m}^3)$$

$$\text{基础及以上土重 } G_k=V_{jc}*\gamma_c+[A*d-V_{jc}-B_c*H_c*(d-h)]*\gamma_s$$

$$=40.806*25.0+[65.610*3.800-40.806-0.450*0.450*(3.800-3.300)]*18$$

$$=4771.541 \text{ (kN)}$$

$$G=1.2*G_k=5725.849 \text{ (kN)}$$

3 地基承载力信息

3.1 已知条件

地基承载力特征值 $f_{ak}=120 \text{ (kPa)}$
 当地震参与荷载组合时地耐力提高系数 $\xi_a=1$
 宽度修正系数 $\eta_b=0$; 深度修正系数 $\eta_d=1$
 土的重度 $\gamma=18 \text{ (kN/m}^3\text{)}$; 土的加权平均重度 $\gamma_m=20 \text{ (kN/m}^3\text{)}$
 基础短边尺寸 $b=8100 \text{ (mm)}$; 基础埋置深度 $d=3800 \text{ (mm)}$; 深度修正起算深度 $d_1=0 \text{ (mm)}$

3.2 承载力设计值

$f_a=f_{ak}+\eta_b*\gamma*(b-3)+\eta_d*\gamma_m*(d-d_1-0.5)$ (GB 50007--2002 式5.2.4, 按北京规范可把 d_1 加大1m)

$$f_a=120+0*18*(8.1-3)+1*20*(3.8-0-0.5)=186.000 \text{ (kPa)}$$

$$f_aE=\xi_a*f_a \text{ (GB 50011--2001 式4.2.3)}$$

$$f_aE=1*186.000=186.000 \text{ (kPa)}$$

3.3 基底允许出现零应力区占基底总面积的百分比: 0%

4 荷载信息

4.1 符号说明:

N 、 N_k ----- 柱底轴向力设计值、标准值 (kN)
 F 、 F_k ----- 作用于基础顶面的竖向力设计值、标准值 (kN)
 Q 、 Q_k ----- 作用于地面的附加地面堆载设计值、标准值 (kN/m²)
 F_x' 、 F_y' 、 F_{kx}' 、 F_{ky}' ----- 作用于基础顶面的附加荷载设计值、标准值 (kN)
 $F_x'=0$; $F_y'=0$; $Q=0$; 地面堆载按活荷载考虑(考虑最不利情况)
 a_x' 、 a_y' ----- 作用于基础顶面的附加荷载偏心 (mm)
 $a_x'=0$; $a_y'=0$
 V_x 、 V_y ----- 作用于基础顶面的剪力设计值 (kN)
 V_{kx} 、 V_{ky} ----- 作用于基础顶面的剪力标准值 (kN)
 M_x' 、 M_y' ---- 作用于基础顶面的弯矩设计值 (kN*m)
 M_{kx}' 、 M_{ky}' ---- 作用于基础顶面的弯矩标准值 (kN*m)
 M_{kx} 、 M_{ky} ----- 作用于基础底面的弯矩标准值 (kN*m)
 γ_z ----- 荷载设计值换算为标准值的折减系数
 $\gamma_z=1.3$

$$F_k=N_k+F_{kx}'+F_{ky}'$$

$$M_{kx}=M_{kx}'-V_{ky}*H-F_{ky}'*a_y'$$

$$M_{ky}=M_{ky}'+V_{kx}*H+F_{kx}'*a_x'$$

$$F_k=F/\gamma_z \quad M_{kx}'=M_x/\gamma_z \quad M_{ky}'=M_y/\gamma_z$$

4.2 直接输入荷载设计值

$$N=1500; M_x=135; M_y=133; V_x=311; V_y=155$$

$$F_k=(N+F_x'+F_y')/\gamma_z=(1500+0+0)/1.3=1153.846 \text{ (kN)}$$

$$M_{kx}=(M_x'-V_y*H-F_y'*a_y')/\gamma_z=(135-155*3.3-0*0)/1.3=-289.615 \text{ (kN*m)}$$

$$M_{ky}=(M_y'+V_x*H+F_x'*a_x')/\gamma_z=(133+311*3.3+0*0)/1.3=891.769 \text{ (kN*m)}$$

5 轴心荷载作用下验算

$$p_k=(F_k+G_k+Q_k)/A \text{ (GB 50007--2002 式5.2.2-1)}$$

$$p_k=(1153.846+4771.541+0.000)/65.610=90.312 \text{ (kPa)} \leq 186.000 \text{ 满足要求}$$

6 偏心荷载作用下验算

单向偏心荷载作用下公式

$$pk_{max} = (F_k + G_k + Q_k) / A + M_k / W \quad (\text{GB 50007--2002 式5.2.2-2})$$

$$pk_{min} = (F_k + G_k + Q_k) / A - M_k / W \quad (\text{GB 50007--2002 式5.2.2-3})$$

当基底出现拉力区时, $Pk_{max} = 2 * (F_k + G_k) / l / a / 3$ (GB 50007--2002 式5.2.2-4)

双向偏心荷载作用下公式

$$pk_{max} = (F_k + G_k + Q_k) / A + M_{kx} / W_x + M_{ky} / W_y$$

$$pk_{min} = (F_k + G_k + Q_k) / A - M_{kx} / W_x - M_{ky} / W_y$$

当基底出现拉力区时, Pk_{max} 按与 $F_k + G_k + Q_k$ 等值原则进行修正

基础底面抵抗矩 $W_x = l * b * b / 6 = 8100 * 8100 * 8100 / 6 = 88.573 \text{ (m}^3\text{)}$

$$W_y = b * l * l / 6 = 8100 * 8100 * 8100 / 6 = 88.573 \text{ (m}^3\text{)}$$

$$pk_{max} = (1153.846 + 4771.541 + 0.000) / 65.610 + 289.615 / 88.573 + 891.769 / 88.573 \\ = 100.380 \text{ (kPa)} \leq 1.2 * 186.000 = 223.200 \text{ (kPa)} \quad \text{满足要求}$$

$$pk_{min} = (F_k + G_k + Q_k) / A - M_{kx} / W_x - M_{ky} / W_y$$

$$pk_{min} = (1153.846 + 4771.541 + 0.000) / 65.610 - 289.615 / 88.573 - 891.769 / 88.573 \\ = 76.974 \text{ (kPa)}$$

出现拉应力区面积占基底面积百分比 = 0.000% \leq 0.000% 满足要求

偏心矩 $e_x = M_{ky} / (F_k + G_k) = 891.769 / (1153.846 + 4771.541 + 0.150) = 0.000 \text{ (m)}$

$$e_y = M_{kx} / (F_k + G_k) = -289.615 / (1153.846 + 4771.541) = -0.049 \text{ (m)}$$

7 基础冲切验算

$$F_l \gamma RE \leq 0.7 * \beta_{hp} * f_t * a_m * h_0 \quad (\text{GB 50007--2002 式8.2.7-1})$$

γRE --承载力抗震调整系数, 当有地震参与时取0.85, 其它取1.0

$$h_0 = h - a_s$$

$$a_m = (a_x + a_y) / 2 \quad (\text{GB 50007--2002 式8.2.7-2})$$

$$a_{bx} = \text{Min}(l, a_x + 2 * h_0)$$

$$a_{by} = \text{Min}(b, a_y + 2 * h_0)$$

$$F_l = p_j * A_l \quad (\text{GB 50007--2002 式 8.2.7-3})$$

$$A_{lx} = (b - a_{by}) * l / 2.0 - (l - a_{bx}) * (l - a_{bx}) / 4.0$$

$$A_{ly} = (l - a_{bx}) * b / 2.0 - (b - a_{by}) * (b - a_{by}) / 4.0$$

$$p_j = \gamma * z * (Pk_{max} - G_k / A)$$

7.1 柱底边冲切面验算

$$\beta_{hp} = 0.90; \quad h_0 = 3.25 \text{ (mm)}$$

$$a_{tx} = H_c = 0.45 \text{ (m)}; \quad a_{bx} = 6.95 \text{ (m)}; \quad a_{mx} = 3.7 \text{ (m)}$$

$$a_{ty} = B_c = 0.45 \text{ (m)}; \quad a_{by} = 6.95 \text{ (m)}; \quad a_{my} = 3.7 \text{ (m)}$$

$$A_{lx} = 4.32687 \text{ (m}^2\text{)}; \quad A_{ly} = 4.32687 \text{ (m}^2\text{)}$$

$$p_j = 1.3 * (100.38 - 4771.541 / 65.610) = 35.951 \text{ (kPa)}$$

$$F_{lx} \gamma RE = 35.951 * 4.327 * 0.85 = 132.222 \text{ (kN)} \leq 10833.323 \text{ (kN)} \quad \text{满足要求}$$

$$F_{ly} \gamma RE = 35.951 * 4.327 * 0.85 = 132.222 \text{ (kN)} \leq 10833.323 \text{ (kN)} \quad \text{满足要求}$$

7.2 柱周加大底边(基础顶)冲切面验算

$$\beta_{hp} = 0.99; \quad h_0 = 0.85 \text{ (mm)}$$

$$a_{tx} = H_c = 0.55 \text{ (m)}; \quad a_{bx} = 2.25 \text{ (m)}; \quad a_{mx} = 1.4 \text{ (m)}$$

$$a_{ty} = B_c = 0.55 \text{ (m)}; \quad a_{by} = 2.25 \text{ (m)}; \quad a_{my} = 1.4 \text{ (m)}$$

$$A_{lx} = 15.1369 \text{ (m}^2\text{)}; \quad A_{ly} = 15.1369 \text{ (m}^2\text{)}$$

$$p_j = 1.3 * 100.38 - 4771.541 / 65.610 = 35.951 \text{ (kPa)}$$

$$F_{lx} \gamma RE = 35.951 * 15.137 * 0.85 = 462.557 \text{ (kN)} \leq 1181.263 \text{ (kN)} \quad \text{满足要求}$$

$$F_{ly} \gamma_{RE} = 35.951 \times 15.137 \times 0.85 = 462.557 \text{ (kN)} \leq 1181.263 \text{ (kN)} \text{ 满足要求}$$

8 柱下局部受压承载力验算

$$F_1 \leq \omega \cdot \beta_1 \cdot f_{cc} \cdot A_1 \quad (\text{GB 50010--2002 式A.5.1-1})$$

$$F_1 = 1500 \text{ (kN)}$$

$$f_{cc} = 0.85 \cdot f_c$$

$$\text{混凝土局部受压面积 } A_1 = B_c \cdot H_c = 0.45 \times 0.45 = 0.202 \text{ (m}^2\text{)}$$

$$\text{局部受压时的计算底面积 } A_b = (H_c + 2 \cdot c) \cdot (B_c + 2 \cdot c) = 0.3025 \text{ (m}^2\text{)}$$

$$\beta_1 = \sqrt{A_b / A_1} = \sqrt{0.3025 / 0.202} = 1.222$$

$$\omega \cdot \beta_1 \cdot f_{cc} \cdot A_1 = 1.0 \cdot 1.222 \cdot 0.85 \cdot 14.300 \cdot 0.202 = 3008.363 \text{ (kN)}$$

$$\geq F_1 = 1500.000 \text{ (kN)} \text{ 满足要求}$$

9 抗弯计算

$$M_I = a_1^2 \cdot [(2 \cdot l + a') \cdot (p_{\max} + p - 2 \cdot G/A) + (p_{\max} - p) \cdot 1] / 12 \cdot \gamma_{RE} \quad (\text{GB 50007--2002 式8.2.7-4})$$

$$= a_1^2 \cdot [(2 \cdot l + a') \cdot (P_{j\max} + p_j) + (P_{j\max} - p_j) \cdot 1] / 12 \cdot \gamma_{RE}$$

$$M_{II} = (1 - a')^2 \cdot (2 \cdot b + b') \cdot (p_{\max} + p_{\min} - 2 \cdot G/A) / 48 \cdot \gamma_{RE} \quad (\text{GB 50007--2002 式8.2.7-5})$$

$$= (1 - a')^2 \cdot (2 \cdot b + b') \cdot (P_{j\max} + P_{j\min}) / 48 \cdot \gamma_{RE}$$

γ_{RE} —承载力抗震调整系数, 当有地震参与时取0.75, 其它取1.0

9.1 柱边弯矩计算

9.1.1 绕Y轴方向弯矩计算:

$$l = 8.100 \text{ (m)}; a' = 0.450 \text{ (m)}; a_1 = 3.825 \text{ (m)}$$

$$P_{j\max} = 40.202 \text{ (kPa)}; P_{j\min} = 0.247 \text{ (kPa)}$$

$$p_j = P_{j\max} - (P_{j\max} - P_{j\min}) \cdot a_1 / l = 29.658 \text{ (kPa)}$$

$$M_I = a_1^2 \cdot [(2 \cdot l + a') \cdot (P_{j\max} + p_j) + (P_{j\max} - p_j) \cdot 1] / 12 \cdot \gamma_{RE}$$

$$= 3.825^2 \cdot [(2 \cdot 8.100 + 0.450) \cdot (40.202 + 29.658) + (40.202 - 29.658) \cdot 8.100] / 12 \cdot 0.75$$

$$= 1141.708 \text{ (kN} \cdot \text{m)}$$

截面面积 $A = 6.911 \text{ (m}^2\text{)}$, 受压区高度 $x = 0.045 \text{ (m)}$

$A_s = 1161.098 \text{ (mm}^2\text{)}$; 配筋率 $\rho = 0.02\%$

9.1.2 绕X轴方向弯矩计算:

$$l = 8.100 \text{ (m)}; a' = 0.450 \text{ (m)}; a_1 = 3.825 \text{ (m)}$$

$$P_{j\max} = 40.202 \text{ (kPa)}; P_{j\min} = 0.247 \text{ (kPa)}$$

$$p_j = P_{j\max} - (P_{j\max} - P_{j\min}) \cdot a_1 / l = 29.658 \text{ (kPa)}$$

$$M_I = a_1^2 \cdot [(2 \cdot l + a') \cdot (P_{j\max} + p_j) + (P_{j\max} - p_j) \cdot 1] / 12 \cdot \gamma_{RE}$$

$$= 3.825^2 \cdot [(2 \cdot 8.100 + 0.450) \cdot (40.202 + 29.658) + (40.202 - 29.658) \cdot 8.100] / 12 \cdot 0.75$$

$$= 1141.708 \text{ (kN} \cdot \text{m)}$$

截面面积 $A = 6.911 \text{ (m}^2\text{)}$, 受压区高度 $x = 0.045 \text{ (m)}$

$A_s = 1161.098 \text{ (mm}^2\text{)}$; 配筋率 $\rho = 0.02\%$

9.2 柱周加大底边(基础顶)弯矩计算

9.2.1 绕Y轴方向弯矩计算:

$$l = 8.100 \text{ (m)}; a' = 0.550 \text{ (m)}; a_1 = 3.775 \text{ (m)}$$

$$P_{j\max} = 40.202 \text{ (kPa)}; P_{j\min} = 0.247 \text{ (kPa)}$$

$$p_j = P_{j\max} - (P_{j\max} - P_{j\min}) \cdot a_1 / l = 29.535 \text{ (kPa)}$$

$$M_I = a_1^2 \cdot [(2 \cdot l + a') \cdot (P_{j\max} + p_j) + (P_{j\max} - p_j) \cdot 1] / 12 \cdot \gamma_{RE}$$

$$=3.775^2 \cdot [(2 \cdot 8.100 + 0.550) \cdot (40.202 + 29.535) + (40.202 - 29.535) \cdot 8.100] / 12 \cdot 0.75$$
$$=1117.326 \text{ (kN}\cdot\text{m)}$$

截面面积 $A=5.591 \text{ (m}^2\text{)}$, 受压区高度 $x=0.077 \text{ (m)}$

$A_s=4357.968 \text{ (mm}^2\text{)}$; 配筋率 $\rho=0.08\%$

控制最小配筋率 $\rho_{\min}=0.15\%$; $A_s=8386.875 \text{ (mm}^2\text{)}$

9.2.2 绕X轴方向弯矩计算:

$l=8.100 \text{ (m)}$; $a'=0.550 \text{ (m)}$; $a_1=3.775 \text{ (m)}$

$P_{j\max}=40.202 \text{ (kPa)}$; $P_{j\min}=0.247 \text{ (kPa)}$

$P_j=P_{j\max} - (P_{j\max} - P_{j\min}) \cdot a_1 / l = 29.535 \text{ (kPa)}$

$M_I = a_1^2 \cdot [(2 \cdot l + a') \cdot (P_{j\max} + p_j) + (P_{j\max} - p_j) \cdot l] / 12 \cdot \gamma_{RE}$

$$=3.775^2 \cdot [(2 \cdot 8.100 + 0.550) \cdot (40.202 + 29.535) + (40.202 - 29.535) \cdot 8.100] / 12 \cdot 0.75$$
$$=1117.326 \text{ (kN}\cdot\text{m)}$$

截面面积 $A=5.591 \text{ (m}^2\text{)}$, 受压区高度 $x=0.077 \text{ (m)}$

$A_s=4357.968 \text{ (mm}^2\text{)}$; 配筋率 $\rho=0.08\%$

控制最小配筋率 $\rho_{\min}=0.15\%$; $A_s=8386.875 \text{ (mm}^2\text{)}$, $A_x=3.94234e-281$

9.3 配筋结果:

沿X向钢筋 $A_s=8386.875 \text{ (mm}^2\text{)}$; 实配 $\Phi 16@150 \text{ (} A_s=9273.982 \text{)}$

沿Y向钢筋 $A_s=8386.875 \text{ (mm}^2\text{)}$; 实配 $\Phi 16@150 \text{ (} A_s=9273.982 \text{)}$

=====TAsd 结构设计软件基础 JC-1 计算书 结束
=====